



بی جویی به روش اکتشاف ژئوشیمیایی ۱:۲۵۰۰ در محدوده اکتشافی کلیر ۲



فصل اول

کلیات



۱-۱- مقدمه

در اجرای قرارداد شماره ۱۲۳۹-۱۳۸۶/۴/۱۲ مورخ ۳۰۰ بین سازمان زمین‌شناسی و اکتشافات

معدنی کشور و شرکت مهندسین مشاور پیچاب کانسار ، مبنی بر انجام مطالعات ژئوشیمیایی در محدوده کلیبر ۲ به گسترش ۱۵۰ کیلومتر مربع ، کارشناسان شرکت مشاور پس از جمع آوری داده‌های اولیه و پردازش داده‌های زمین‌شناسی ، معدنی ، ژئوفیزیک هوایی ، طراحی شبکه نمونه‌برداری و برداشت ۴۷۱ نمونه ژئوشیمیایی آبراهه‌ای و ۱۴۰ نمونه کانی‌سنگین انجام و طی مدت ۱۵ روز عملیات صحرایی نمونه‌گیری در محدوده مذکور را انجام و پس از آماده‌سازی و کدگذاری به آزمایشگاه‌های مربوطه ارسال گردید . پس از کسب نتایج آنالیز نمونه‌ها و مطالعات کانی‌سنگین و مشخص شدن مناطق ناهنجاری ، عملیات صحرایی کنترل ناهنجاری‌ها و رخنمونه‌های سنگی اطراف حوضه آبریز آن‌ها ، تعداد ۳۰ نمونه سنگی از زون‌های دگرسانی و سیلیسی برای آنالیز شیمیایی و تعداد ۳۷ نمونه برای مطالعات کانی‌سنگین برداشت گردید . گزارش حاضر نتایج بررسی‌های انجام شده در دو مرحله برداشت ژئوشیمیایی و کانی سنگین و کنترل ناهنجاری‌های شناسایی شده است ، که به شرح زیر ارائه می‌شود :

۲-۱- موقعیت جغرافیایی

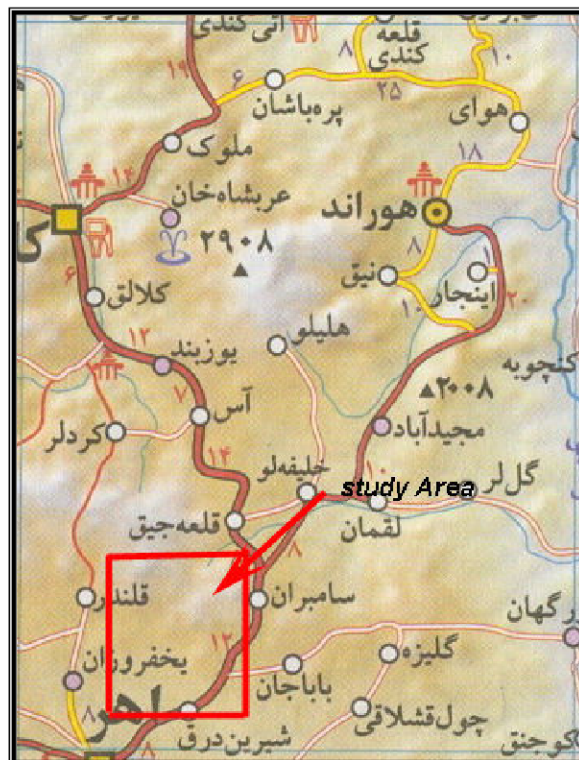
منطقه مورد مطالعه در محدوده‌ای بین طول‌های جغرافیائی "۱۵° ۴۰' ۱۲' ۴۷" و "۱۵° ۴۷' ۰۷' ۰۷" و عرض‌های جغرافیائی "۳۱° ۰۰' ۳۸° ۳۹' و "۳۸° ۳۱' ۲۵' ۲۵" قرار گرفته است. این محدوده ، در حدود ۵ کیلومتری شمال شهرستان اهر و ۳۵ کیلومتری جنوب شهر کلیبر در استان آذربایجان شرقی قرار دارد.

۳-۱- راههای دسترسی

شبکه راههای ارتباطی متراکمی در منطقه احداث شده است که نزدیکترین آن به منطقه مورد مطالعه

راه آسفالتی اهر - کلیر می باشد، همچنین جاده های خاکی متعددی در منطقه ایجاد شده است که مناطق کوهستانی و آبادیها را به یکدیگر و مناطق شهری مرتبط می کند و بیشتر از مناطق کوهستانی عبور می کند.

دسترسی به منطقه مورد مطالعه از طریق جاده آسفالتی اهر - کلیر (به طول ۵ کیلومتر) و جاده های شوسه کوه قزل قیه (به طول ۵ کیلومتر) و همچنین پسته بیگلو- زکلیک پایین- زکلیک بالا- چوپانلار (به طول ۱۵ کیلومتر) می باشد (شکل ۱-۱).



شکل ۱-۱- موقعیت و راههای دسترسی به محدوده مورد مطالعه



۱-۴-آب و هوا، پوشش گیاهی و جغرافیای انسانی

محدوده مورد مطالعه ناحیه‌ای کوهستانی بوده و از کوههای بلند تشکیل شده است. بلندترین ارتفاع

محدوده از سطح دریا در حدود ۲۶۰۰ متر و کمترین ارتفاع محدوده از سطح دریا در حدود ۱۵۰۰ متر

می‌باشد.

منطقه دارای شرایط آب و هوای سرد و نیمه خشک است، زمستان‌های منطقه سرد و طولانی و

تابستان آن معتدل است و پوشش گیاهی منطقه با تراکم کم تا متوسط و بیشتر شامل علفزار می‌باشد.

کمبود زمین زراعی به واسطه کوهستانی بودن منطقه، فعالیتهای کشاورزی و زراعی را محدود کرده

و اهالی این منطقه بیشتر به دامداری و تولید عسل و قالی‌بافی اشتغال دارند.

۱-۵-جمع‌آوری اطلاعات موجود قبلی

جهت حصول نتایج مناسب و بهره‌وری کامل از اطلاعات و اطمینان بخشی این نتایج در منطقه

مورد مطالعه، لازم است اطلاعات زمین‌شناسی و اکتشافی موجود جمع‌آوری شود. در هر حال، فعالیتهای

انجام شده در منطقه شامل موارد زیر است:

- نقشه توپوگرافی با مقیاس ۱:۵۰۰۰۰ آرپزان (سازمان جغرافیایی ارتش، ۱۳۷۵)
- نقشه‌های توپوگرافی با مقیاس ۱:۲۵۰۰۰، سامبران، انباستلیق، یوزبند، قلندر (سازمان نقشه‌برداری، ۱۳۷۵)
- نقشه زمین‌شناسی با مقیاس ۱:۱۰۰۰۰ کلیر (سازمان زمین‌شناسی کشور)
- نقشه زمین‌شناسی با مقیاس ۱:۲۵۰۰۰ اهر (سازمان زمین‌شناسی کشور)



- گزارش نمونه‌برداری سیستماتیک از نفلین سینیت بزگوش جهت مطالعه کاربرد آن در صنایع تولید

آلومینا و مطالعه مقدماتی توده‌های نفوذی زرگاه و کلیبر جهت صنایع شیشه و سرامیک (سازمان زمین‌شناسی کشور)

- گزارش اکتشافات مقدماتی طلا در محدوده نبی‌جان، جنوب باختری کلیبر، پروژه اکتشاف طلا زون ارسباران (سازمان زمین‌شناسی کشور، ۱۳۸۲)

- پروژه اکتشافات طلا و مس، مولیدن در ورقه‌های ۱:۱۰۰۰۰ اهر، کلیبر، ورزقان، لاهروند، سیه‌رود (سازمان زمین‌شناسی کشور، ۱۳۸۲)

- اکتشافات عناصر HFSE, LILE, REE, PGE در محدوده جغرافیایی شهرستان اهر (سازمان صنایع و معادن استان آذربایجان شرقی، ۱۳۸۲)

- گزارش اکتشافات ژئوشیمیایی و کانی سنگین در ورقه ۱:۱۰۰۰۰ کلیبر (سازمان زمین‌شناسی کشور، ۱۳۸۲)

با بررسی بر روی نمونه‌های ژئوشیمیایی و کانی سنگین موجود در منطقه مورد مطالعه گزارش ژئوشیمیایی ورقه ۱:۱۰۰۰۰ کلیبر) نتایج زیر بدست آمده است:

الف: عناصر W, Bi, Sb, Mo, Ag, Cu در نمونه‌های اطراف روستای آغدرق دارای ناهنجاری درجه یک و عناصر Be, Pb, Au دارای ناهنجاری درجه دوم می‌باشند. همچنین کانیهای طلا، مالاکیت، آپاتیت، شیلیت در نمونه‌های کانی سنگین آن به عنوان ناهنجاری معرفی شده‌اند.



ب: عناصر W,Se,Sb,Cu,Bi,Ag,Au در نمونه‌های اطراف روستای ونه‌آباد دارای

ناهنجری درجه یک میباشند در ضمن تعدادی از نمونه‌های کانی سنگین نیز برای کانیهای طلا،

سینابر، پیریت، زیرکن، آپاتیت ناهنجاری نشان می‌دهند.

ناهنجری‌های ژئوشیمیایی طلا

| ناهنجری‌های ژئوشیمیایی طلا | سنگهای بالادست | نمونه‌های ناهنجار بهمراه عیار عنصر (ppm) | موقعیت جغرافیایی |
|--|---|--|-------------------------------|
| انطباق آنومالی با ناهنجاریهای ژئوشیمیایی و کانی سنگین -W,Se,Sb,Cu,Bi,Ag وانطباق با ناهنجاری کانیهای طلا، سینابر، پیریت، زیرکن، آپاتیت - واقع شدن بر روی گسل تاکی داغ | O ^g , O ^{mg} , K _u ¹¹ E ^{ig} , E ^{an} , E ^{d2} | K-92(0.025), K-67(0.017) K-26(0.013), K-98(0.013) K-94(0.012), K-95(0.012) K-66(0.009), K-93(0.009) K-100(0.011) | جنوب برگه ارپزان(ونه آباد) |

ناهنجری‌های ژئوشیمیایی مس

| ناهنجری‌های ژئوشیمیایی مس | سنگهای بالادست | نمونه‌های ناهنجار بهمراه عیار عنصر (ppm) | موقعیت جغرافیایی |
|---|---|---|-----------------------------|
| انطباق آنومالی با ناهنجاریهای ژئوشیمیایی و کانی سنگین W,Bi,Sb,Cu,Ag و ناهنجاری درجه دوم عناصر Pb,Be,Au - وجود التراسیون آرژیلیتی لیمونیتی - عبور گسل شمالی جنوبی تاکی داغ از این محدوده - انطباق با ناهنجاری کانی های طلا، مالاکیت، پیریت، آپاتیت، شنلیت | O ^g , K _u ¹¹ , K _u ^t | K-98(1180), K-108(159) K-107(182), K-106(113) K-96(106) | مرکز برگه ارپزان(آغ درق) |

ناهنجری‌های ژئوشیمیایی آنتیموان

| ناهنجری‌های ژئوشیمیایی آنتیموان | سنگهای بالادست | نمونه‌های ناهنجار بهمراه عیار عنصر (ppm) | موقعیت جغرافیایی |
|--|----------------------------------|--|-----------------------|
| انطباق آنومالی با ناهنجاریهای ژئوشیمیایی و کانی سنگین Bi,Mo,Ag,Cu و ناهنجاری درجه دوم عناصر Pb,Be,Au - عبور گسل تاکی داغ از محدوده ناهنجاری | E ^{p1} , O ^g | K-98(15.0), K-88(4.5) K-78(3.9) | حوالی روستای چوبانلار |



ناهنجری‌های ژئوشیمیایی مولیدن

| انطباق آنومالی با ناهنجاری‌های ژئوشیمیایی و کانی سنگین | سنگهای بالادست | نمونه‌های ناهنجار بهمراه عیار عنصر (ppm) | موقعیت جغرافیایی |
|---|---------------------------------|---|-----------------------|
| انطباق با ناهنجاری درجه یک عناصر Bi,Sb,Ag,Cu و ناهنجاری درجه دوم عناصر W,Pb,Au - عبور گسل تکلی داغ از محدوده ناهنجاری | E ^{pl} ,O ^g | K-98(21.6),K-97(8.1) K-90(3.7),K-89(3.7) | حوالی روستای چوبانلار |

ناهنجری‌های ژئوشیمیایی قلع

| انطباق آنومالی با ناهنجاری‌های ژئوشیمیایی و کانی سنگین | سنگهای بالادست | نمونه‌های ناهنجار بهمراه عیار عنصر (ppm) | موقعیت جغرافیایی |
|--|---|---|----------------------------|
| انطباق با ناهنجاری درجه دوم عناصر Se,Be,Bi,W,Pb,Au و ناهنجاری کانیهای طلا، گالن، سینابر، پیریت، آپاتیت، شلیت و زیرکن | O ^g ,K _u ¹¹ ,E ^{d2} E ^{ig} ,E ^{tig} ,O ^{mg} | K-91(6.7),K-69(4.6) K-68(4.3),K-72(3.3) K-61(3.1),K-94(4.1) K-70(2.8),K-92(3.6) K-62(2.8),K-73(3.2) | جنوب برگه اریزان(ونه آباد) |

ناهنجری‌های ژئوشیمیایی بیسموت

| انطباق آنومالی با ناهنجاری‌های ژئوشیمیایی و کانی سنگین | سنگهای بالادست | نمونه‌های ناهنجار بهمراه عیار عنصر (ppm) | موقعیت جغرافیایی |
|---|---|--|--------------------------|
| انطباق با ناهنجاری درجه یک عناصر Sb,Mo,Ag,Cu و ناهنجاری درجه دوم عناصر Be,Pb,Au و انطباق با ناهنجاری کانیهای طلا، پیریت، آپاتیت، زیرکن و شلیت | E ^{pl} ,O ^g , O ^{mg} ,K _u ¹¹ , E ^{an} E ^{b2} | K-98(2.7),K-67(2.2) K-95(1.9),K-94(1.9) K-91(1.2),K-38(1.5) K-88(1.2) | مرکز برگه اریزان(آغ درق) |

ناهنجری‌های ژئوشیمیایی جیوه

| انطباق آنومالی با ناهنجاری‌های ژئوشیمیایی و کانی سنگین، آنومالیهای ژئومغناطیسی و ساختارهای زمین‌شناسی | سنگهای بالادست | نمونه‌های ناهنجار بهمراه عیار عنصر (ppm) | موقعیت جغرافیایی |
|---|---|--|--------------------------|
| انطباق با ناهنجاری درجه دوم عناصر Cu,Sn,W,Bi و ناهنجاری درجه سوم عناصر Mo,Au و ناهنجاری کانیهای ملاکیت، پیریت، آپاتیت، زیرکن، شلیت، - عبور گسل اریزان از محدوده آنومالی | K _u ^{v1} ,K _u ^t ,O ^g | K-110(0.35) K-108(0.16) K-58(0.25) | مرکز برگه اریزان(آغ درق) |



ناهنجاری‌های ژئوشیمیایی تنگستن

| موقعیت جغرافیایی | نمونه های ناهنجار بهمراه عیار (ppm) عنصر | سنگهای بالادست | انطباق آنومالی با ناهنجاری‌های ژئوشیمیایی و کانی سنگین، آنومالی‌های ژئومغناطیسی و ساختارهای زمین شناسی |
|----------------------------|--|--|--|
| مرکز برگه ارپزان(آغ درق) | K-107(106), K-100(19.9) K-108(19.2), K-38(20.6) K-97(14.5), K-110(18.8) K-99(18.7), K-106(18) K-98(17.8), K-18(22.1) K-22(16) | O ^{mg} , O ^g K _u ¹¹ , K _u ^t | انطباق با ناهنجاری درجه یک عناصر Bi, Sb, Mo, Ag, Cu و ناهنجاری درجه دوم عناصر Be, Pb, Au انطباق با آنومالی کانی‌های طلا، مالاکیت، پیریت، آپاتیت، زیرکن و شنلیت |
| جنوب برگه ارپزان(ونه آباد) | K-29(31.7) | K _u ¹¹ , E ^{d2} , E ^{ig} | انطباق با ناهنجاری درجه دوم عناصر Se, Bi, As, Mo, Au و ناهنجاری کانی‌های طلا، مس طبیعی، سینابر، زیرکن و شنلیت - عبور گسل ارپزان از محدوده آنومالی |

ناهنجاری‌های کانی سنگین طلا

| ردیف | موقعیت جغرافیایی | شماره نمونه | رخنمونهای سنگی بالا دست | کانی‌های همراه |
|------|----------------------------|-------------|--|---------------------------------------|
| ۱ | جنوب برگه ارپزان(ونه آباد) | K-29 | E ^{d2} , E ^{ig} , E ^{tig} , O ^{mg} | لیمونیت، پیریت اکسید، سینابر، باریت |
| ۲ | مرکز برگه ارپزان(آغ درق) | K-61 | E ^{an} , E ^{ig} , E ^{d2} , K _u ¹¹ | لیمونیت - زیرکن - باریت - پیریت اکسید |
| ۳ | مرکز برگه ارپزان(آغ درق) | K-95 | O ^{mg} , O ^g , E ^{d2} , K _u ¹¹ | لیمونیت - پیریت - زیرکن - اپیدوت |
| ۴ | جنوب برگه ارپزان(ونه آباد) | K-31 | E ^{ig} , E ^{an} , K _u ^{m1} , O ^g | لیمونیت - پیریت اکسید |

ناهنجاری‌های کانی سنگین مس

| ردیف | موقعیت جغرافیایی | شماره نمونه | رخنمونهای سنگی بالا دست | کانی‌های همراه |
|------|--------------------------|-------------|---|------------------------------|
| ۱ | مرکز برگه ارپزان(آغ درق) | K-106 | K _u ¹¹ , O ^g , K _u ^t | پیریت اکسید - آپاتیت - گارنت |

ناهنجاری‌های کانی سنگین سینابر

| ردیف | موقعیت جغرافیایی | شماره نمونه | رخنمونهای سنگی بالا دست | کانی‌های همراه |
|------|----------------------------|-------------|--|--|
| ۱ | جنوب برگه ارپزان(ونه آباد) | K-29 | E ^{d2} , E ^{ig} , E ^{an} , E ^{tig} | طلا، لیمونیت، پیریت اکسید، زیرکن، باریت، شنلیت |



۶-۱- زمین‌شناسی عمومی

منطقه مورد مطالعه جزئی از ورقه ۱:۱۰۰۰۰۰ کلیر میباشد که از نظر ساختاری در زون

البرز - آذربایجان قرار داشته و به دو بخش تقسیم میشود:

الف: حوضه رسویی مغان که در شمال این ورقه قرار دارد و شامل نهشته‌های تیپ فلیش پالئوسن- ائوسن ،

الیگوسن و میوسن بوده و فاقد فعالیت ماگمایی چشمگیر میباشد. این حوضه رسویی از اوایل ترسییر تشکیل

و رسویگذاری همراه با فرونژینی کف حوضه در آن تا زمان میوسن ادامه داشته است.

الف: بخش فرایش یافته(Uplifted) فلات مانند حوضه کلیر- اهر که در جنوب این ورقه قرار دارد

و شامل نهشته‌های ضخیمی از سنگ‌های رسویی - آتشفسانی کرتاسه بالایی و سنگ‌های دگرگونی قدیمی‌تر

و سنگ‌های آتشفسانی و آذر آواری پالئوسن و ائوسن میباشد که مجموعه دگرگونه قدیمی و پوشش رسویی

- آتشفسانی کرتاسه روی آن را کمپلکس قره‌داغ و مجموعه آتشفسانی و آواری - آتشفسانی ترسییر را زون

ارسباران نامیده‌اند. محدوده مورد نظر در زون ارسباران قرار گرفته که این زون شامل ترادف ضخیمی از

سنگ‌های آتشفسانی و آواری - آتشفسانی ائوسن است که توسط توده‌های نفوذی گرانیتوئیدی الیگوسن

تحت تأثیر قرار گرفته و دگرسانی گرمابی گستردگی را متحمل شده‌اند.



۷-۱- زمین‌شناسی منطقه مورد مطالعه کلیبر

این منطقه جزئی از بخش فراشی یافته (Uplifted) فلات مانند حوضه کلیبر- اهر(زون

ارسباران) است که در ورقه ۱:۱۰۰۰۰ کلیبر قرار دارد و از لحاظ لیتو‌لوژیکی شامل واحدهای

زیر میباشد (شکل ۲-۱) :

۷-۱-۱- واحد سنگ آهک نازک لایه (K_u^{ll})

شامل ترادفی از سنگ آهک نازک لایه خاکستری رنگ است که پایین‌ترین بخش واحدهای کرتاسه

در منطقه را تشکیل می‌دهد و بطور همسیب در زیر واحد K^t قرار می‌گیرد . این واحد در حاشیه شمالی و

جنوبی توده گرانیتی شیورdag در تماس با توده بوده و در اثر نفوذ توده نفوذی مذکور اسکارنی شده و بعضاً

دارای کانی‌سازی مس می‌باشد .

۷-۱-۲- توف برشی و میان لایه‌های توفی (K_u^t)

این واحد شامل ترادف ضخیمی از توف و توف برش سبز خاکستری با ترکیب آندزیتی است که

بطرف شمال توسط واحد مارنی و شیلی K_u^{ml} بطور همسیب پوشیده شده است.

۷-۱-۳- شیل‌های سیلیتی، مارن‌های آهکی (K_u^{ml})

این واحد شامل ترادفی از شیل‌های سیلیتی و ماسه‌ای و مارل و سنگ آهک مارنی نازک

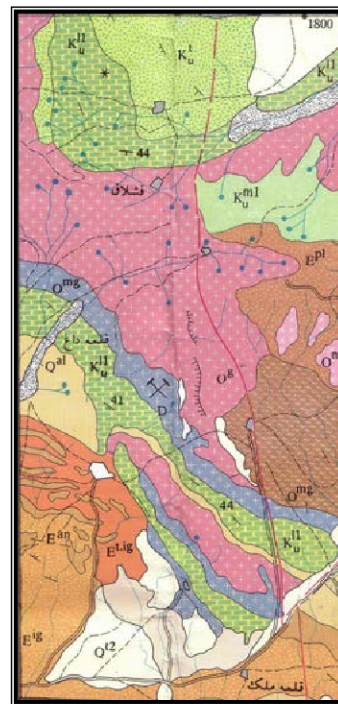
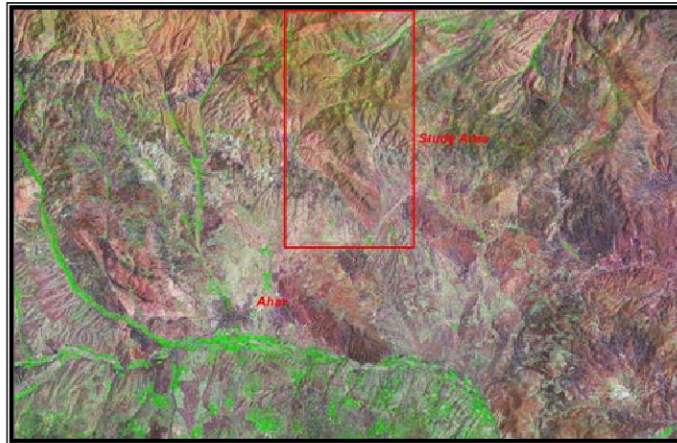
لایه کرم متمایل به زرد است که بطور همسیب بر روی واحد K^t قرار داشته و بطرف شمال

توسط توده گرانیتی شیورdag قطع شده و بطور محدود اسکارنی (اپیدوتیتی و کلریتی همراه با

گارنت) شده است.

۷-۴- واحدهای ایگنمبریتی، داسیتی، آندزیتی و تراکیتی ($E_{ig}^t, E_{an}, E_a^i, E_p^l$)

شامل ترادف ضخیمی از سنگهای آتشفسانی با زمان ائوسن است که به صورت نواری باریک و طویل در منطقه گستردۀ شده و دارای روند عمومی شمال باخته-جنوب خاور است. ترکیب سنگشناسی آن شامل ایگنمبریت، گدازه‌های داسیتی، آندزیت پورفیری و تراکیت است، که به صورت گستردۀ تحت تأثیر فرایندهای گرمابی حاصل از مراحل پایانی فعالیت توده گرانیتی شیورداغ قرار گرفته و نتیجه آن آرژیلی شدن و سیلیسی شدن شدید سنگ‌های مذکور همراه با رگه‌های سیلیسی آهن‌دار حاوی کانی‌های کالکوپیریت، مالاکیت و آزوریت می‌باشد.



شکل ۱-۲- محدوده مورد مطالعه بر روی تصاویر ماهواره‌ای و نقشه زمین‌شناسی



۷-۱-۵- توده‌های گرانیت‌ئیدی شیورداغ

مجموعه کربناته - آواری - آتشفشنایی کرتاسه و مجموعه آتشفشنایی اوسن را یک توده بزرگ گرانیت‌ئیدی با زمان الیکوسن قطع نموده که بصورت ستیغ بلند و طویلی در امتداد خاوری و باختری - باختری گسترش داشته و ارتفاعات بلند کوه شیورداغ را تشکیل می‌دهد. رخساره عمدۀ آن گرانیتی است ولی بخش‌های حاشیه‌ای آن میکروگرانیت، آپلیت و مونزونیتی را نشان می‌دهد. مهمترین رخساره‌های سنگی این توده بصورت درشت‌دانه زیر است:

۷-۱-۵- میکروگرانیت، آپلیت و گرانودیوریت (O_{mg})

این واحد به‌طور محلی حاشیه جنوبی توده بزرگ گرانیتی شیورداغ در مرز با سنگ‌های آهکی کرتاسه رخنمون دارد. در ترکیب سنگ‌شناسی این واحد کوارتز و فلذسپات‌های آلکالن و پلاژیوکلاز دیده می‌شود که این مجموعه به وسیله کانی‌های فرعی همچون مگنتیت و کلریت و کانی‌های رسی همراهی می‌شوند.

۷-۱-۶- مونزونیت، کوارتز مونزونیت، میکرومونزونیت (Omz)

این واحد به‌طور محلی بصورت چند توده کوچک در حاشیه خاوری توده گرانیتی شیورداغ سنگ‌های آتشفشنایی اوسن را قطع نموده و دارای ترکیب مونزونیت - کوارتز‌مونزونیتی می‌باشد. در ترکیب سنگ‌شناسی این واحد کوارتز و فلذسپات‌های آلکالن و پلاژیوکلاز دیده می‌شود که این مجموعه به وسیله کانی‌های فرعی همچون مگنتیت و کلریت و کانی‌های رسی همراهی می‌شوند.



۷-۳-۵-گرانیت و گرانودیوریت (O^g)

این واحد بدنه اصلی توده بزرگ گرانیتی شیورداغ است که با روند تقریباً خاوری - باختری ارتفاعات بلند کوه شیورداغ را تشکیل می‌دهد. ترکیب سنگ‌شناسی آن در حد کوارترزدیوریت تا گرانیت و گرانودیوریت است و کانی‌های مانند آمفیبول و بیوتیت نیز در آن دیده می‌شود. ضمن آنکه کوارتز و فلدسپات نیز موجود می‌باشد. باید مذکور شد که کانی‌های مانند آپاتیت و اسفن در این واحد میتواند راهنمای مناسبی جهت اکتشاف تعدادی از عناصر باشد. رخساره نیمه عمیق آن (بخش‌های میکرومونزونیتی) برای کانی‌سازی مس نوع پورفیری (مشابه کانسار مس سونگون) و رخساره‌های عمیق آن در تماس با سنگ آهک‌های کرتاسه برای کانی‌سازی نوع اسکارن مس (نظیر کانسارهای مزرعه دانجرد) قابل بررسی است.

۸-۱-توان معدنی منطقه مورد مطالعه

در محدوده مورد بررسی بخاطر نفوذ توده‌های گرانیتوئیدی شیورداغ به داخل سنگ‌های کربناته - آواری - آتشفسانی کرتاسه و سنگ‌های آتشفسانی اوسن کانی‌سازی اسکارن مس و طلا(مشابه کانسار مس مزرعه)، کانی‌سازی مس نوع پورفیری (مشابه کانسارهای مس سونگون و مسجددادگی)، کانی‌سازی طلای رگه‌ای (مشابه کانسار طلای رگه‌ای هیزه‌جان و مسجددادگی)، کانی‌سازی طلای تیپ کوارتز - آلونیتی در سنگ‌های آتشفسانی دگرسان شده اوسن و کانی‌سازی قلع و تنگستن نوع اسکارن (در تماس واحدهای کربناته کرتاسه با توده گرانیتوئید شیورداغ) مورد انتظار است، که در این مطالعات مورد توجه قرار گرفته و در طراحی شبکه نمونه‌برداری و تعبیر و تفسیر نتایج مطالعات مد نظر قرار گرفته است.



پی جویی به روش اکتشاف ژئوشیمیایی ۱:۲۵۰۰ در محدوده اکتشافی کلیر ۲



فصل دوم

اکتشافات ژئوشیمیایی



۱-۲ - مقدمه

اکتشافات ژئوشیمیایی امروزه عنوان یکی از لایه‌های اطلاعاتی در اکتشافات مواد معدنی در جهان شناخته شده است. گستره میدان آنالیز‌های ژئوشیمیایی، حد تشخیص و حساسیت مناسب دستگاه‌های آنالیز کننده و دقت آنها امکان آنالیز متغیرهای گوناگون ژئوشیمیایی را فراهم می‌کند که روش‌های متنوع در پردازش داده‌ها با هدف اخذ نتایج بهینه به همراه نرم‌افزارهای مناسب و کارا به عنوان دست‌افزارهای یک ژئوشیمیست نیل به اهداف اکتشافی را تسهیل می‌کند.

در حقیقت تحولات سالهای اخیر را میتوان به عنوان انقلاب در سیستم‌های اکتشافی قلمداد نمود که در راستای آن دستاوردهای شایان توجه در زمینه اکتشافات ژئوشیمیایی حاصل شده که حاصل تلاش بی‌وقفه اساتید این شاخه و پیگیری رهروان این علم است.

حجم عظیم اطلاعاتی که در چرخه داده‌پردازی‌های ژئوشیمی اکتشافی وارد شده، کارشناسان را برآن می‌دارد که پس از رقومی کردن آنها به راه حل‌هایی متولّ شوند که نتیجه آن دستیابی به مناطق پرپتانسیل و امیدبخش است. کارآیی سیستم کلاسیک اکتشافی و تکیه بر یافته‌های عینی در صحراء، امروزه در اکتشافات جایگاه مقبولی ندارد. هنر اکتشافات با درنظر گرفتن قوانین آمار و احتمالات و با علم بر احتمال تمرکز مواد معدنی، احتمال کشف و دسترسی به اهداف اکتشافی را سالم‌تر و آسان‌تر مینماید. یکی از راه‌های مرکزیت اکتشافی صنایع و معادن، اولویت‌بندی اکتشافی و تحقق پیش زمینه آن یعنی تهیه نقشه و تدوین گزارشات اکتشافات ژئوشیمیایی در مقیاس ۱:۱۰۰/۰۰۰ است. در این راستا طرح اکتشافات ژئوشیمیایی سراسری کشور تنظیم و بصورت برنامه‌ای میان مدت و بلند مدت به تقریب به پایان رسید.



پیرو اتمام نقشه‌های ۱:۱۰۰/۰۰۰ ژئوشیمیایی، طرح اکتشافات نیمه‌تفصیلی در مقیاس ۱:۲۵/۰۰۰ در محدوده مناطق امیدبخش در دستور کار متولیان امور اکتشاف قرار گرفت و پیرو این راه، محدوده‌های امیدبخش اکتشافی بصورت پیمانی (شرکت‌های مهندسین مشاور) در دستور کار عملیات اکتشافی قرار گرفت. محدوده اکتشافی کلیر نیز یکی از نواحی اولویت‌دار اکتشافی پیمانی است که به شرکت مهندسین مشاور پیچاب کانسار محول شد.

۲-۲- انتخاب محیط نمونه برداری

در اکتشافات ژئوشیمیایی بزرگ مقیاس، نمونه‌برداری از رسوب‌های آبراهه‌ای هدف اول عملیات صحرایی است. انتخاب محیط مناسب نمونه‌برداری از اهمیت بسزایی برخوردار است که همچنان در بررسی ژئوشیمیایی در مقیاس ۱:۲۵/۰۰۰ بهترین مکان برای نمونه‌برداری رسوبات رودخانه‌ای است (با توجه به جغرافیای طبیعی، توپوگرافی و زمین‌شناسی ایران) که خود معلول شرایط گوناگون آب و هوایی، وضعیت زمین‌شناسی، توپوگرافی، کانی‌سازی و همچنین شیب آبراهه‌ها و شیب کلی منطقه است. میزان بارندگی در محیط‌های گوناگون عامل مهمی در ایجاد درجات متفاوتی از انواع فرسایش مکانیکی و شیمیایی و میزان انتقال رسوبات است و ارتفاع نیز در شدت و نوع فرسایش و انتقال رسوبات در مناطق مختلف نقش بسزایی ایفا می‌کند.

با بررسی کامل حوضه‌های آبریز طراحی و برداشت نمونه‌ها، امکان بررسی نهایی و دستیابی به اطلاعات حوضه‌های بالادست فراهم می‌آید و این خود راهنمای مناسبی برای رسیدن به آنومالی‌های احتمالی است. در راستای جلوگیری از هرگونه خطای نمونه‌برداری شایسته است که نمونه از رسوبات



آبرفتی از سطح تا عمق (حداکثر عمق ۵۰ سانتیمتر) برداشت شود. همچنین نمونه از محیط غیرهمگن و از مرکز آبراهه برداشت شود. در مواردی مشاهده شده که نمونه بردار در جهت سهولت و سرعت کار محل نمونه را در بخش کناری آبراهه و در جایی که نهشته‌های آبرفتی پوشیده از سیلت و رس است انتخاب کرده که این محل‌ها در بسیاری از موارد نمی‌توانند گویای انتشار و انتقال رسوبات از محیط‌های اولیه بالادست به این نقاط باشند.

۳-۲- طراحی شبکه نمونه‌برداری

یکی از مراحل مهم و اساسی هر فاز اکتشافات ژئوشیمیایی، طراحی نقاط نمونه‌برداری است که عنوان اساس و پایه کار مبایست بدون خطایا با کمترین خطای صورت گیرد. طراحی یاد شده با بررسی و شناخت حوضه‌های آبریز یا شبکه آبراهه‌ها و با هدف نمونه‌برداری از رسوبات رودخانه‌ای انجام می‌گیرد. البته عوامل گوناگونی می‌تواند در طراحی نمونه‌ها دخیل باشد. از آن جمله می‌توان به رخنمونه‌های سنگی، پوشش گیاهی، مزارع و مناطق کشاورزی اشاره کرد.

در هر حال ابتدا با بررسی نقشه توپوگرافی ۱:۲۵۰۰۰، محدوده حوضه‌های آبریز بررسی و سیستم آبراهه‌ها تکمیل می‌شود، سپس با استفاده از نقشه زمین‌شناسی منطقه و با در نظر گرفتن واحدهای سنگی مستعد کانی‌سازی، توده‌های نفوذی، همبری‌های مهم، سیستم‌های گسلی، معادن قدیمی، فعال و همچنین با استفاده از نقشه ژئوفیزیک هوایی و بررسی شواهد موجود در آن از جمله گسل‌های پنهان، وضعیت توده‌های نفوذی نیمه عمیق و سرانجام بررسی وضعیت جغرافیایی منطقه، راههای دسترسی و با



توجه به زمان و بودجه پروژه، امر طراحی نمونه‌ها در محدوده مورد مطالعه انجام می‌شود. برای طراحی بهینه

نمونه‌ها و انتخاب مناسب‌ترین نقاط علاوه بر زمان و بودجه، معیارهای زیر باید مورد توجه قرار گیرد.

- دستیابی به توزیع یکنواخت نمونه‌ها در کل نقشه

- رعایت چگالی نمونه‌های ژئوشیمیایی و کانی سنگین برپایه استانداردهای جهانی و ویژگی‌های هر

نقشه.

- توزیع همگون و تا حد امکان یکنواخت نمونه‌ها متناسب با سطح حوضه آبریز و تعداد انشعباب آن

- اولویت به رسوبات رودخانه‌ای که سنگ بستر خود را قطع می‌کنند.

- بررسی و امکانات جاده‌ای و در نظر گرفتن شرایط اسکان در نزدیکترین محل به نقشه

- توجه به واحدهای سنگی مختلف و انتشار زون‌های آتراسیون و کانی‌سازی

پس از این مرحله نقشه‌های توپوگرافی مربوط به محدوده اکتشافی اسکن و برای رقومی کردن

محل نمونه‌ها، آبراهه‌ها، جاده‌ها و روستاهای ... از نرم افزارهای *Autocad* و *Arcview* استفاده شده و با

نرم افزار *Excel* لیست نمونه‌ها همراه با مختصات آنها در سیستم *UTM* تهیه و جهت عملیات صحرایی

آمده می‌گردد. مختصات دقیق هر نمونه همراه با نقشه‌های نمونه‌برداری و دستگاه *GPS* کمک شایانی را در

تسهیل امر نمونه‌برداری به خصوص در مناطق دشت و بیابان می‌نمایند. بطور کلی در محدوده اکتشافی کلیر

تراکم نمونه‌برداری برای نمونه‌های ژئوشیمی به تقریب برای هر کیلومترمربع ۵ نمونه و برای نمونه‌های

کانی سنگین برای هر کیلومترمربع ۲ نمونه بوده است.



۴-۲-عملیات صحرایی

مراحل گوناگون اکتشافات ژئوشیمیایی همچون طراحی نمونه، نمونه‌برداری، آنالیز نمونه‌ها، داده‌پردازی، بررسی و تدوین گزارش همانند دانه‌های زنجیر بهم پیوسته می‌باشند و از آنجا که داده‌های حاصل از آنالیز نمونه‌ها در مرحله داده‌پردازی و تعیین نواحی آnomالی نقش اساسی را بر عهده دارند، لذا دقیق در نمونه‌برداری همچون دیگر مراحل بسیار مهم است.

در محدوده اکتشافی کلیبر، با توجه به سابقه نمونه‌برداری قبلی از این ناحیه در عملیات صحرایی (مرحله ناحیه ای ۱:۱۰۰/۱۰۰) و انتخاب اندازه دانه‌بندی نمونه‌های ژئوشیمیایی در حد ۸۰ مش و پارامترهایی همچون اکتشاف طلا و کمبود زمان، مش نمونه‌برداری در این مرحله همچون فاز ناحیه‌ای ۸۰ مش انتخاب گردید. نمونه‌های ژئوشیمی در صورت خشک بودن محل نمونه‌برداری از جزء ۸۰ مش برداشت و در صورت خیس بودن ابتدا نمونه‌ها خشک شده، سپس با الک ۸۰ مش مورد جدایش قرار گرفته است. وزن نمونه‌های برداشت شده با توجه به اندازه دانه‌بندی حدود ۳۰۰-۲۰۰ گرم می‌باشد. گروه نمونه‌بردار با استفاده از نقشه توپوگرافی ۱:۲۵۰۰۰ و مختصات نقاط ثبت شده در دستگاه موقعیت یاب جهانی (*GPS*) نمونه‌ها را برداشت کردند. نمونه‌ها پس از مرحله‌آماده سازی صحرایی در کیسه‌های مناسب و دولایه ریخته و شماره آنها بصورت برچسب و همچنین بصورت اتیکت درون نمونه‌ها ثبت می‌شود. لیست نمونه‌های برداشت شده در پایان هر روز کنترل و انتقال شماره‌های نهایی به نقشه‌های اصلی پیشرفت کار ادامه می‌یابد. پس از طراحی محل نمونه‌ها، ۴ گروه نمونه‌بردار در منطقه مورد مطالعه مستقر شده و با توجه به شرایط توپوگرافی سخت منطقه، در طی ۱۰ روز کاری نمونه‌برداری انجام پذیرفت.



جهت کدگذاری نمونه‌ها در محدوده اکتشافی کلیر از کد **K-86-I** استفاده شده است که (K) نام

محدوده مطالعاتی کلیر، (1386) سال نمونه‌برداری می‌باشد، لازم به ذکر است نمونه‌های ژئوشیمیایی با وزنی

در حدود ۱۵۰-۲۰۰ گرم برداشت شد و در ایستگاه‌هایی که به طور همزمان نمونه‌های ژئوشیمیایی و کانی سنگین (7 لیتر با جزء زیر الک ۲۰ مش) برداشت شده است به انتهای کد مربوطه حرف (H) اضافه می‌شود.

نمونه‌های کانی سنگین در کيسه‌های ضخیم بسته‌بندی و کدگذاری شد و جهت حفظ شماره نمونه‌ها، شماره

نمونه در کيسه‌های کوچک قرار گرفت و در درون نمونه‌های کانی سنگین جاسازی شد. که جهت آماده

سازی در انبار موجود بوده که با نظر مساعد ناظر محترم عملیات آماده‌سازی بر روی آن انجام خواهد شد. در

بررسی‌های صحرایی، هرگونه عارضه‌ای مهم در خصوص کانی‌زایی اعم از دگرسانی، رگه و رگچه‌های

سیلیسی و ... برداشت و بر روی نقشه پیشرفت مشخص می‌شود.

براساس شرح خدمات و با توجه به اینکه مساحت محدوده مطالعاتی در حدود ۱۱۰ کیلومترمربع

می‌باشد (حدود ۸۰ درصد منطقه دارای رخنمون بوده و ۲۰ درصد مابقی در دشت‌ها قرار دارد) در این پروژه

تعداد ۴۷۱ نمونه ژئوشیمیائی و ۱۴۰ نمونه کانی سنگین طراحی شده است.

۴-۵- آماده سازی و آنالیز نمونه‌ها

بخشی از مرحله آماده‌سازی نمونه‌ها با انتخاب قطر بهینه ذرات بوسیله الک ۸۰ مش در صحراء انجام

می‌گیرد. نمونه‌ها پس از کنترل نهایی شماره‌ها همراه با لیست مربوطه ابتدا جهت نرمایش تا مرحله جزء ۲۰۰

مش به قسمت نمونه کوبی ارسال و پس از دریافت به آزمایشگاه زرآزم ارسال شد.



۶-۲- تحلیل دقت آنالیزهای دستگاهی

یکی از پارامترهای شاخص و تعیین‌کننده در راستای تهیه گزارش اکتشافی ژئوشیمیایی بررسی صحت و دقت آنالیزهای انجام شده بر روی نمونه‌های ژئوشیمیایی است. صحت آنالیزها را بطور معمول می‌توان با شاخص‌هایی همچون لیتوژوژی سنگ‌های دربرگیرنده، حوضه نمونه‌برداری، وضعیت زمین ساخت، مقایسه با نتایج بدست آمده از مطالعات کانی سنگین، نتایج بدست آمده از نمونه‌های لیتوژئوشیمیایی، اثرات شناخته شده معدنی، پاراژنر عنصری و ... مشخص و معین ساخت. پس از اطمینان از درستی نتایج حاصله می‌توان به بحث درباره دقت نتایج بدست آمده پرداخت.

روش بکار برده شده جهت تخمین میزان خطای آنالیزهای شیمیایی روشی است که توسط محققین کالج سلطنتی لندن در سال ۱۹۷۸ ارائه و در جزوای ژئوشیمی اکتشافی، استفاده از آن در بررسی ژئوشیمیایی آبراهه‌ای توصیه شده است (تامسون و هاوارت).

در این روش در یک سیستم مختصات تمام لگاریتمی بر روی محور افقی میانگین مقادیر اندازه‌گیری شده در نمونه‌های اصلی و نمونه‌های تکراری متناظر با آن و بر روی محور قائم قدر مطلق اختلاف بین دو اندازه‌گیری آورده می‌شود. دیاگرام فوق بعنوان نمودار کنترلی خوانده می‌شود. در این دیاگرام خطوط مایلی دیده می‌شوند که معرف سطح دقت مورد نظر (معادل ۱۰٪) می‌باشند. حال اگر مجموع نقاط طوری در نمودار کنترلی توزیع شوند که ۹۰٪ آنها زیر خط پایینی و ۹۹٪ آنها زیر خط بالایی قرار گیرند، در این صورت خطای آنالیز ۱۰٪ خواهد بود.

به منظور کنترل دقت آزمایشگاه، ۳۰ نمونه تکراری بطور کاملاً تصادفی (جدول ۲-۱) از نمونه‌های اولیه جدا شد که نتایج آنالیز آن در پیوست ۱ ارائه شده است. بر پایه مقایسه نمودارهای کنترلی با نمونه‌های



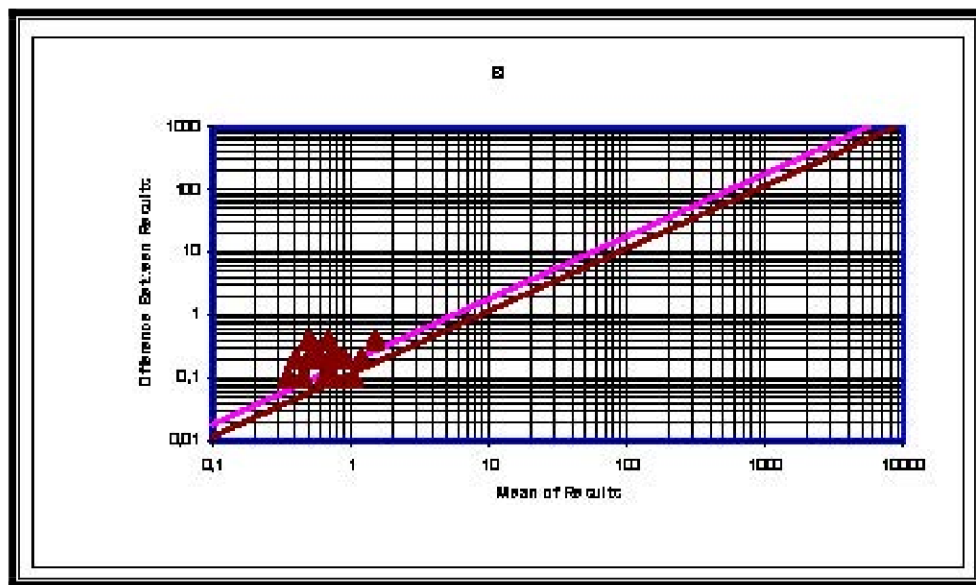
اصلی، در صورتیکه میزان اندازه‌گیری شده خطای متغیرها پایین تر از ۱۰٪ باشد نشاندهنده دقت آنالیزهای انجام شده است. جهت تخمین دقت آزمایشگاه از نمودار کنترلی یا نمودار تامپسون (نمودار ۲-۱) و روش محاسباتی میزان خطاهای آنالیز شیمیایی نمونه‌ها استفاده شده است که نتایج آنها در جدول شماره ۲-۲ و پیوست ۲ ارائه شده است.

جدول ۲-۱- لیست نمونه‌های اصلی و تکراری در محدوده مطالعاتی کلیر

| ORIGINAL SAMPLE | DUPLICATE SAMPLE | ORIGINAL SAMPLE | DUPLICATE SAMPLE |
|-----------------|------------------|-----------------|------------------|
| K.AT.۱۶۲ | ۱۱۱A | K.AT.۲۴ | ۱۲۲A |
| K.AT.۳۳۳ | ۱۱۱A | K.AT.۳۲ | ۱۲۲A |
| K.AT.۹ | ۱۱۱A | K.AT.۳۷۱ | ۱۲۳A |
| K.AT.۱۱۸ | ۱۱۱A | K.AT.۱۱ | ۱۲۴A |
| K.AT.۲۸ | ۱۱۱A | K.AT.۲۲ | ۱۲۵A |
| K.AT.۴۹ | ۱۱۱A | K.AT.۱۱۱ | ۱۲۶A |
| K.AT.۴۸ | ۱۱۱A | K.AT.۶۰ | ۱۲۷A |
| K.AT.۴۶ | ۱۱۱A | K.AT.۱۲۱ | ۱۲۸A |
| K.AT.۵۶ | ۱۱۱A | K.AT.۱۱۲ | ۱۲۹A |
| K.AT.۳۷۳ | ۱۲۱A | K.AT.۱۱۴ | ۱۳۰A |
| K.AT.۳۷۶ | ۱۲۱A | K.AT.۱۱۳ | ۱۳۱A |
| K.AT.۲۶۱ | ۱۲۱A | K.AT.۱۱۵ | ۱۳۲A |
| K.AT.۲۰۱ | ۱۲۱A | K.AT.۱۱۶ | ۱۳۳A |
| K.AT.۳۷۸ | ۱۲۱A | K.AT.۱۱۷ | ۱۳۴A |
| K.AT.۲۹۸ | ۱۲۱A | K.AT.۱۱۸ | ۱۳۵A |

جدول ۲-۲- خطای نسبی نمونه‌های تکراری در محدوده مطالعاتی کلیر(بر حسب درصد)

| Element | Ni | Ba | La | Sn | Co | Y | Sc | | | | | |
|-----------------|-----|-----|-----|-----|-----|-----|-----|-----|-----|-----|-----|-----|
| Relative Error% | ۱۰۷ | ۱۰۷ | ۱۰۷ | ۱۰۷ | ۱۰۷ | ۱۰۷ | ۱۰۷ | | | | | |
| Element | Pb | Be | Th | Sb | Zn | Cu | Ge | Cs | Nb | U | Zr | Cd |
| Relative Error% | ۱۰۷ | ۱۰۷ | ۱۰۷ | ۱۰۷ | ۱۰۷ | ۱۰۷ | ۱۰۷ | ۱۰۷ | ۱۰۷ | ۱۰۷ | ۱۰۷ | ۱۰۷ |
| Element | As | Mn | Li | Tl | Bi | W | V | | | | | |
| Relative Error% | ۱۰۷ | ۱۰۷ | ۱۰۷ | ۱۰۷ | ۱۰۷ | ۱۰۷ | ۱۰۷ | | | | | |
| Element | Rb | Ag | Te | Hg | Au | | | | | | | |
| Relative Error% | ۱۰۷ | ۱۰۷ | ۱۰۷ | ۱۰۷ | ۱۰۷ | | | | | | | |



نمودار ۲-۱-۲ - نمودار خطأگیری به روش تامپسون برای عنصر منگنز در نمونه‌های تکراری کلیر

با توجه به نمودارها و خطای محاسبه شده می‌توان گفت که:

- * میزان خطای اندازه‌گیری در مورد عناصر Ni,Ba,La,Sn,Co,Y,Sc کمتر از ۱۰ درصد می‌باشد که کاملاً قابل قبول می‌باشد.
- * میزان خطای اندازه‌گیری در مورد عناصر Pb,Be,Th,Sb,Zn,Cu,Ce,Cs,Nb,U,Zr,Cd بین ۱۰ تا ۲۰ درصد است که تقریباً قابل قبول می‌باشد.
- * میزان خطای اندازه‌گیری در مورد عناصر As,Nb,Li,Tl,Bi,W,V بین ۲۰ تا ۳۰ درصد است که تا حدودی می‌توان به آن استناد نمود.
- * میزان خطای اندازه‌گیری در مورد عناصر Au,Ag,Rb,Te,Hg بیشتر از ۳۰ درصد است که غیر قابل قبول می‌باشد و باید محتاطانه با آن برخورد نمود.



۷-۲- مطالعه آماری تک متغیره

در بررسی های ژئوشیمیایی به هر عنصر یا اکسید یا هر ترکیبی که بررسی آنالیز نمونه آن انجام میشود متغیر گفته میشود. در مطالعات آماری تک متغیره ($n=1$) پردازش روی مقادیر یک متغیر بدون درنظر گرفتن بقیه متغیرها صورت میگیرد. این مطالعات شامل محاسبات پارامتری آماری، نرمال سازی، رسم نمودارها، تهیه جداول مقادیر ($\bar{X} + ns$) برای داده های نرمال، جدایش مقادیر خارج از رده و رسم نقشه برای هر عنصر میباشد. در عملیات اکتشافات ژئوشیمیایی در محدوده اکتشافی کلیر تعداد ۳۰ عنصر آنالیز شده (پیوست ۳) که از این تعداد ۲۲ عنصر مورد پردازش قرار گرفته است.

۸-۲- فایل بندی داده های خام

با توجه به اینکه بخش عمدات از داده پردازی ها با استفاده از رایانه انجام میشود، لذا قبل از شروع پردازش باید کنترل شده و شکل و اندازه (**Format**) ویژه نرم افزارهای آماری مانند **Excel** و **SPSS** را پذیرد. این عمل برای تمامی ۷۱ نمونه ژئوشیمیایی و ۳۰ نمونه تکراری در محدوده اکتشافی کلیر انجام شده است. در این قالب در ستون اول شماره نمونه، در ستون های بعدی مختصات جغرافیایی نمونه ها و عیار عناصر گوناگون نمایش داده شده است.

۹-۲- پردازش داده های سنسورد

داده های سنسورد به داده هایی گفته میشود که توسط آزمایشگاه به صورت مقادیر کمتر یا بیشتر از یک عدد (حد تشخیص دستگاه آنالیز کننده) گزارش میشوند که به ترتیب متناظر با علامات $a <$ و $> b$ هستند. معنی علامت $a <$ این است که مقدار عنصر مورد سنجش موجود در



این نمونه کمتر از حد تشخیص دستگاه است. در این مورد حد تشخیص دستگاه یا توانایی

تشخیص آن حداقل (ppm) a می‌باشد. معنی علامت b > این است که مقدار عنصر مورد

سنجرش موجود در این نمونه بیشتر از حد تشخیص دستگاه است. در این مورد حد تشخیص

دستگاه یا توانایی تشخیص آن حداثر (ppm) b می‌باشد.

داده‌های سنسور د برای داده‌پرداز و بویژه نرم‌افزارهای مورد استفاده معنایی ندارد. زیرا نرم‌افزارهای

داده‌پردازی فقط داده عددی را به ازای هر متغیر (عنصر) و هر شماره نمونه می‌شناسد. بنابراین بایستی

داده‌های سنسور د با بهترین مقدار عددی جایگزین شوند. این اعداد که توسط فرمولها و روش‌های گوناگون

محاسبه می‌شوند، فقط هنگامی جایگزین می‌شوند که تعداد کل داده‌های سنسور د نسبت به کل داده‌ها از حد

معینی فراتر نباشد. با بررسی داده‌های سنسور د و روش‌های جایگزینی آنها به جای مقادیر سنسور د در

حد بالا ($b > a$) $\frac{3}{4}$ و بجای مقادیر سنسور د حد پایین ($a < b$) $\frac{4}{3}$ جایگزین می‌شود. انتخاب بهترین مقدار

برای جایگزینی داده‌های سنسور د امر مهم و حساسی است زیرا تعداد زیاد سنسوردهای حد پایین، حد زمینه

را پایین برده و آنومالی‌ها را کمرنگ می‌کند. هنگامی که تعداد داده‌های سنسور د نسبت به کل داده‌ها (در صد

داده‌های سنسور د) بیشتر از حد معینی باشند، بهترین راه حذف عنصر مورد نظر از جریان داده‌پردازی است.

در محدوده اکتشافی کلیر برای هیچ عنصری مقادیر سنسور د گزارش نشده است.

۱۰-۲- جدایش مقادیر خارج از رده

مقادیر خارج از رده به مقادیری گفته می‌شود که به نحو چشمگیری خارج از مقادیر داده‌ها در

آخرین حد مقادیر کم یا زیاد قرار داشته باشند، لازم به ذکر است این مقادیر میتوانند ناهنجاری محسوب

شده و می‌توان آنها را به مناطقی که دارای کانی‌سازی هستند متنسب کرد. برای تشخیص و تعیین مقادیر

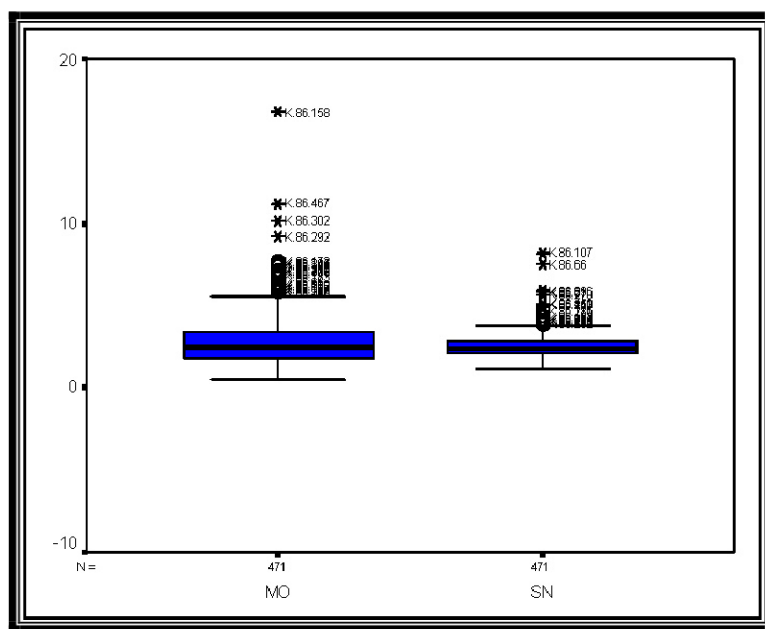
خارج از رده از روشی بنام (Box-Plot) استفاده می‌شود که یکی از روش‌های تعیین مقادیر خارج از رده

می‌باشد.

در محدوده اکتشافی کلیبر در راستای محاسبات پارامتری آماری و رسم نقشه‌های ناهنجاری از

روش جدایش مقادیر خارج از رده با استفاده از روش (Box-Plot) استفاده شده است (نمودار ۲)

.(جدول ۲-۳).



نمودار ۲-۲- نمودار جعبه‌ای برای تعدادی از عناصر در محدوده کلیبر



جدول ۲-۳- مقادیر خارج از رده در محدوده کلیر

| عنصر | پائین ترین مقدار | بالاترین مقدار |
|------|------------------|----------------|
| Cr | K.86.408 | K.86.228 |
| Ni | K.86.158 | K.86.409 |
| Pb | K.86.102 | K.86.36 |
| Ba | K.86.437 | K.86.309 |
| Ag | K.86.448 | K.86.210 |
| As | K.86.238 | K.86.15 |
| Bi | K.86.396 | K.86.408 |
| Co | K.86.470 | K.86.407 |
| Cu | K.86.407 | K.86.302 |
| Mo | K.86.147 | K.86.158 |
| Sb | K.86.433 | K.86.414 |
| Zn | K.86.5 | K.86.36 |
| Sn | K.86.140 | K.86.107 |
| W | K.86.85 | K.86.270 |
| Cd | K.86.446 | K.86.210 |

۱۱-۲- پردازش‌های آماری

۱۱-۲-۱- پارامترهای آماری

پارامترهای آماری در سه گروه پارامترهای مرکزی(Central Tendency)، پارامترهای پراکندگی

و پارامترهای توزیعی (Distribution) طبقه‌بندی می‌شوند. گروه اول شامل میانگین (\bar{X}) که

میزان تمایل به مرکز داده‌ها را مشخص می‌کند، گروه دوم شامل انحراف معیار(S)، واریانس ، بیشترین و

کمترین مقدار داده‌های داده‌ها نسبت به میانگین را مشخص می‌کنند، گروه سوم شامل

چولگی (Skewness) و کشیدگی (Kurtosis) است که به ترتیب میزان تقارن حول میانگین و تیزی منحنی را

نشان می‌دهند.



انتظار یک ژئوشیمیست در مقیاس ناحیه‌ای، داشتن جوامع لاغ نرمال با چولگی مثبت است زیرا در این جوامع مقادیر بالا با فراوانی اندک میتواند معرف پتانسیل‌های اقتصادی باشند. جوامع لاغ نرمال به جوامعی گفته میشود که لگاریتم داده‌های آن جوامع دارای توزیع نرمال باشد.

با بررسی پارامترهای آماری داده‌های خام مشاهده میشود که بیشترین چولگی مربوط به عناصر بیسموت با مقدار ۱۲/۰۴ (جدول ۲-۴) و بیشترین ضریب کشیدگی مربوط به عناصر بیسموت با مقدار ۱۹۸/۳۴ است.

کمترین مقادیر چولگی داده‌های خام را عنصر روییدیوم با مقدار ۰/۲۴۴ نشان داده و کمترین کشیدگی مربوط به عنصر روییدیم با مقدار ۰/۳۱۴ - میباشد. در ضمن بیشترین میانگین مربوط به عنصر باریم با مقادیر ۵۷۸ و کمترین میانگین مربوط به عنصر جیوه با مقادیر ۰/۱۴۴، ۰/۳۱۸۵۰ میباشد علاوه بر آن بیشترین انحراف استاندارد و واریانس مربوط به کادمیم با مقدار ۰/۱۳۵ و ۰/۰۲ است.

جدول ۴-۲- پارامترهای آماری داده‌های خام در محدوده کلیر

| Element | N | | Mean | Median | Mode | Std. Deviation | Variance | Skewness | Kurtosis | Minimum | Maximum |
|---------|-------|---------|--------|--------|---------|----------------|-----------|----------|----------|---------|---------|
| | Valid | Missing | | | | | | | | | |
| Au | 471 | 0 | 8.78 | 4 | 3 | 22.75 | 517.65 | 7.375 | 65.467 | 0 | 250 |
| Cr | 471 | 0 | 45.75 | 42 | 29 | 23.28 | 542.16 | 3.215 | 19.96 | 6 | 243 |
| Ni | 471 | 0 | 20.97 | 20 | 27 | 10.57 | 111.77 | 0.778 | 1.251 | 9 | 81 |
| Pb | 471 | 0 | 30.055 | 26 | 24.8 | 14.829 | 219.905 | 3.369 | 21.355 | 13.4 | 173 |
| Be | 471 | 0 | 570.12 | 552 | 670 | 178.46 | 31849.67 | 4.066 | 41.639 | 251 | 2600 |
| La | 471 | 0 | 3.029 | 2.9 | 2.9 | 1.143 | 1.306 | 1.21 | 2.73 | 0.2 | 8.2 |
| Sc | 471 | 0 | 10.85 | 11 | 12 | 3.23 | 11.77 | 0.717 | 0.706 | 5 | 25 |
| Li | 471 | 0 | 16.05 | 16.4 | 19 | 5.44 | 29.54 | 0.096 | 2.954 | 3 | 51 |
| Zr | 471 | 0 | 70.42 | 65 | 61 | 38.49 | 1481.23 | 2.417 | 14.302 | 10 | 434 |
| Hg | 471 | 0 | 0.1439 | 0.11 | 0 | 0.1501 | 0.02 | 1.734 | 2.783 | 0 | 0.70 |
| Ag | 471 | 0 | 0.4389 | 0.4 | 0.4 | 0.3258 | 0.1061 | 4.109 | 27.318 | 0 | 3.41 |
| As | 471 | 0 | 20.48 | 15.7 | 11.61 | 17.3 | 299.45 | 4.394 | 31.126 | 4 | 191 |
| Bi | 471 | 0 | 0.717 | 0.6 | 0.5 | 1.147 | 1.315 | 12.044 | 198.342 | 0 | 20.7 |
| Co | 471 | 0 | 17.258 | 16.3 | 12.9 | 5.723 | 32.749 | 2.077 | 9.349 | 6.6 | 31.6 |
| Cu | 471 | 0 | 77.192 | 59.3 | 45.1(a) | 68.075 | 46341.886 | 5.11 | 11.529 | 17.3 | 851 |
| Mo | 471 | 0 | 2.825 | 2.5 | 2.3(a) | 1.556 | 2.452 | 2.797 | 16.237 | 0.5 | 16.8 |
| Sb | 471 | 0 | 1.872 | 1.5 | 0.7 | 1.36 | 1.819 | 2.512 | 9.924 | 0.3 | 11 |
| Zn | 471 | 0 | 89.31 | 83.8 | 108(a) | 30.22 | 812.96 | 0.923 | 1.456 | 29 | 234 |
| Sn | 471 | 0 | 2.587 | 2.1 | 2.3 | 0.76 | 0.577 | 2.197 | 11.913 | 1.2 | 8.2 |
| W | 471 | 0 | 4.359 | 3.4 | 2.9 | 3.896 | 15.175 | 5.324 | 56.254 | 1.1 | 52.6 |
| Cd | 471 | 0 | 0.223 | 0.2 | 0.2 | 0.135 | 0.02 | 1.196 | 2.722 | 0 | 0.9 |
| Rb | 471 | 0 | 96.69 | 94.7 | 110 | 29.05 | 843.9 | 0.244 | -0.314 | 20 | 183 |

۲-۱۱-۲- رسم نمودارها

۱-۱۱-۲- هیستوگرام

به نموداری که در آن فراوانی (تعداد) نمونه‌های مربوط به یک (یا یک محدوده) عیار نسبت به خود

(محدوده) عیار رسم می‌شوند، هیستوگرام گفته می‌شود. اندازه گروههای انتخابی در هیستوگرام بر مبنای تابع

توزیع توسط نرم افزار روی محور افقی و فراوانی هر گروه روی محور عمودی مشخص می‌شود. در تعیین

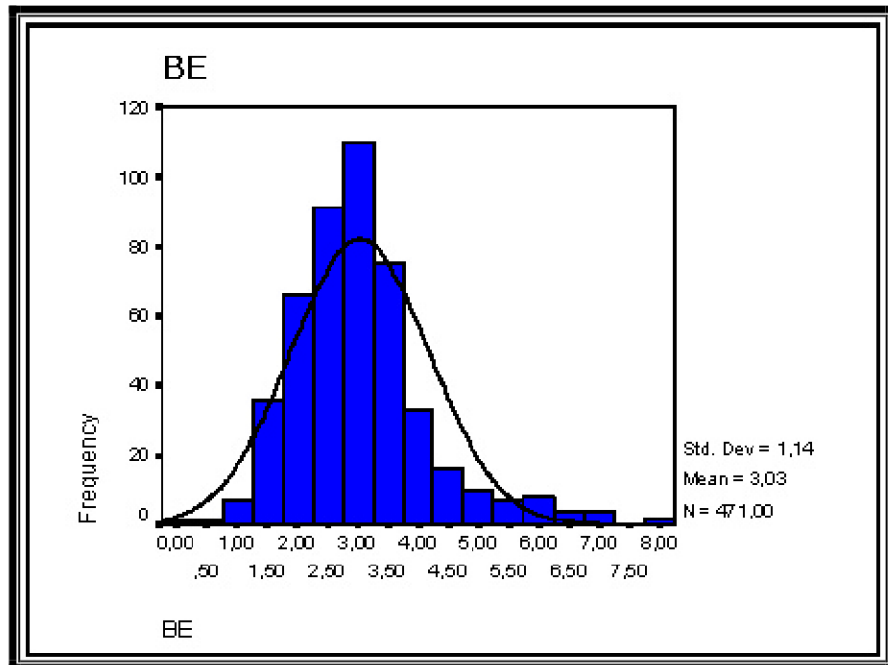
فوائل گروهی بهینه از روش‌های متعددی استفاده می‌شود. مثلاً یک روش محاسبه فرمول $K=10\log N$ که

K تعداد فوائل و N تعداد داده‌های آماری از راهنمای انتحراف معیار، میانگین و تعداد داده‌ها در سمت راست

هیستوگرام آورده شده‌اند. از روی هیستوگرام سه ویژگی مهم، موقعیت (Location)، پراکندگی

و شکل (Shape) منحنی توزیع را میتوان دریافت و بررسی کرد. موقعیت یک جامعه آماری از

روی میانگین حسابی، هندسی، میانه و مد جامعه بررسی میشود. پراکندگی یک جامعه آماری از روی فاکتورهای گروه دوم پارامترهای آماری یعنی واریانس، انحراف معیار دامنه و انحراف درون چارکی قابل بررسی است. اما شکل هیستوگرام یک جامعه آماری به تعداد مدهای جامعه، چولگی و کشیدگی آن بستگی دارد(نمودار ۲-۳) که در بخش تشریح ناهنجاری‌ها، هیستوگرام و منحنی تابع توزیع احتمالی داده‌های خام را نشان می‌کند.

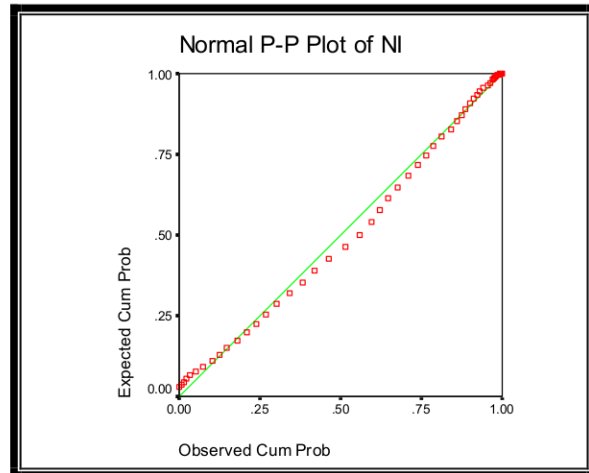


نمودار ۲-۳- هیستوگرام داده‌های خام عنصر نقره در محدوده مطالعاتی کلیر

۲-۱۱-۲- تابع توزیع احتمالی (Probability plot)

این نمودار نحوه توزیع فراوانی جامعه (روی محور افقی) نسبت به فراوانی نسبی تجمعی مورد انتظار از یک جامعه نرمال (روی محور عمودی) را نشان میدهد. اگر جامعه ما نرمال باشد، این نمودار بطور

دقیق روی خط ۴۵ درجه قرار میگیرد. در غیر اینصورت مربعات کوچک قرار گرفته در زیر و روی خط نرمال انحرافات نسبت به جامعه نرمال میباشد. از این نمودار میتوان جوامع فرعی (منطبق با جدایش و شکستگی در نمودار) را تشخیص داد. همچنین این نمودار میزان تقریبی نرمال بودن جامعه را نشان میدهد. لازم به ذکر است که جوامع فرعی را از روی هیستوگرام نیز با کمی دقیق میتوان مشخص کرد (نمودار ۲-۴).



نمودار ۲-۴- تابع توزیع احتمالی داده‌های خام عنصر نقره

۱۱-۳- ضرایب همبستگی

در بررسی های تک متغیره روابط بین متغیرها در نظر گرفته نمی شود و عملیات پردازش روی متغیرها بدون درنظر گرفتن ارتباط بین آنها صورت می گیرد. در صورتیکه در مبحث زمین‌شناسی اقتصادی، روابط و همبستگی ژنتیکی مستقیم و معکوس بین عناصر در کانسارهای گوناگون وجود داشته و از اهمیت ویژهای برخوردار است. در بررسی های دو متغیره همبستگی بین متغیرها با عددی بنام ضریب همبستگی (Correlation Coefficient) نشان داده میشود. ضریب همبستگی میتواند نشانگر



ارتباط همسوی دو متغیره a و b یا ارتباط غیر همسوی آن دو باشد. در حالت اول همبستگی مستقیم و در

حالت دوم همبستگی معکوس است.

ضرایب همبستگی دارای مقدار عددی بین -1 و $+1$ است که عدد 1 بیانگر همبستگی کامل مستقیم،

صفر بیانگر عدم همبستگی و -1 بیانگر همبستگی کامل منفی است. در بررسی‌های دو متغیره از نمودارهای

(Significant Level) پراکنش نیز استفاده می‌شود. ضرایب همبستگی از درجه اعتبار و سطح معنی دار بودن (Significant Level)

معینی برخوردار هستند. این اطلاعات همراه با خود ضرایب همبستگی در یک جدول توسط نرم افزار

محاسبه می‌شود. این درجه اعتبار به تعداد نمونه‌ها بستگی دارد، هرچه تعداد نمونه‌ها بیشتر باشد، ضرایب

همبستگی از درجه اعتبار بیشتری برخوردار می‌باشند.

روش‌های گوناگونی برای محاسبه ضرایب وجود دارد. روش محاسبه پیرسون که به نوع تابع توزیع

حساس است و روش‌های رتبه‌ای که چندان حساسیتی به تابع توزیع ندارند. از میان روش‌های گوناگون

موجود برای محاسبه ضرایب همبستگی در این پژوهه روش محاسبه ضرایب رتبه‌ای اسپیرمن انتخاب شده

که مستقل از تابع توزیع است.

در محدوده اکتشافی کلیر، ضرایب همبستگی بصورت جداگانه برای هر عنصر نسبت به سایر

عناصر و سطح اعتماد این ضرایب با استفاده از ۴۷۱ داده ژئوشیمیایی ثبت و درج شده است (جدول ۵-۲).



بی جویی به روش اکتشاف ژئوشیمیایی ۱:۲۵۰۰ در محدوده اکتشافی کلیر ۲





۱۱-۴-نرمال‌سازی داده‌های خام و بررسی پارامترهای آماری داده‌های نرمال

اکثر محاسبات و روش‌های آماری نیازمند داده‌های نرمال می‌باشد، چنانچه منحنی توزیع یک

مجموعه از داده‌ها مطابق با منحنی توزیع نرمال باشد آن منحنی را نرمال و آن مجموعه داده‌ها را داده‌های

نرمال گویند از خصوصیات یک توزیع نرمال می‌توان کشیدگی در حد ۳، چولگی صفر، انطباق سه آماره

میانگین و میانه و مد، شکل زنگی متقارن و... را نام برد (در نرم‌افزار SPSS مقادیر محاسبه شده برای

کشیدگی و چولگی لازم است با مقدار عددی ۳ جمع شود).

در مرحله اول وضعیت داده‌ها از دیدگاه نرمال بودن مشخص می‌شود. در صورت نرمال یا لاگ

نرمال بودن تقریبی داده‌ها حتی المقدور بررسی‌ها به ترتیب بر روی همان داده‌های خام یا لگاریتم داده‌ها

انجام شده در غیر اینصورت برای نرمال‌سازی می‌توان از تبدیل لگاریتمی چند متغیره یا تبدیل کاکس و

باکس (Cox & Box) استفاده نمود. برای نرمال‌سازی باید شروط نزدیک کردن چولگی به صفر و

کشیدگی به عدد ۳ فراهم شود، با توجه به پارامترهای آماری داده‌های نرمال شده که براساس تبدیل

لگاریتمی در داده‌های خام انجام شده است (جدول ۲-۶) نتیجه مطلوب حاصل نشد که در مرحله بعد با

استفاده از جایگزینی مقادیر خارج از رده بالا نتیجه حاصل شد (جدول ۲-۷).

جدول ۶-۲- پارامترهای آماری لگاریتم داده‌های خام در محدوده کلیبر

| | Valid | Missing | Mean | Median | Mode | Std. Deviation | Variance | Skewness | Kurtosis | Minimum | Maximum |
|--------------|-------|---------|-------|--------|----------|----------------|----------|----------|----------|---------|---------|
| <i>LN_Cr</i> | 471 | 0 | 3.73 | 3.74 | 3.37 | 0.43 | 0.19 | 0.10 | 1.72 | 1.79 | 5.49 |
| <i>LN_Ni</i> | 471 | 0 | 3.30 | 3.33 | 3.30 | 0.37 | 0.14 | -0.30 | -0.11 | 2.20 | 4.39 |
| <i>LN_Pb</i> | 471 | 0 | 3.32 | 3.26 | 3.21 | 0.39 | 0.15 | 0.78 | 1.45 | 2.34 | 5.15 |
| <i>LN_Ba</i> | 471 | 0 | 6.32 | 6.31 | 6.51 | 0.26 | 0.07 | 0.44 | 2.51 | 5.53 | 7.89 |
| <i>LN_La</i> | 471 | 0 | 4.21 | 4.22 | 4.08 | 0.32 | 0.10 | -0.17 | 1.10 | 3.09 | 5.51 |
| <i>LN_Sc</i> | 471 | 0 | 2.33 | 2.40 | 2.48 | 0.32 | 0.10 | -0.11 | -0.38 | 1.61 | 3.22 |
| <i>LN_V</i> | 471 | 0 | 5.25 | 5.13 | 5.00 | 0.51 | 0.26 | 1.29 | 2.90 | 3.95 | 7.54 |
| <i>LN_Zr</i> | 471 | 0 | 4.12 | 4.17 | 4.11 | 0.54 | 0.29 | -0.45 | 0.69 | 2.30 | 6.00 |
| <i>LN_Hg</i> | 471 | 0 | -1.71 | -1.97 | 0.00 | 0.92 | 0.84 | 0.74 | -0.68 | -3.00 | 0.00 |
| <i>LN_Ag</i> | 471 | 0 | -1.01 | -0.92 | -0.92 | 0.66 | 0.43 | -0.74 | 2.49 | -3.91 | 1.23 |
| <i>LN_As</i> | 471 | 0 | 2.81 | 2.75 | 2.37(a) | 0.61 | 0.37 | 0.47 | 0.68 | 1.44 | 5.25 |
| <i>LN_Bi</i> | 471 | 0 | -0.60 | -0.69 | -0.69 | 0.70 | 0.49 | 0.68 | 1.76 | -2.30 | 3.03 |
| <i>LN_Co</i> | 471 | 0 | 2.80 | 2.79 | 2.56 | 0.30 | 0.09 | 0.49 | 0.89 | 1.89 | 4.12 |
| <i>LN_Cu</i> | 471 | 0 | 4.16 | 4.08 | 3.808(a) | 0.54 | 0.29 | 1.18 | 2.19 | 2.85 | 6.75 |
| <i>LN_Mo</i> | 471 | 0 | 0.92 | 0.92 | .8325(a) | 0.49 | 0.24 | -0.02 | 0.78 | -0.69 | 2.82 |
| <i>LN_Sb</i> | 471 | 0 | 0.42 | 0.41 | -0.36 | 0.63 | 0.39 | 0.19 | -0.17 | -1.20 | 2.40 |
| <i>LN_Zn</i> | 471 | 0 | 4.44 | 4.43 | 4.682(a) | 0.34 | 0.11 | -0.20 | 0.36 | 3.37 | 5.46 |
| <i>LN_Sn</i> | 471 | 0 | 0.90 | 0.88 | 0.83 | 0.26 | 0.07 | 0.67 | 2.21 | 0.18 | 2.10 |
| <i>LN_W</i> | 471 | 0 | 1.29 | 1.22 | 1.06 | 0.54 | 0.29 | 1.07 | 2.04 | 0.10 | 3.96 |
| <i>LN_Cd</i> | 471 | 0 | -1.48 | -1.61 | -1.61 | 0.61 | 0.37 | 0.57 | 0.15 | -2.30 | 0.00 |
| <i>LN_Rb</i> | 471 | 0 | 4.52 | 4.55 | 4.70 | 0.32 | 0.11 | -0.68 | 0.93 | 3.00 | 5.21 |
| <i>LN-Au</i> | 471 | 27 | 1.55 | 1.39 | 1.10 | 0.88 | 0.77 | 1.20 | 3.55 | 0.00 | 5.56 |

جدول ۷-۲- پارامترهای آماری لگاریتم داده‌ها با جایگزینی مقادیر خارج از رده در محدوده کلیبر

| Element | Valid | Missing | Mean | Median | Mode | Std. Dev. | Variance | Skewness | Kurtosis | Minimum | Maximum |
|--------------|-------|---------|-------|--------|-------|-----------|----------|----------|----------|---------|---------|
| <i>LN-Au</i> | 471 | 0 | 5.88 | 4 | 3 | 5.22 | 27.24 | 3.381 | 17.26 | 0 | 47 |
| <i>LN-Ag</i> | 471 | 0 | -1.04 | -0.92 | -0.92 | 0.62 | 0.39 | -1.20 | 2.50 | -3.91 | 0.21 |
| <i>LN-As</i> | 471 | 0 | 2.81 | 2.75 | 2.37 | 0.61 | 0.37 | 0.47 | 0.68 | 1.44 | 5.25 |
| <i>LN-Bi</i> | 471 | 0 | -0.61 | -0.69 | -0.69 | 0.68 | 0.47 | 0.48 | 0.63 | -2.30 | 1.67 |
| <i>LN-Cd</i> | 471 | 0 | -1.48 | -1.81 | -2 | 0.61 | 0.37 | 0.588 | 0.153 | -2 | 0.00 |
| <i>LN-Co</i> | 471 | 0 | 2.80 | 2.78 | 2.56 | 0.30 | 0.09 | 0.48 | 0.88 | 1.88 | 4.12 |
| <i>LN-Cr</i> | 471 | 0 | 3.72 | 3.74 | 3.37 | 0.41 | 0.17 | 0.04 | 0.42 | 2.30 | 5.05 |
| <i>LN-Cu</i> | 471 | 0 | 4.14 | 4.08 | 3.81 | 0.49 | 0.24 | 0.93 | 1.04 | 3.21 | 5.74 |
| <i>LN-Hg</i> | 471 | 0 | -1.75 | -2.00 | 0.00 | 0.89 | 0.79 | 0.80 | -0.49 | -3.00 | 0.00 |
| <i>LN-La</i> | 471 | 0 | 4.21 | 4.22 | 4.08 | 0.31 | 0.09 | -0.43 | 0.57 | 3.09 | 4.96 |
| <i>LN-Mo</i> | 471 | 0 | 0.92 | 0.92 | 0.83 | 0.49 | 0.24 | -0.02 | 0.78 | -0.69 | 2.82 |
| <i>LN-Ni</i> | 471 | 0 | 3.30 | 3.33 | 3.30 | 0.37 | 0.14 | -0.30 | -0.11 | 2.20 | 4.39 |
| <i>LN-Pb</i> | 471 | 0 | 3.32 | 3.26 | 3.21 | 0.38 | 0.14 | 0.62 | 0.74 | 2.34 | 4.65 |
| <i>LN-Rb</i> | 471 | 0 | 4.52 | 4.55 | 4.70 | 0.32 | 0.11 | -0.88 | 0.93 | 3.00 | 5.21 |
| <i>LN-Sb</i> | 471 | 0 | 0.42 | 0.41 | -0.36 | 0.63 | 0.39 | 0.19 | -0.17 | -1.20 | 2.40 |
| <i>LN-Sc</i> | 471 | 0 | 2.33 | 2.40 | 2.48 | 0.32 | 0.10 | -0.11 | -0.38 | 1.61 | 3.22 |
| <i>LN-Sn</i> | 471 | 0 | 0.88 | 0.88 | 0.83 | 0.24 | 0.08 | 0.20 | 0.72 | 0.18 | 1.63 |
| <i>LN-V</i> | 471 | 0 | 5.24 | 5.13 | 5.00 | 0.44 | 0.20 | 1.11 | 1.56 | 4.30 | 6.90 |
| <i>LN-W</i> | 471 | 0 | 1.27 | 1.22 | 1.08 | 0.50 | 0.25 | 0.70 | 0.53 | 0.10 | 3.03 |
| <i>LN-Zn</i> | 471 | 0 | 4.44 | 4.43 | 4.68 | 0.34 | 0.11 | -0.20 | 0.36 | 3.37 | 5.46 |
| <i>LN-Zr</i> | 471 | 0 | 4.12 | 4.17 | 4.11 | 0.54 | 0.29 | -0.45 | 0.69 | 2.30 | 6.00 |
| <i>LN-Ba</i> | 471 | 0 | 6.32 | 6.31 | 6.51 | 0.25 | 0.06 | -0.09 | -0.10 | 5.53 | 7.00 |

۱۲-۲- بررسی آماری چند متغیره

تکنیک‌های آماری چند متغیره بطور همزمان اندازه‌گیری‌های متعددی را در هر مشاهده مورد تجزیه و تحلیل قرار میدهند و به معنی گستردۀ آن دربرگیرنده بسیاری از روش‌های استنباط آماری معمول است. هر تجزیه و تحلیل همزمان بیش از دو متغیر می‌تواند آنالیز چند متغیره تلقی شود.

تجزیه عاملی (Factor Analysis) یکی از مهمترین روش‌های آمار چند متغیره است که از میان یک سری از متغیرها، متغیرهای کنترل کننده اصلی را شناسایی می‌کند و از طرف دیگر آنالیز ممیز (Discriminate Analysis) که گروه‌ها را بر مبنای یک سری متغیرها از هم‌دیگر تفکیک می‌نماید. هر گروه معینی از عناصر نسبت به یک سری از شرایط محیطی، کم و بیش و بطور مشابه حساسیت نشان میدهد. شناخت ارتباط و همبستگی ژنتیکی متقابل موجود میان عناصر گوناگون می‌تواند در شناخت دقیق‌تر تغییرات موجود در محیط‌های ژئوشیمیایی بکار گرفته شود.

در ضمن تجمع ژنتیکی بعضی از عناصر ممکن است به عنوان راهنمای مستقیمی در تفسیر نوع نهشته‌ای که با احتمال در ناحیه وجود دارد بکار رود و بر عکس تجمع بعضی از عناصر نیز ممکن است دلالت بر وجود آنومالی‌هایی داشته باشد که بسیار اهمیت و گمراه کننده‌اند. روی هم‌رفته شناخت بستگی‌های ژنتیکی که در میان عناصر وجود دارد اطلاعات لازم را در راستای تفسیر هر چه صحیح‌تر داده‌های ژئوشیمیایی در اختیار می‌گذارد. در این میان آمار چند متغیره می‌تواند پاسخگوی مسائل بالا باشد. تجربه نشان داده است که اگر ترکیبی از مقادیر یک

گروه از عناصر معرف به جای مقدار یک عنصر خاصی بکار گرفته شود. هاله‌های ژئوشیمیایی در پیرامون توده‌های کانساری بهتر مشخص می‌شوند. افزون بر این اثرات خطاهای تصادفی در آنها به حداقل میرسد. بطور کلی دو ویژگی عمدۀ در بررسی‌های آماری چند متغیره وجود دارد.

۱- هاله‌هایی که از روش‌های آماری چند متغیره و بر اساس ارتباط میان عناصر بدست می‌آید رابطه نزدیکتری را با ویژگی‌های ساختمنی، زمین‌شناسی و ماهیت ژنتیکی نهشته‌های کانساری نشان میدهند.

۲- هاله‌های مرکب می‌توان خطاهای تصادفی، تعداد داده‌ها و تعداد نقشه‌ها را کاهش داده و به نتایج کارآمدتری منتج شود. در این بخش برای بیان ارتباط ژنتیکی میان عناصر از تجزیه و تحلیل خوشه‌ای و تجزیه عاملی استفاده شده است.

۱۲-۱-۱- تجزیه و تحلیل خوشه‌ای داده‌ها (Cluster Analysis)

در تجزیه و تحلیل و تفسیر نمودار خوشه‌ای داده‌ها گروه و یا زیرگروه متعلق به یک تیپ کانی‌سازی یا یک گروه سنگی با توجه به همبودهای ژئوشیمیایی عناصر قابل تفکیک است که میتواند متأثر از عوامل زمین‌شناسی و سنگ‌شناسی خاص است. بنابراین هرگروه یا زیرگروه را بایستی با همدیگر تعییر و تفسیر نمود. البته در مواردی ممکن است به خاطر خطای آنالیز نمونه‌ها، روش انتخابی آنالیز خوشه‌ای و عوامل دیگر، ساختار درختی هیچگونه رابطه خاصی را بین عناصر نشان ندهد. در ساختار درختی داده‌ها، سه گروه اصلی A، B و C مشاهده می‌شود (نمودار ۵-۲).



گروه A شامل زیرگروههای مختلفی است به طوری که:

عناصر Cr و Ni با ارتباط خیلی خوب و با کادمیم با ارتباط نسبتاً کمتر در این زیرگروه قرار گرفته‌اند که میتواند متاثر از لیتولوژی (واحد های مافیک) منطقه باشد.

عناصر Zr, Pb, Zn, Ag, As و با ارتباط خوبی نسبت به هم در یکی دیگر از زیرگروهها قرار گرفته‌اند که عناصر شاخص کانسارهای پلی متال و تیپ رگه‌ای بوده و بسیار با اهمیت تلقی میشود.

عناصر Sb و Rb با ارتباط نسبتاً خوبی با هم در یکی دیگر از زیرگروه ها قرار گرفته‌اند که می‌تواند نشاندهنده عناصر کانسارهای تیپ رگه‌ای باشد و با اهمیت تلقی شود.

عنصر Hg در یکی دیگر از این زیرگروه ها قرار گرفته که با توجه به عدم ارتباط با دیگر عناصر تقریباً بی معنی تلقی میشود.

گروه B شامل زیرگروههای ذیل میباشد:

عناصر Mo, Sn, La و W با ارتباط نسبتاً خوبی با هم در این زیر گروه قرار گرفته‌اند که نشاندهنده احتمالی کانی‌زایی این عناصر در کانسارهای مرتبط با واحدهای گرانیتوئیدی باشد.

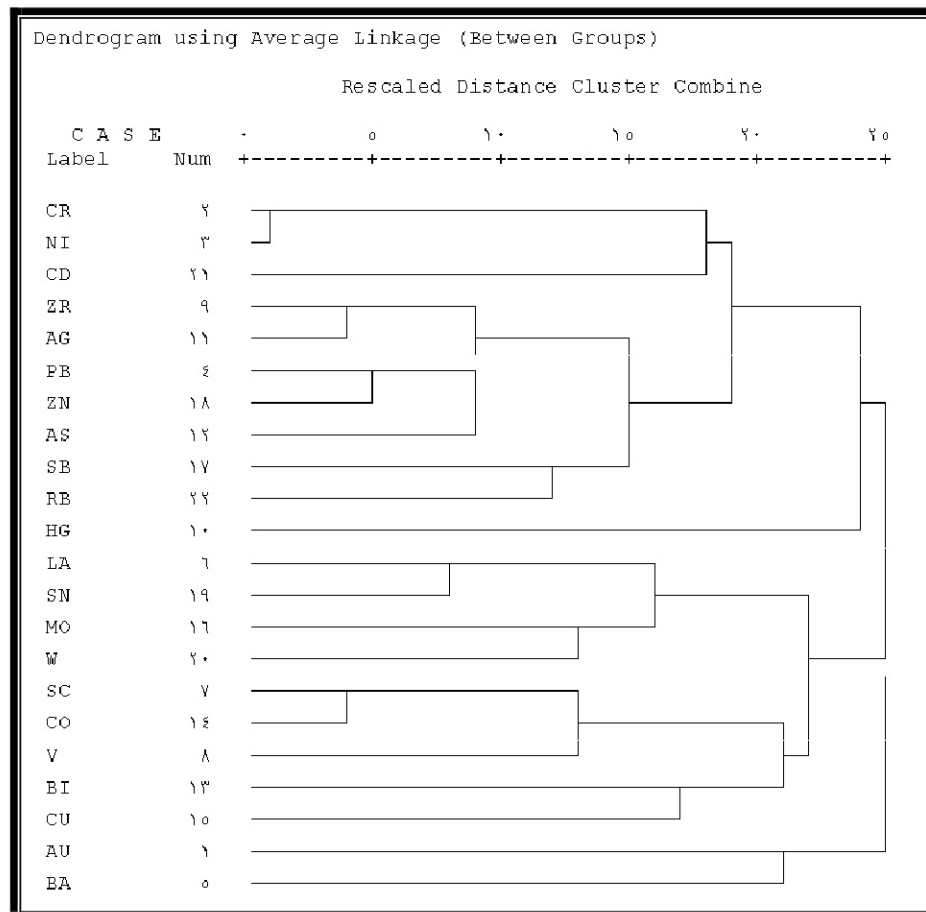
عناصر Co, V, SC غالباً در سنگهای مافیک تا اولترامافیک مرکز می‌یابند و فاقد هرگونه ارزش اکتشافی هستند.

عناصر Cu و Bi با ارتباط نسبتاً خوبی با هم در یکی دیگر از زیرگروهها قرار گرفته‌اند که می‌تواند نشاندهنده عناصر کانسارهای تیپ رگه‌ای باشد و با اهمیت تلقی شود.

گروه C شامل عناصر Ba و Au با ارتباط ضعیفی با هم در این گروه قرار گرفته‌اند که نشاندهنده احتمال کانی‌زایی این عناصر در کانسارهای رگه‌ای است.

مس، آنتیموان، نقره، طلا و آرسنیک، بصورت هاله‌های ژئوشیمیایی در بسیاری از کانسارها بویژه

کانسارهای تیپ پلی‌متال با خاستگاه اپی‌ترمال با دمای حرارت متوسط تا پایین یافت می‌شود. پیکره‌های نفوذی گرانودیبوریتی یا داسیتی می‌تواند باعث ایجاد رگه‌هایی با ترکیب عناصر فوق شده باشند. ترکیب عناصر گروه A در زیرگروهی که شامل Ag, Pb, Zn, Zr و As می‌باشد، احتمال کانسارهای پلی‌متال و تیپ رگه‌ای را در ناحیه اکتشافی بازگو مینماید. با توجه به اثرات و نشان‌های برجای کانی‌زایی در محدوده اکتشافی کلیر، تجزیه و تحلیل آنالیز خوش‌های داده‌ها بنظر بسیار پیچیده و با اهمیت می‌باشد.



نمودار ۵-۲- نمودار درختی داده‌های محدوده کلیر

۲-۱۲-۲- تجزیه عاملی (Factor Analysis)

تجزیه عاملی تکنیکی آماری است که بین مجموعه‌ای فراوان از متغیرهایی که به ظاهر بی‌ارتباط هستند، رابطه خاصی را تحت یک مدل فرضی برقرار می‌کند. بنابراین یکی از اهداف اصلی تکنیک تجزیه عاملی، کاهش ابعاد داده‌هاست. فرض اساسی در بکارگیری این روش، وجود الگوی زیربنایی یا مدلی خاص در تعیین مفاهیم پیچیده ارتباطی بین متغیرها است. این ارتباط در قالب یک عامل در این مدل فرضی ظاهر می‌شود.

در این مرحله از داده‌پردازی پس از نرم‌السازی داده‌ها، فایل داده‌ها به نرم‌افزار SPSS منتقل و تکنیک تجزیه عاملی بر روی داده‌های نرم‌الاجرا و نتایج آن در ذیل آورده شده است:

الف- برای مشخص نمودن صحت و تایید تجزیه عاملی، ضریب Kmo همراه با آزمون مربع کای (خی) محاسبه گردیده است. مقادیر بزرگ Kmo دلالت بر تایید تجزیه عاملی و مقادیر کوچک آن دلالت بر عدم تایید تجزیه عاملی دارد. مقادیر حدود ۰/۹ این کمیت تجزیه عاملی را بسیار مناسب، مقادیر حدود ۰/۸ تجزیه عاملی را مناسب، مقادیر حدود ۰/۷ تجزیه عاملی را در حد مناسب، مقادیر حدود ۰/۶ تجزیه عاملی را حد متوسط و مقادیر حدود ۰/۵ و پایین‌تر از آن تجزیه عاملی را نامناسب جلوه می‌دهد. تمامی این مقادیر در صورتیکه آزمون مربع کای (خی) در سطح اعتماد ۹۵ درصد معتبر باشد، صحیح تلقی می‌گردد. با توجه به جدول ۲-۸ مقادیر محاسبه شده، مقدار Kmo برابر ۰/۶۱۸ می‌باشد که تجزیه عاملی را در رده مناسب قرار می‌دهد.



جدول ۸-۲- محاسبه ضرایب Kmo در محدوده کلیر

| KMO and Bartlett's Test | | |
|--|--------------------|----------|
| Kaiser-Meyer-Olkin Measure of Sampling Adequacy. | | 0.618 |
| Bartlett's Test of Sphericity | Approx. Chi-Square | 5528.896 |
| | df | 231 |
| | Sig. | 0 |

ب) مقادیر ویژه ، درصد واریانس و درصد تجمعی واریانس هر مولفه بطور جداگانه محاسبه و باعث شده است که هفت مولفه انتخاب شود که انتخاب مولفه‌ها به دو پارامتر بستگی دارد:

پارامتر اول: بررسی‌های انجام شده در زمینه اکتشافات ژئوشیمیایی این نتیجه حاصل شده است که درصد تجمعی واریانس بالای ۷۵ درصد از یک جامعه ژئوشیمیایی می‌تواند معرف تقریبی جامعه باشد ، حال با در نظر گرفتن هفت مولفه به تقریب $\frac{71}{37}$ درصد واریانس تجمعی جامعه پوشش داده می‌شود که برای تجزیه و تحلیل مولفه‌ها تا حدودی مناسب به نظر می‌رسد.

پارامتر دوم: در بررسی‌های آماری از نمودار صخره‌ای(Scree plot) استفاده می‌شود که مقادیر ویژه بالای دومین شکست معابر(مقادیر ویژه بالای یک) برای انتخاب مولفه‌ها مورد استفاده قرار می‌گیرد(نمودار ۶-۲)، حال با توجه به جدول ۹-۲ مقادیر ویژه خام مولفه اول $\frac{4}{21}$ ، مولفه دوم $\frac{2}{89}$ ، مولفه سوم $\frac{2}{58}$ ، مولفه چهارم $\frac{1}{92}$ ، مولفه پنجم $\frac{1}{78}$ ، مولفه ششم $\frac{1}{2}$ است و مولفه هفتم $\frac{1}{11}$ است از طرفی مقادیر ویژه چرخش یافته مولفه اول $\frac{3}{82}$ ، مولفه دوم $\frac{2}{4}$ ، مولفه سوم $\frac{2}{39}$ ، مولفه چهارم $\frac{2}{23}$ ، مولفه پنجم $\frac{1}{98}$ ، مولفه ششم $\frac{1}{64}$ و مولفه هفتم $\frac{1}{24}$ است که با توجه به موارد فوق انتخاب هفت مولفه، تا حدودی منطقی به نظر می‌رسد.

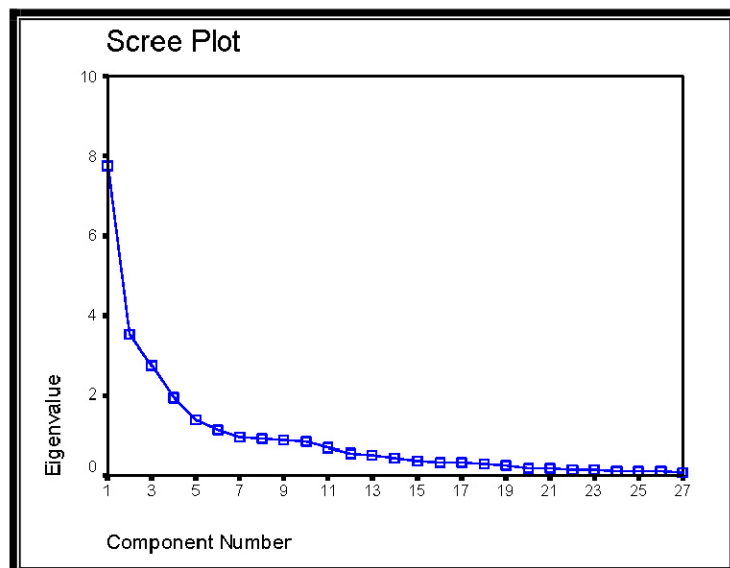


ج) پس از اینکه مولفه‌ها انتخاب شدند باید در نظر داشت که مولفه‌های خام (غیرچرخشی) نمی‌توانند تمامی تغییرپذیری واقعی جامعه را نشان دهد چون در بسیاری از موارد تعدادی از متغیرها به یک عامل ویژه یا حتی به تعدادی از عاملها بستگی دارند و این تعبیر عوامل را با مشکل روبرو خواهد کرد. از این رو روش‌هایی بوجود آمده است که بدون تغییر میزان اشتراک، باعث تعبیر ساده عوامل می‌شوند، این روش‌ها همان دوران عاملها هستند، بنابراین مولفه‌های خام بایستی تحت تابع مشخص چرخش داده شوند تا بهترین واریانس جامعه عمومی بدست آید. در بررسیهای ژئوشیمیایی بیشتر از تابع وریمکس استفاده می‌شود. با انتخاب تابع وریمکس، دورانی متعامد بر روی ضرایب عاملها صورت می‌گیرد. با این دوران تغییرات مربعات عناصر ستونی، برآورد ضرایب عاملها را به حداقل می‌رساند، این روش مقادیر نسبتاً بزرگ (از نظر قدر مطلق) یا صفر به ستون‌های ماتریس ضرایب عاملها اختصاص میدهد، در نتیجه عواملی ایجاد می‌شود که یا شدیداً با متغیرها وابسته‌اند و یا مستقل از آنها هستند. این امر سبب ساده‌تر شدن تعبیر عاملها خواهد شد. مولفه‌های چرخش یافته جدیدی که بدین ترتیب بدست می‌آیند (جدول ۲)، مولفه‌های اصلی برای محاسبه امتیازات (Score) هستند (جدول ۱۱-۲) که با توجه به این ضرائب به تقریب روابط بین فاکتورها و عناصر را می‌توان محاسبه نمود.

جدول ۹-۲- واریانس کل و ضرایب تجمعی مولفه‌ها در محدوده کلیر

| Component | Initial Eigenvalues | | | Extraction Sums of Squared Loadings | | | Rotation Sums of Squared Loadings | | |
|-----------|---------------------|---------------|--------------|-------------------------------------|---------------|--------------|-----------------------------------|---------------|--------------|
| | Total | % of Variance | Cumulative % | Total | % of Variance | Cumulative % | Total | % of Variance | Cumulative % |
| 1 | 4.21 | 19.16 | 19.16 | 4.21 | 19.16 | 19.16 | 3.82 | 17.37 | 17.37 |
| 2 | 2.89 | 13.12 | 32.27 | 2.89 | 13.12 | 32.27 | 2.40 | 10.91 | 28.28 |
| 3 | 2.58 | 11.73 | 44.00 | 2.58 | 11.73 | 44.00 | 2.39 | 10.88 | 39.16 |
| 4 | 1.92 | 8.74 | 52.74 | 1.92 | 8.74 | 52.74 | 2.23 | 10.13 | 49.29 |
| 5 | 1.78 | 8.11 | 60.85 | 1.78 | 8.11 | 60.85 | 1.98 | 8.98 | 58.26 |
| 6 | 1.20 | 5.45 | 66.30 | 1.20 | 5.45 | 66.30 | 1.64 | 7.48 | 65.74 |
| 7 | 1.11 | 5.06 | 71.37 | 1.11 | 5.06 | 71.37 | 1.24 | 5.63 | 71.37 |
| 8 | 0.98 | 4.47 | 75.84 | | | | | | |
| 9 | 0.82 | 3.72 | 79.56 | | | | | | |
| 10 | 0.76 | 3.46 | 83.02 | | | | | | |
| 11 | 0.67 | 3.03 | 86.05 | | | | | | |
| 12 | 0.49 | 2.22 | 88.28 | | | | | | |
| 13 | 0.48 | 2.19 | 90.47 | | | | | | |
| 14 | 0.46 | 2.08 | 92.55 | | | | | | |
| 15 | 0.39 | 1.77 | 94.31 | | | | | | |
| 16 | 0.32 | 1.45 | 95.76 | | | | | | |
| 17 | 0.25 | 1.14 | 96.90 | | | | | | |
| 18 | 0.21 | 0.94 | 97.84 | | | | | | |
| 19 | 0.18 | 0.81 | 98.66 | | | | | | |
| 20 | 0.13 | 0.60 | 99.26 | | | | | | |
| 21 | 0.09 | 0.42 | 99.68 | | | | | | |
| 22 | 0.07 | 0.32 | 100.00 | | | | | | |

. Principal Component Analysis.



نمودار ۶- نمودار صخره‌ای برای تعیین بهینه تعداد عامل‌ها



جدول ۱۰-۲- ماتریس مولفه‌ها در حالت چرخش یافته و چرخش نیافته در محدوده کلیر

| Component Matrix(a) | | | | | | | | Rotated Component Matrix(a) | | | | | | | |
|---------------------|-----------|-------|-------|-------|-------|-------|-------|-----------------------------|-------------|-------------|-------------|-------------|-------------|-------------|-------------|
| | Component | | | | | | | | Component | | | | | | |
| | 1 | 2 | 3 | 4 | 5 | 6 | 7 | | 1 | 2 | 3 | 4 | 5 | 6 | 7 |
| <i>Au</i> | -0.16 | -0.14 | -0.15 | -0.19 | 0.22 | -0.22 | 0.30 | <i>Au</i> | -0.21 | 0.11 | 0.02 | -0.16 | 0.17 | -0.04 | -0.43 |
| <i>Cr</i> | 0.38 | 0.11 | -0.56 | 0.57 | 0.06 | -0.03 | 0.24 | <i>Cr</i> | 0.09 | 0.20 | 0.89 | 0.08 | -0.06 | 0.07 | -0.01 |
| <i>Ni</i> | 0.61 | -0.10 | -0.52 | 0.39 | 0.07 | 0.02 | 0.30 | <i>Ni</i> | 0.32 | 0.11 | 0.86 | -0.07 | 0.17 | 0.04 | -0.05 |
| <i>Pb</i> | 0.72 | -0.31 | 0.42 | -0.01 | 0.12 | -0.06 | -0.13 | <i>Pb</i> | 0.66 | -0.32 | -0.04 | 0.03 | 0.36 | 0.39 | 0.02 |
| <i>Ba</i> | 0.05 | -0.09 | 0.10 | -0.70 | 0.40 | 0.13 | 0.23 | <i>Ba</i> | 0.11 | 0.34 | -0.43 | -0.31 | 0.52 | -0.05 | -0.24 |
| <i>La</i> | -0.13 | 0.50 | 0.68 | -0.23 | 0.06 | 0.02 | 0.14 | <i>La</i> | 0.15 | 0.26 | -0.65 | 0.54 | -0.02 | -0.05 | -0.08 |
| <i>Sc</i> | 0.14 | 0.59 | -0.45 | -0.20 | 0.39 | 0.16 | 0.20 | <i>Sc</i> | 0.06 | 0.88 | 0.17 | -0.11 | -0.01 | -0.01 | -0.02 |
| <i>V</i> | -0.04 | 0.80 | 0.13 | -0.04 | -0.29 | -0.02 | -0.14 | <i>V</i> | 0.20 | 0.37 | -0.25 | 0.31 | -0.62 | -0.14 | 0.15 |
| <i>Zr</i> | 0.76 | 0.20 | 0.11 | -0.20 | -0.33 | 0.03 | -0.02 | <i>Zr</i> | 0.86 | 0.02 | 0.03 | -0.04 | -0.09 | -0.10 | 0.08 |
| <i>Hg</i> | 0.03 | 0.04 | -0.06 | 0.16 | 0.05 | 0.76 | -0.46 | <i>Hg</i> | -0.06 | 0.09 | 0.01 | -0.06 | 0.13 | 0.05 | 0.89 |
| <i>Ag</i> | 0.66 | 0.15 | 0.16 | -0.17 | -0.20 | -0.01 | 0.10 | <i>Ag</i> | 0.74 | 0.04 | 0.02 | 0.04 | 0.02 | -0.07 | -0.03 |
| <i>As</i> | 0.80 | 0.03 | -0.08 | -0.07 | -0.03 | -0.01 | -0.07 | <i>As</i> | 0.72 | 0.06 | 0.25 | -0.17 | 0.07 | 0.16 | 0.06 |
| <i>Bi</i> | 0.18 | 0.12 | 0.16 | 0.24 | 0.50 | -0.33 | -0.34 | <i>Bi</i> | 0.05 | 0.08 | 0.00 | 0.14 | -0.06 | 0.76 | -0.06 |
| <i>Co</i> | 0.11 | 0.83 | -0.35 | -0.07 | 0.18 | -0.07 | -0.04 | <i>Co</i> | 0.13 | 0.79 | 0.09 | 0.03 | -0.44 | 0.10 | 0.01 |
| <i>Cu</i> | -0.32 | 0.28 | 0.07 | 0.01 | 0.72 | 0.11 | 0.00 | <i>Cu</i> | -0.41 | 0.53 | -0.20 | 0.18 | 0.23 | 0.37 | 0.01 |
| <i>Mo</i> | -0.24 | 0.09 | 0.36 | 0.47 | -0.12 | 0.33 | 0.30 | <i>Mo</i> | -0.21 | -0.11 | 0.06 | 0.67 | 0.13 | -0.25 | 0.21 |
| <i>Sb</i> | 0.61 | -0.33 | 0.24 | -0.04 | 0.18 | -0.20 | 0.00 | <i>Sb</i> | 0.52 | -0.24 | 0.06 | -0.06 | 0.34 | 0.35 | -0.19 |
| <i>Zn</i> | 0.78 | 0.32 | 0.20 | -0.06 | -0.02 | 0.05 | 0.01 | <i>Zn</i> | 0.81 | 0.21 | 0.05 | 0.15 | 0.03 | 0.13 | 0.09 |
| <i>Sn</i> | 0.17 | 0.53 | 0.49 | 0.40 | -0.01 | -0.01 | 0.19 | <i>Sn</i> | 0.26 | 0.15 | -0.02 | 0.79 | -0.13 | 0.09 | 0.03 |
| <i>W</i> | -0.22 | 0.03 | 0.57 | 0.49 | 0.20 | -0.24 | 0.06 | <i>W</i> | -0.22 | -0.24 | -0.11 | 0.68 | 0.02 | 0.34 | -0.14 |
| <i>Cd</i> | 0.32 | -0.07 | -0.08 | 0.19 | 0.42 | -0.02 | -0.40 | <i>Cd</i> | 0.11 | 0.04 | 0.17 | -0.13 | 0.10 | 0.61 | 0.21 |
| <i>Rb</i> | 0.35 | -0.41 | 0.35 | 0.04 | 0.31 | 0.44 | 0.32 | <i>Rb</i> | 0.22 | -0.11 | 0.04 | 0.18 | 0.83 | 0.02 | 0.13 |

Extraction Method: Principal Component Analysis.



جدول ۲-۱۱-۲- امتیاز ویژه ماتریس مولفه‌ها در محدوده کلیربر

| | Component Score | | | | | | |
|-----------|-----------------|-------|-------|-------|-------|-------|-------|
| | 1 | 2 | 3 | 4 | 5 | 6 | 7 |
| Au | -0.06 | 0.08 | 0.04 | -0.03 | 0.11 | -0.04 | -0.34 |
| Cr | -0.03 | 0.08 | 0.41 | 0.12 | 0.01 | -0.02 | -0.07 |
| Ni | 0.03 | 0.07 | 0.38 | 0.07 | 0.11 | -0.07 | -0.09 |
| Pb | 0.16 | -0.13 | -0.07 | 0.00 | 0.09 | 0.18 | 0.02 |
| Ba | 0.04 | 0.23 | -0.20 | -0.13 | 0.32 | -0.08 | -0.14 |
| La | 0.08 | 0.11 | -0.24 | 0.21 | 0.05 | -0.06 | -0.07 |
| Sc | -0.01 | 0.40 | 0.07 | -0.03 | 0.12 | -0.05 | -0.02 |
| V | 0.09 | 0.08 | -0.11 | 0.08 | -0.28 | -0.05 | 0.09 |
| Zr | 0.25 | -0.02 | -0.04 | -0.03 | -0.08 | -0.11 | 0.04 |
| Hg | -0.05 | 0.05 | -0.05 | -0.08 | 0.11 | 0.03 | 0.74 |
| Ag | 0.21 | 0.01 | -0.03 | 0.02 | 0.00 | -0.10 | -0.05 |
| As | 0.18 | 0.01 | 0.04 | -0.07 | -0.01 | 0.05 | 0.03 |
| Bi | -0.03 | -0.01 | -0.04 | 0.01 | -0.12 | 0.50 | -0.05 |
| Co | 0.02 | 0.29 | 0.02 | -0.01 | -0.16 | 0.08 | -0.02 |
| Cu | -0.15 | 0.27 | -0.06 | 0.07 | 0.19 | 0.22 | 0.03 |
| Mo | -0.06 | -0.01 | 0.11 | 0.35 | 0.17 | -0.22 | 0.13 |
| Sb | 0.12 | -0.09 | -0.01 | -0.02 | 0.09 | 0.17 | -0.15 |
| Zn | 0.21 | 0.07 | -0.02 | 0.06 | 0.01 | 0.01 | 0.04 |
| Sn | 0.06 | 0.05 | 0.05 | 0.37 | -0.01 | -0.01 | -0.04 |
| W | -0.07 | -0.11 | 0.02 | 0.30 | -0.01 | 0.20 | -0.14 |
| Cd | -0.03 | 0.00 | 0.01 | -0.10 | -0.02 | 0.40 | 0.18 |
| Rb | 0.02 | 0.07 | 0.04 | 0.15 | 0.49 | -0.13 | 0.11 |

Extraction Method: Principal Component Analysis.
Rotation Method: Varimax with Kaiser Normalization.
Component Scores.

با استفاده از جدول عاملی مقادیر چرخش یافته، مقدار ضریب چرخش یافته $+0/5$ اساس

انتخاب هر متغیر در هر عامل است. لازم به ذکر است که اعداد مثبت رابطه معکوس با اعداد منفی

خواهند داشت. با توجه به مطالب فوق، شش عامل برگزیده شامل عناصر ذیل است(جدول ۲-۱۰).

عامل شماره یک: این عامل شامل متغیرهایی Zn,Sb,Zr,Ag,As,Sn,Pb میباشد که با توجه به

متغیرهای بدست آمده ارتباط این عناصر کاملاً معنی دار میباشند.

عامل شماره دو: این عامل شامل روابط مثبت بین عناصر V,Cu,SC,Co میباشد.

عامل شماره سه: این عامل شامل روابطی مثبت از عناصر Cr,Ni میباشد.



عامل شماره چهار: این عامل شامل عناصر Mo, La, W می باشد.

عامل شماره پنج: این عامل شامل عنصر Sb, Ba, Au, Rb است.

عامل شماره شش: این عامل شامل عناصر As, Sb, Cd است.

عامل شماره هفت: این عامل شامل عناصر Hg است.

توسط این هفت عامل به عنوان کترول کننده‌های اصلی تا حدودی می‌توان فرایندهای زمین‌شناسی و سنگ‌شناسی و تیپ‌های احتمالی کانی‌سازی در منطقه را شناسایی کرد. این کار با رسم نقشه‌های فاکتوری (نقشه‌های ۱۹ الی ۲۵) و مقایسه آنها با نقشه‌های زمین‌شناسی و نقشه‌های تک عنصری و استفاده از مشاهدات صحرایی انجام‌پذیر است. البته در اینجا با انتخاب تعداد کمتری از متغیرها، با هدف معرفی ناهنجاری‌های احتمالی مرکب از عناصر، تحلیل عملی انجام شده است. که در این حالت با ظاهر شدن تعداد کمتری از عناصر در عامل‌ها و احتمالاً کاهش تعداد عامل‌ها، تعبیر و تفسیر راحت‌تر خواهد بود.

۱۳-۲- تکنیک رسم نقشه‌ها

در زمینه اکتشافات ژئوشیمیایی، اهمیت تغییرات فضایی داده‌ها در راستای تشخیص الگوهای غیرمعمول که ممکن است در ارتباط با پتانسیل‌های کانی‌سازی باشند، برکسی پوشیده نیست. توزیع فضایی مقادیر غلظت عناصر بصورت نقشه توصیف می‌شود که طبیعت و مقیاس این نقشه به هدف مورد نظر بستگی دارد. نقشه‌های ژئوشیمیایی را می‌توان به دو گروه تقسیم کرد:



۱- نقشه‌هایی که غلظت عناصر را در محل نمونه‌های شناسان میدهند (نقشه‌های نمادین

یا .(Symbol map

۲- نقشه‌هایی که تأکید بر الگوی توزیع عناصر در مقیاس ناحیه‌ای و محلی دارند

(نقشه‌های کنتوری و طیفی).

تکنیک رسم نقشه‌های نوع دوم بطور مرسوم و گستردۀ در بسیاری از نرم‌افزارهای

کامپیوتري مورد استفاده قرار میگيرد. در محدوده اکتشافی کلیر ۱۸ نقشه تک متغیره و ۷ نقشه

فاکتوری رسم شده است.

۲-۱۴- شرح نقشه ناهنجاریهای ژئوشیمیایی

در توضیح نقشه ناهنجاریها تلاش شده است تا شرح نسبتاً مختصر و کاملی از عیار هر عنصر،

نشانی دقیق ناهنجاریها، شماره و موقعیت نمونه‌های ناهنجار ، شدت و درجه نسبی ناهنجاریها و انطباق

ناهنجاریهای ژئوشیمیایی بر ناهنجاری دیگر عناصر ارائه گردد.

در بررسی صحت و درستی نواحی ناهنجار، برای هر عنصر (یا مجموعه‌ای از عناصر) مرحله

کنترل ناهنجاریها نقش انکارناظری را ایفا می‌کند. در این مرحله از عملیات صحرایی، مشاهدات

اکتشافگران در همسویی با پدیده‌های زمین‌شناسی، زمین‌ساختی، کانه‌زائی، دگرسانی و... در تعییر و

تفسیر نواحی ناهنجار، روشنگر بسیاری از رفتارهای غیرعادی ژئوشیمیایی خواهد بود. برداشت نمونه

های کانی سنگین از آبرفت‌های موجود در محدوده ناهنجاریها و نیز برداشت نمونه‌های لیتوژئوشیمیایی از

نواحی دگرسان شده و کانی‌ساز نقش راهگشا در تحلیل نواحی پیشنهادی ایفا می‌کند.



درجه و شدت ناهنجاریها با توجه به تعداد نمونه‌های ناهنجار در محدوده ناهنجاری و

قرارگیری عیار نمونه در دامنه‌های سه‌گانه زیر:

(۱) بزرگتر از $X+3S$ تا مقدار ماکزیمم

(۲) از $X+3S$ تا $X+2S$

(۳) از $X+2S$ تا $X+1S$

بیان شده است (X میانگین و S انحراف معیار داده‌های نرمال شده می‌باشد) بطوری که هر چه

تعداد نمونه‌های ناهنجار در محدوده بیشتر بوده و مقدار عیار این نمونه‌ها در دامنه بالاتر قرار گرفته باشد

شدت ناهنجاری با درجات ۱ یا ۲ گزارش شده است، شرح ناهنجاری ژئوشیمیایی عناصر با اهمیت با

توجه به نقشه‌های مربوطه به ترتیب زیر می‌باشد، لازم به ذکر در تعدادی از جداول منحصراً نمونه‌های

ناهنجار درجه ۱ ارائه شده است در ضمن ضرایب همبستگی که در سطح اعتماد زیر ۹۹ درصد محاسبه

شده است با رنگ قرمز مشخص شده است (برای دستیابی به شرح واحدها به بخش زمین‌شناسی

مراجعه شود).

۱۴-۲-توصیف ناهنجارهای عنصر نفره

این عنصر دارای مقدار میانگین ۴۴٪، بیشترین و کمترین مقدار آن به ترتیب ۴۱٪ و ۰٪ پی‌ام

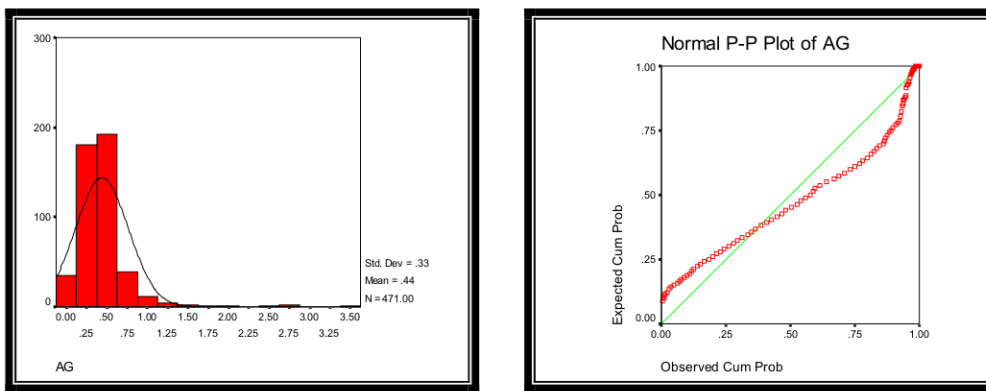
، چولگی و کشیدگی ۱/۴ و ۳۱/۲۷، انحراف استاندارد و واریانس آن به ترتیب ۱/۱۰ و ۳۳/۳۷ می‌باشد(جدول

۱۲-۲) که موید غیرنرمال بودن توزیع داده‌های خام این عنصر است (نمودار ۷-۲)، خطای محاسبه شده برای

این عنصر برابر با ۱۷/۵۸ می‌باشد که بسیار بالا بوده و کمتر می‌توان به آن استناد نمود.

جدول ۱۲-۲- پارامترهای آماری داده های خام عنصر نقره در محدوده مطالعاتی کلیر

| ۸۷ | <i>N</i> | | <i>Mean</i> | <i>Median</i> | <i>Mode</i> | <i>Std. Deviation</i> | <i>Variance</i> | <i>Skewness</i> | <i>Kurtosis</i> | <i>Minimum</i> | <i>Maximum</i> |
|----|--------------|----------------|-------------|---------------|-------------|-----------------------|-----------------|-----------------|-----------------|----------------|----------------|
| | <i>Valid</i> | <i>Missing</i> | 0.439 | 0.4 | 0.4 | 0.3258 | 0.1061 | 4.109 | 27.318 | 0 | 3.41 |



نمودار ۷-۲- هیستوگرام و منحنی تابع توزیع احتمالی داده های خام عنصر نقره

ضریب همبستگی نقره به استثناء کروم، باریم، اسکاندیم، بیسموت، کبالت و تنگستن با سایر عناصر

و در سطح اعتماد قابل قبول ۹۹ درصد دارای همبستگی مناسب میباشد به طوری که ضریب همبستگی این

عنصر با طلا، مس، مولیبدن و جیوه منفی و با سایر عناصر این ضریب مثبت میباشد که بیشترین ضریب

همبستگی این عنصر با عناصر زیرکونیم، آرسنیک و روی میباشد (جدول ۱۳-۲).

جدول ۱۳-۲- ضرایب همبستگی داده های خام عنصر نقره در محدوده مطالعاتی کلیر

| ۸۸ | <i>AU</i> | <i>CR</i> | <i>NI</i> | <i>PB</i> | <i>BA</i> | <i>BE</i> | <i>LA</i> | <i>SC</i> | <i>LI</i> | <i>ZR</i> | <i>HG</i> |
|----|---------------|-----------|-----------|---------------|--------------|-----------|-----------|-----------|-----------|-----------|---------------|
| | - .135(**) | 0.08 | .239(**) | .457(**) | .093(*) | .294(**) | .125(**) | -0.03 | .285(**) | .716(**) | - .123(**) |
| | <i>AS</i> | <i>BI</i> | <i>CO</i> | <i>CU</i> | <i>MO</i> | <i>SB</i> | <i>ZN</i> | <i>SN</i> | <i>W</i> | <i>CD</i> | <i>RB</i> |
| | .503(**) | 0.07 | 0.002 | - .199(**) | - .096(*) | .347(**) | .508(**) | .196(**) | 0.022 | .265(**) | .123(**) |

در جدول ۱۴-۲، نمونه‌ها بر مبنای بالاترین مقدار مقادیر پایین مرتب شده‌اند، با نگرشی بر جدول مربوط به نمونه‌های ناهنجار و همچنین نقشه ناهنجاری‌های ژئوشیمیایی (نقشه ۱) عنصر نقره معلوم می‌شود که ۴ محدوده ناهنجار درجه یک را میتوان برای این عنصر متصور شد که با هیچ عنصری دیگر همراهی نمی‌شود.

جدول ۱۴-۲- توصیف ناهنجارهای عنصر نقره در محدوده مورد مطالعه کلیر

| ردیف | نام عنصر | واحد سنجی | مساحت پیشنهادی (km ²) | ارتفاع (m) | ایستگاه نمونه برداری | | نوع شماره | نام ناهنجاری |
|------|----------------------------|-----------|-----------------------------------|------------|----------------------|----------|-----------|--------------|
| | | | | | Y | X | | |
| - | E_{an} | /۲۵ | 3.41 | 685054 | 4265460 | K.86.210 | ۱ | |
| - | O_{mg} | /۳ | 2.7 | 685048 | 4270980 | K.86.237 | ۱ | |
| - | K_u^{ll}, E_{an}, E_{an} | /۲ | 2.65 | 688695 | 4266330 | K.86.162 | ۱ | |
| - | K_u^{ll}, E_{an}, E_{an} | /۲۵ | 2.44 | 688265 | 4269040 | K.86.176 | ۱ | |

۱۴-۲- توصیف ناهنجارهای عنصر آرسنیک

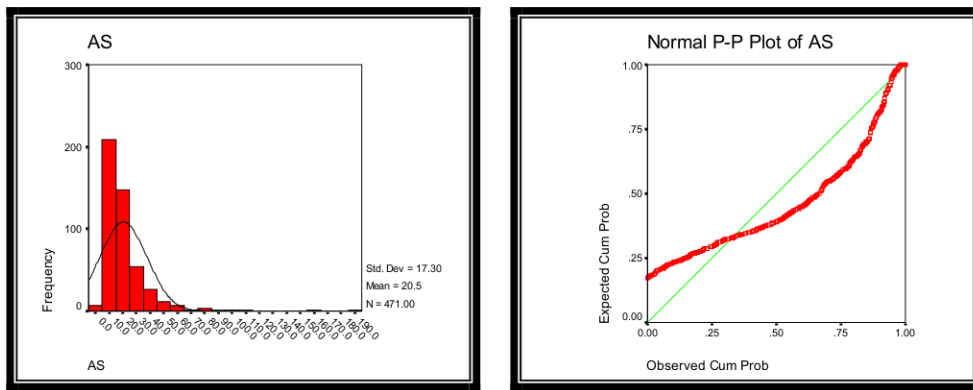
این عنصر دارای مقدار میانگین ۲۰/۴۸، بیشترین و کمترین مقدار آن به ترتیب ۱۹۱ و ۱۷/۳

ppm چولگی و کشیدگی ۴/۳۹۴ و ۳۱/۱۲۶، انحراف استاندارد و واریانس آن به ترتیب ۵/۲۹۹ و ۵/۲۹۸ میباشد (جدول ۱۵-۲) که موید غیرنرم‌مال بودن توزیع داده‌های این عنصر است

(جدول ۱۵-۲) (نمودار ۲-۸)، خطای محاسبه شده برای این عنصر برابر با ۲۲/۴۲ میباشد که تا حدودی میتوان به آن استناد نمود.

جدول ۲-۱۵- پارامترهای آماری داده‌های خام عنصر آرسنیک در محدوده مطالعاتی کلیر

| ش | <i>N</i> | | <i>Mean</i> | <i>Median</i> | <i>Mode</i> | <i>Std. Deviation</i> | <i>Variance</i> | <i>Skewness</i> | <i>Kurtosis</i> | <i>Minimum</i> | <i>Maximum</i> |
|---|--------------|----------------|-------------|---------------|-------------|-----------------------|-----------------|-----------------|-----------------|----------------|----------------|
| | <i>Valid</i> | <i>Missing</i> | | | | | | | | | |
| | 471 | 0 | 20.48 | 15.7 | 11(a) | 17.3 | 299.45 | 4.394 | 31.126 | 4 | 191 |



نمودار ۲-۸- هیستوگرام و منحنی تابع توزیع احتمالی داده های خام عنصر آرسنیک

ضریب همبستگی آرسنیک با عناصر مختلف نشان میدهد که آرسنیک به استثناء طلا، باریم،

اسکاندیم، بریلیم، جیوه، قلع و روپیدیم با دیگر عناصر و در سطح اعتماد قابل قبول ۹۵ درصد دارای

همبستگی مناسب میباشد، ضریب همبستگی این عنصر با لانتانیم و مس منفی و با سایر عناصر این ضریب

مثبت میباشد که بیشترین ضریب این عنصر با زیرکونیم(۰/۵۳۵) و سرب(۰/۵۰۲) است(جدول ۲-۱۶).

جدول ۲-۱۶- ضرایب همبستگی داده‌های خام عنصر آرسنیک در محدوده مطالعاتی کلیر

| ش | <i>Au</i> | <i>Cr</i> | <i>Ni</i> | <i>Pb</i> | <i>Ba</i> | <i>Be</i> | <i>La</i> | <i>Sc</i> | <i>Li</i> | <i>Zr</i> | <i>Hg</i> |
|-----------|-----------|-----------|-----------|-----------|-----------|-----------|-----------|-----------|-----------|-----------|-----------|
| | -.102(*) | .290(**) | .436(**) | .502(**) | 0.081 | 0.064 | -.190(**) | 0.076 | .346(**) | .535(**) | -0.041 |
| <i>Ag</i> | <i>Bi</i> | <i>Co</i> | <i>Cu</i> | <i>Mo</i> | <i>Sb</i> | <i>Zn</i> | <i>Sn</i> | <i>W</i> | <i>Cd</i> | <i>Rb</i> | |
| | .503(**) | .160(**) | .184(**) | -.230(**) | -.135(**) | .518(**) | .518(**) | 0.042 | -.215(**) | .446(**) | .116(*) |

جدول ۲-۱۷- توصیف ناهنجارهای عنصر آرسنیک در محدوده مورد مطالعه کلیر

| نموده کننده نمونه | نام نمونه | (mpa) از | ایستگاه نمونه برداری | | شماره نمونه | شماره ناهنجاری |
|-------------------|---------------------------------|----------|----------------------|---------|-------------|----------------|
| | | | Y | X | | |
| - | $K_u^{ml} \cdot Omg$ E_p^l | 191 | 691125 | 4274540 | K.86.15 | ۱ |
| - | $K_u^{ml} \cdot Omg$ E_p^l | 159 | 690686 | 4265425 | K.86.128 | ۱ |
| Cr,Sb | $K_u^t \cdot K_u^H$ | 111 | 686963 | 4280630 | K.86.416 | ۱ |
| La | $K_u^t \cdot K_u^H$ | 97.7 | 688938 | 4280430 | K.86.446 | ۲ |
| Sb | $K_u^t \cdot K_u^H$ | 88.9 | 685678 | 4280540 | K.86.414 | ۲ |
| - | $K_u^t \cdot K_u^H$ | 82.2 | 687719 | 4280100 | K.86.442 | ۲ |
| - | $K_u^{ml} \cdot Omg$ E_p^l | 81 | 692688 | 4265890 | K.86.125 | ۲ |
| Sb | $K_u^t \cdot K_u^H$ | 78.8 | 686912 | 4279510 | K.86.417 | ۲ |
| Sb | $K_u^t \cdot K_u^H$ | 72.5 | 686640 | 4280600 | K.86.415 | ۲ |
| Sn | $K_u^t \cdot K_u^H$ | 63.7 | 690402 | 4280570 | K.86.450 | ۲ |
| - | $K_u^{ml} \cdot Omg$ E_p^l | 63.5 | 691018 | 4274570 | K.86.16 | ۲ |
| - | $K_u^{ml} \cdot Omg$ E_p^l | 62.7 | 685048 | 4270980 | K.86.237 | ۲ |
| - | $K_u^{ml} \cdot Omg$ E_p^l | 60.7 | 691616 | 4273920 | K.86.7 | ۲ |
| Sb | $K_u^t \cdot K_u^H$ | 59 | 686251 | 4280620 | K.86.413 | ۲ |

در جدول ۲-۱۷-۲، نمونه‌های ناهنجار درجه یک و دو ارائه شده است (نقشه ۲)، همانگونه که ملاحظه

میشود این ناهنجاری‌ها عمدتاً در بخش شمالی، مرکزی و جنوب خاوری منطقه پراکندگی دارند و با عناصر آنتیموان، کروم و لانتانیوم همراهی میشوند.

۱۴-۳- توصیف ناهنجارهای عنصر طلا

این عنصر دارای مقدار میانگین ۸/۷۸، بیشترین و کمترین مقدار آن به ترتیب ۲۶۰ و ۰/۰ ppb.

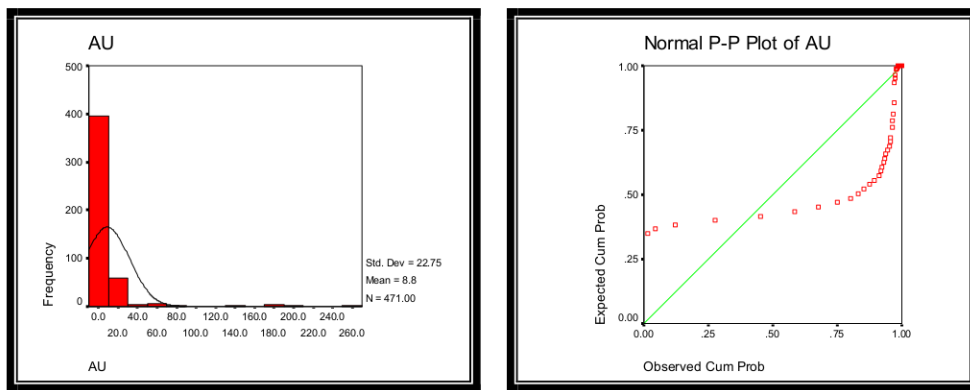
چولگی و کشیدگی ۷/۶۷ و ۶۵/۴۶، انحراف استاندارد و واریانس آن به ترتیب ۲۲/۷ و ۵۱۷/۶۵ میباشد که

موید غیرنرمال بودن توزیع داده‌های این عنصر است (جدول ۹-۲) (نمودار ۹-۲) خطای محاسبه شده برای

این عنصر برابر با ۸۴/۱۸ میباشد که بسیار بالا است و نمیتوان به آن اعتماد کرد.

جدول ۹-۲- پارامترهای آماری داده‌های خام عنصر طلا در محدوده مطالعاتی کلیر

| N | | | Mean | Median | Mode | Std. Dev. | Variance | Skewness | Kurtosis | Minimum | Maximum |
|-----|-------|---------|------|--------|------|-----------|----------|----------|----------|---------|---------|
| | Valid | Missing | | | | | | | | | |
| 471 | 0 | | 8.78 | 4 | 3 | 22.75 | 517.65 | 7.675 | 65.467 | 0 | 260 |



نمودار ۹-۲- هیستوگرام و منحنی تابع توزیع احتمالی داده‌های خام عنصر طلا

طلا با عناصر زیرکونیم، نقره، روی و قلع و در سطح اعتماد قابل قبول ۹۹ درصد دارای همبستگی

ضعیفی میباشد که این ضریب برای عناصر فوق منفی بوده که چندان با اهمیت تلقی نمی شود (جدول ۹-۲).



جدول ۲-۱۹- ضرایب همبستگی داده‌های خام عنصر طلا در محدوده مطالعه کلیر

| | <i>CR</i> | <i>NI</i> | <i>PB</i> | <i>BA</i> | <i>BE</i> | <i>LA</i> | <i>SC</i> | <i>LI</i> | <i>ZR</i> | <i>HG</i> | <i>AG</i> |
|--|--------------|--------------|--------------|-----------|--------------|-----------|---------------|---------------|---------------|-----------|---------------|
| | 0.032 | -0.037 | - .091(*) | 0.088 | -0.041 | -0.061 | 0.061 | -0.048 | - .163(**) | 0.077 | - .135(**) |
| | <i>AS</i> | <i>BI</i> | <i>CO</i> | <i>CU</i> | <i>MO</i> | <i>SB</i> | <i>ZN</i> | <i>SN</i> | <i>W</i> | <i>CD</i> | <i>RB</i> |
| | - .102(*) | - .111(*) | -0.042 | 0.011 | - .113(*) | -0.082 | - .145(**) | - .119(**) | - .107(*) | 0.02 | -0.028 |
| | | | | | | | | | | | |

جدول ۲-۲۰- توصیف ناهنجارهای عنصر طلا در محدوده مورد مطالعه کلیر

| ردیف | نام نهنجار | نام | ردیف (عدد) | ایستگاه نمونه برداشی | | تعداد نمونه | ردیف نهنجار |
|------|-----------------------------------|-----------------------------------|--------------|----------------------|-----------------|-----------------|-------------|
| | | | | Y | X | | |
| | K'_u | 260 | 692214 | 4280630 | K.86.458 | 1 | |
| | O_{mg} | 201 | 689054 | 4276630 | K.86.347 | 1 | |
| | $O_{mg} \cdot K_u''$ | 189 | 690961 | 4273710 | K.86.11 | 1 | |
| | $E_{an} \cdot O_{mg} \cdot K_u''$ | 188 | 687791 | 4266430 | K.86.188 | 1 | |
| | O_{mg} | 174 | 687972 | 4276360 | K.86.349 | 1 | |
| | O_{mg} | 137 | 689290 | 4277520 | K.86.344 | 1 | |
| | O_{mg} | 79 | 687347 | 4276300 | K.86.354 | 1 | |
| | $E_{an} \cdot O_{mg} \cdot K_u''$ | 68 | 686925 | 4268860 | K.86.197 | 1 | |
| | O_{mg} | 62 | 689275 | 4277140 | K.86.345 | 1 | |
| | O_{mg} | 60 | 685186 | 4274710 | K.86.383 | 1 | |
| | Ba | O_{mg} | 58 | 689979 | 4275130 | K.86.309 | 1 |
| | Zn | $O_{mg} \cdot K_u''$ | 50 | 690830 | 4273330 | K.86.17 | 1 |
| | | $E_{an} \cdot O_{mg} \cdot K_u''$ | 47 | 685167 | 4275030 | K.86.384 | 1 |
| | | $E_{an} \cdot O_{mg} \cdot K_u''$ | 43 | 687309 | 4267628 | K.86.181 | 1 |
| | Cr | $E_{an} \cdot O_{mg} \cdot K_u''$ | 33 | 685337 | 4268730 | K.86.227 | 1 |
| | | O_{mg} | 29 | 686980 | 4276700 | K.86.363 | 1 |
| | | K'_u | 27 | 688116 | 4279690 | K.86.439 | 1 |
| | | $E_{an} \cdot O_{mg} \cdot K_u''$ | 25 | 688938 | 4280430 | K.86.446 | 1 |
| | | O_{mg} | 25 | 687260 | 4276710 | K.86.360 | 1 |
| | | K'_u | 22 | 687866 | 4279360 | K.86.438 | 1 |
| | | K'_u | 22 | 687499 | 4278160 | K.86.424 | 1 |

در جدول فوق تعداد نمونه‌های ناهنجار با اهمیت درجه یک برای عنصر بالا است که تجمع این

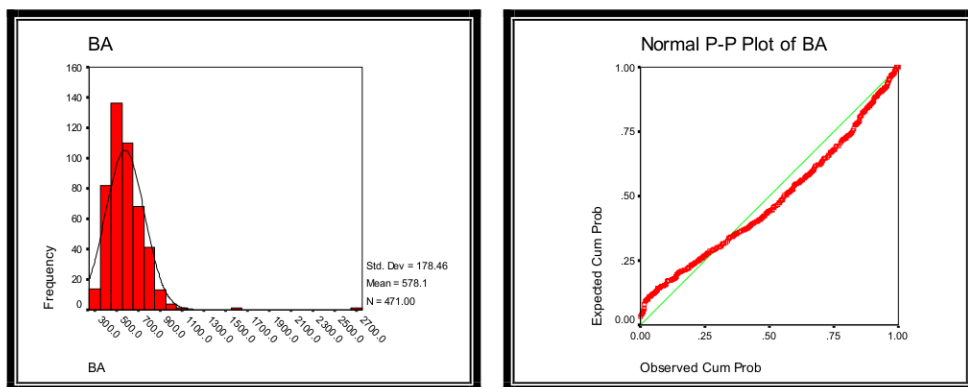
نمونه کاملاً جلب توجه می‌کند (جدول ۲۰-۲) (نقشه ۳) و به طور ضعیفی با عناصر روی، کروم و باریم همراهی می‌شوند.

۱۴-۴-توصیف ناهنجارهای عنصر باریم

این عنصر دارای مقدار میانگین ۲۶۳/۳۶، بیشترین و کمترین مقدار آن به ترتیب ۱۱۸۰ و ppm ۱۰۶ ، چولگی و کشیدگی ۲/۹۴ و ۱۵/۶۴، انحراف استاندارد و واریانس آن به ترتیب ۱۰۵ و ۱۱۴۲/۱۷ می‌باشد که نشاندهنده غیرنرمال بودن توزیع داده‌های این عنصر است (جدول ۲۱-۲) (نمودار ۱۰-۲)، خطای محاسبه شده برای این عنصر برابر با ۷/۳۱ می‌باشد که کاملاً قابل قبول می‌باشد.

جدول ۲۱-۲- پارامترهای آماری داده‌های خام عنصر باریم در محدوده مطالعاتی کلیر

| BA | N | | Mean | Median | Mode | Std. Deviation | Variance | Skewness | Kurtosis | Minimum | Maximum |
|----|-------|---------|--------|--------|--------|----------------|----------|----------|----------|---------|---------|
| | Valid | Missing | | | | | | | | | |
| | 395 | 0 | 362.36 | 339.00 | 327.00 | 105.56 | 11142.17 | 2.94 | 15.64 | 106.00 | 1180.00 |



نمودار ۱۰-۲- هیستوگرام و منحنی تابع توزیع احتمالی داده‌های خام عنصر باریم



ضریب همبستگی باریم با عناصر مختلف به استثناء طلا، کروم، مس، منگنز، نیکل، جیوه و قلع و در سطح اعتماد قابل قبول ۹۹ درصد معنی دار است به طوری که این ضریب با عناصر آرسنیک، روی، لانتانیم، نقره، بیسموت، مولیبدن، سرب، آنتیموان، تنگستن، اورانیوم و کادمیم مثبت و با عناصر وانادیم، استرانسیم و کبات منفی میباشد و بیشترین ضریب همبستگی این عنصر با عناصر آنتیموان (۰/۵۶۰) و سرب (۰/۵۷۴) میباشد (جدول ۲-۲).

جدول ۲-۲- ضرایب همبستگی داده های خام عنصر باریم در محدوده مطالعاتی کلیر

| Ba | Au | Cr | Ni | Pb | Be | La | Sc | Li | Zr | Hg | Ag |
|-------|--------|---------------|---------------|---------------|----------|----------|---------------|---------------|-------|----------|---------|
| | 0.088 | - .290(**) | - .157(**) | .122(**) | .309(**) | .177(**) | .176(**) | 0.047 | 0.073 | 0.004 | .093(*) |
| AS | Bi | Co | Cu | Mo | Sb | Zn | Sn | W | Cd | Rb | |
| 0.081 | -0.063 | 0.065 | .263(**) | - .206(**) | .215(**) | 0.019 | - .301(**) | - .165(**) | 0.025 | .213(**) | |

جدول ۲۳-۲- توصیف ناهنجارهای عنصر باریم در محدوده مورد مطالعه کلیر

| عنصر نمودار ناهنجار | واحد سنجی | عدد (ppm) | ایستگاه نمونه برداری | | نامه نیمه ی | ردیف نهاد |
|---------------------------|--------------------------------------|-----------|----------------------|---------|-------------------|--------------|
| | | | Y | X | | |
| Au | $E_{an} \cdot K_u^{ll}$ | 2680 | 689979 | 4275130 | K.86.309 | ۱ |
| - | K'_u | 1550 | 689577 | 4278840 | K.86.340 | ۱ |
| - | K_u^{ll} | 1100 | 689929 | 4265368 | K.86.138 | ۲ |
| - | O_{mg} | 1010 | 688906 | 4273910 | K.86.79 | ۲ |
| - | $O_{mg} \cdot K_u^{ll}$ | 1010 | 684970 | 4269790 | K.86.233 | ۲ |
| - | $E_{an} \cdot O_{mg} \cdot K_u^{ll}$ | 998 | 689085 | 4278920 | K.86.431 | ۲ |
| - | $E_{an} \cdot O_{mg} \cdot K_u^{ll}$ | 959 | 688321 | 4279360 | K.86.437 | ۲ |
| - | $E_{an} \cdot O_{mg} \cdot K_u^{ll}$ | 939 | 688830 | 4279480 | K.86.433 | ۲ |
| - | $E_{an} \cdot O_{mg} \cdot K_u^{ll}$ | 927 | 687183 | 4279130 | K.86.420 | ۲ |
| - | O_{mg} | 918 | 690003 | 4273400 | K.86.71 | ۲ |
| - | $E_{an} \cdot O_{mg} \cdot K_u^{ll}$ | 914 | 688189 | 4279250 | K.86.436 | ۲ |
| - | $O_{mg} \cdot K_u^{ll}$ | 913 | 684911 | 4269080 | K.86.229 | ۲ |

در جدول ۲۳-۲ که ناهنجاری‌های با اهمیت درجه یک عنصر باریم را نمایش میدهد، نمونه‌های

با شدت ناهنجاری درجه یک کاملاً متمایز می‌باشد و به طور ضعیفی با عنصر طلا

همراهی می‌شوند.

۱۴-۲- توصیف ناهنجارهای عنصر بیسموت

این عنصر دارای مقدار میانگین ۰/۷۱۷، بیشترین و کمترین مقدار آن به ترتیب ۰/۷ و ۰/۰ ppm

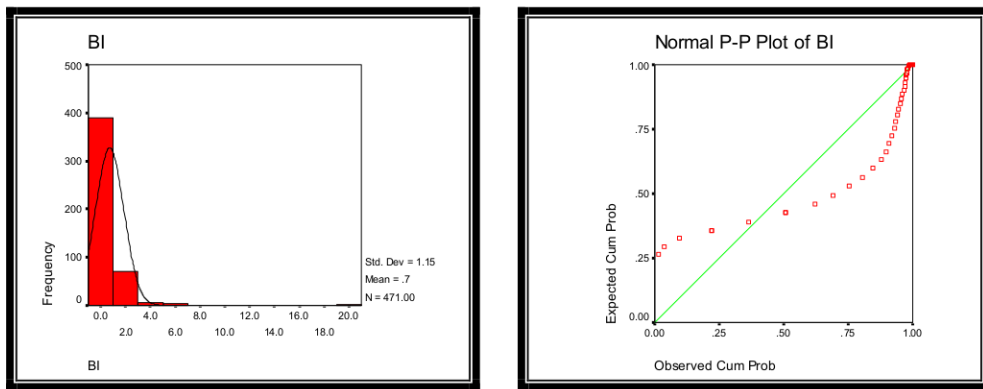
چولگی و کشیدگی ۰/۴۴ و ۰/۳۴، انحراف استاندارد و واریانس آن به ترتیب ۱/۱۴۷ و ۱/۳۱۵ می‌باشد

که موید توزیع غیرنرمال برای داده‌های خام این عنصر است (جدول ۲۴-۲) (نمودار ۱۱-۲)، خطای محاسبه

شده برای این عنصر برابر با ۲۵/۹۰ میباشد که تا حدودی قابل قبول میباشد.

جدول ۲۴-۲- پارامترهای آماری داده‌های خام عنصر بیسموت در محدوده مطالعاتی کلیر

| Element | N | | Mean | Median | Mode | Std. Deviation | Variance | Skewness | Kurtosis | Minimum | Maximum |
|---------|-------|---------|-------|--------|------|----------------|----------|----------|----------|---------|---------|
| | Valid | Missing | | | | | | | | | |
| Bi | 471 | 0 | 0.717 | 0.5 | 0.5 | 1.147 | 1.315 | 12.044 | 198.342 | 0 | 20.7 |



نمودار ۱۱-۲- هیستوگرام و منحنی تابع توزیع احتمالی داده‌های خام عنصر بیسموت

ضریب همبستگی بسیمومت با عناصر طلا، نیکل، کروم، بریلیوم، اسکاندیم، لیتیوم، زیرکونیم، جیوه، نقره، مولیبدن و روبيديوم و در سطح اعتماد قابل قبول ۹۹ درصد فاقد همبستگی مناسب میباشد، و ضریب همبستگی این عنصر با دیگر عناصر در سطح معنی دار ۹۹ درصد مثبت میباشد و بیشترین ضریب این عنصر با کادمیم (۰/۳۷۴) میباشد (جدول ۲۵-۲).



پی جویی به روش اکتشاف ژئوشیمیایی ۱:۲۵۰۰۰ در محدوده اکتشافی کلیر ۲



جدول ۲۵-۲- ضرایب همبستگی داده‌های خام عنصر بیسموت در محدوده مطالعاتی کلیر

| <i>Bi</i> | <i>Au</i> | <i>Cr</i> | <i>Ni</i> | <i>Pb</i> | <i>Be</i> | <i>La</i> | <i>Sc</i> | <i>Li</i> | <i>Zr</i> | <i>Hg</i> | <i>Ag</i> |
|-----------|-----------|-----------|-----------|-----------|-----------|-----------|-----------|-----------|-----------|-----------|-----------|
| | -.111(*) | 0.063 | 0.01 | .386(**) | 0.051 | .230(**) | 0.022 | -0.009 | -0.022 | 0 | 0.073 |
| | | | | | | | | | | | |
| | <i>AS</i> | <i>Bi</i> | <i>Co</i> | <i>Cu</i> | <i>Mo</i> | <i>Sb</i> | <i>Zn</i> | <i>Sn</i> | <i>W</i> | <i>Cd</i> | <i>Rb</i> |
| | .160(**) | -0.063 | .121(**) | .283(**) | -0.033 | .258(**) | .157(**) | .326(**) | .345(**) | .374(**) | 0.07 |

جدول ۲۶-۲- توصیف ناهنجارهای عنصر بیسموت در محدوده مطالعه کلیر

| مجموعه با دیگر عناصر | واحد سنجشی | (ppm) عبار | ایستگاه نمونه برداری | | شماره نمونه | شدت ناهنجاری |
|----------------------|------------------------|------------|----------------------|---------|-----------------|--------------|
| | | | Y | X | | |
| - | K_u^{ll} | 20.7 | 684636 | 4278950 | K.86.408 | I |
| - | K_u^{ll} O_{mg} | 5.3 | 684860 | 4274010 | K.86.388 | I |
| - | K_u^{ll} O_{mg} | 5.1 | 685576 | 4272170 | K.86.270 | I |
| - | K_u^{ll} | 5 | 685209 | 4279210 | K.86.409 | I |
| - | K_u^{ll} O_{mg} | 4.7 | 684883 | 4272550 | K.86.273 | I |
| - | O_{mg} | 4.6 | 689233 | 4273490 | K.86.85 | I |

همانگونه که در جدول ناهنجاری عنصر بیسموت (جدول ۲۶-۲) ملاحظه می‌شود ۶ نمونه با اهمیت

درجه یک در منطقه وجود دارد (نقشه ۵) که با هیچ عنصری همراهی نمی‌شود.

۱۴-۲- توصیف ناهنجارهای عنصر کادمیم

این عنصر دارای مقدار میانگین ۰/۲۲۳، بیشترین و کمترین مقدار آن به ترتیب ۰/۹ و ۰ ppm

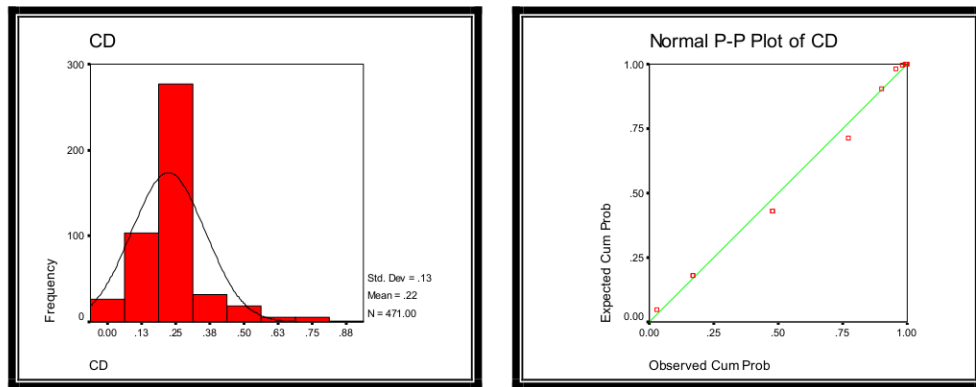
چولگی و کشیدگی ۱/۱۹۶ و ۲/۷۲۲، انحراف استاندارد و واریانس آن به ترتیب ۰/۱۳۵ و ۰/۰۲ می‌باشد که

موید توزیع تقریباً نرمال برای داده‌های خام این عنصر است (جدول ۲-۲۷) (نمودار ۱۲-۲)، خطای محاسبه

شده برای این عنصر برابر با ۱۴/۰۸ میباشد که تا حدودی قابل قبول میباشد.

جدول ۲-۲۷- پارامترهای آماری داده‌های خام عنصر کادمیم در محدوده مطالعاتی کلیر

| CD | <i>N</i> | | Mean | Median | Mode | Std. Dev. | Variance | Skewness | Kurtosis | Minimum | Maximum |
|----|----------|---------|-------|--------|------|-----------|----------|----------|----------|---------|---------|
| | Valid | Missing | | | | | | | | | |
| | 471 | 0 | 0.223 | 0.2 | 0.2 | 0.135 | 0.02 | 1.196 | 2.722 | 0 | 0.9 |



نمودار ۱۲-۲- هیستوگرام و منحنی تابع توزیع احتمالی داده‌های خام عنصر کادمیم

ضریب همبستگی کادمیم با عناصر مختلف نشان میدهد که کادمیم به استثناء طلا، لانتانیوم، جیوه

کبالت، قلع، باریم، تنگستن و مس با دیگر عناصر و در سطح اعتماد قابل قبول ۹۹ درصد دارای همبستگی

مناسب میباشد به طوری که ضریب همبستگی این عنصر با تمام عناصر مثبت بوده و بیشترین ضریب این

عنصر با روی (۰/۴۹۸) و سرب (۰/۶۳۱) دیده میشود(جدول ۲-۲۸).



جدول ۲۸-۲- ضرایب همبستگی داده‌های خام عنصر کادمیم در محدوده مطالعاتی کلیر

| | <i>Au</i> | <i>Cr</i> | <i>Ni</i> | <i>Pb</i> | <i>Be</i> | <i>La</i> | <i>Sc</i> | <i>Li</i> | <i>Zr</i> | <i>Hg</i> | <i>Ag</i> |
|-----------|-----------|-----------|-----------|-----------|-----------|-----------|-----------|-----------|-----------|-----------|-----------|
| <i>Cd</i> | 0.02 | .221(**) | .409(**) | .631(**) | .177(**) | -.115(*) | .183(**) | .395(**) | .265(**) | 0.057 | .265(**) |
| | <i>AS</i> | <i>Bi</i> | <i>Co</i> | <i>Cu</i> | <i>Mo</i> | <i>Sb</i> | <i>Zn</i> | <i>Sn</i> | <i>W</i> | <i>Ba</i> | <i>Rb</i> |
| | .446(**) | .374(**) | 0.068 | 0.06 | .312(**) | .321(**) | .498(**) | 0.008 | -0.073 | 0.025 | .250(**) |

جدول ۲۹-۲- توصیف ناهنجارهای عنصر کادمیم در محدوده مورد مطالعه کلیر

| ردیف ناهنجاری | نام ناهنجاری | حد نهایی نهایی | (ppm) نهایی | ایستگاه نمونه برداشی | | نمودار نهایی | شدت ناهنجاری |
|------------------|--|----------------------|----------------|----------------------|-----------------|-----------------|-----------------|
| | | | | Y | X | | |
| - | E_{an} | 0.9 | 685054 | 4265460 | K.86.210 | ۲ | |
| - | E_{ig}^t , E_{an}, E_a^i, E_p^l | 0.8 | 692049 | 4272560 | K.86.36 | ۲ | |

همانگونه که در جدول ناهنجاری با اهمیت برای عنصر کادمیم ملاحظه می‌شود (جدول ۲۹-۲)

هیچگونه نمونه با اهمیت درجه یک برای این عنصر وجود ندارد (نقشه ۶) و با هیچ عنصری همراهی

نمی‌شود.

۷-۱۴-۲- توصیف ناهنجارهای عنصر کبات

این عنصر دارای مقدار میانگین ۲۳/۱۹، بیشترین و کمترین مقدار آن به ترتیب ۰/۸۰، ۰/۳ ppm

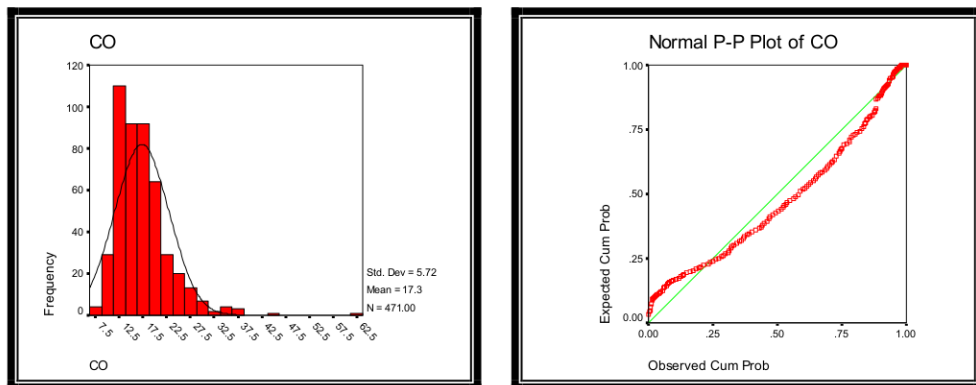
چولگی و کشیدگی ۱/۰۲ و ۰/۲۹، انحراف استاندارد و واریانس آن به ترتیب ۰/۹۱ و ۰/۱۴ می‌باشد که موید

توزیع غیرنرمال داده‌های این عنصر با چولگی مثبت است (جدول ۲-۳۰) (نمودار ۲-۱۳)، خطای محاسبه

شده برای این عنصر برابر با ۱۶/۹۴ می‌باشد که تا حدودی قابل قبول می‌باشد.

جدول ۲-۳۰- پارامترهای آماری داده‌های خام عنصر کبات در محدوده مطالعاتی کلیبر

| Co | N | | Mean | Median | Mode | Std. Dev. | Variance | Skewness | Kurtosis | Min | Max |
|----|-------|---------|--------|--------|------|-----------|----------|----------|----------|-----|------|
| | Valid | Missing | | | | | | | | | |
| | 471 | 0 | 17.258 | 16.3 | 12.9 | 5.723 | 32.749 | 2.077 | 9.349 | 6.6 | 61.6 |



نمودار ۲-۱۳- هیستوگرام و منحنی تابع توزیع احتمالی داده‌های خام عنصر کبات

ضریب همبستگی کبات با بیشتر عناصر و در سطح اعتماد قابل قبول ۹۹ درصد دارای همبستگی

مناسب میباشد به طوری که ضریب همبستگی این عنصر با سرب، بریلیوم، انتیموان، تنگستن و روبيديوم

منفی و با بقیه عناصر مثبت میباشد و بیشترین ضریب همبستگی این عنصر با اسکاندیوم ۰/۷۳۴

است (جدول ۲-۳۱).

جدول ۲-۳۱- ضرایب همبستگی داده‌های خام عنصر کبات در محدوده مطالعاتی کلیبر

| Co | Au | Cr | Ni | Pb | Be | La | Sc | Li | Zr | Hg | Ag |
|----|----------|----------|----------|----------|----------|-----------|----------|----------|-----------|--------|-----------|
| | -0.042 | .274(**) | .157(**) | - | .230(**) | .428(**) | .137(**) | .734(**) | .230(**) | -0.011 | -0.061 |
| | AS | Bi | Ba | Cu | Mo | Sb | Zn | Sn | W | Cd | Rb |
| | .184(**) | .121(**) | 0.065 | .381(**) | -.097(*) | -.149(**) | .245(**) | .241(**) | -.163(**) | 0.068 | -.302(**) |



همانگونه که در جدول ناهنجاری‌های با اهمیت و همچنین نقشه پراکندگی عنصر کبات نمایان است (جدول ۳۲-۲)، ناهنجاری‌های فوق چندان قابل توجه نمی‌باشند (نقشه ۷) و با هیچ عنصری همراهی نمی‌شود.

جدول ۳۲-۲- توصیف ناهنجارهای عنصر کبات در محدوده مورد مطالعه کلیر

| ردیف | نامهنجاری | نمودار | آیستگاه نمونه برداری | جهت | | جهت ناهنجاری |
|------|-------------------|--------|----------------------|---------|----------|--------------|
| | | | | Y | X | |
| - | K_u^{\parallel} | 61.6 | 685245 | 4278540 | K.86.407 | ۱ |
| - | O _{mg} | 45.8 | 685048 | 4275380 | K.86.376 | ۱ |

۱۴-۲- توصیف ناهنجارهای عنصر کروم

این عنصر دارای مقدار میانگین ۴۵/۷۵، بیشترین و کمترین مقدار آن به ترتیب ۶ و ۲۴۳ ppm می‌باشد.

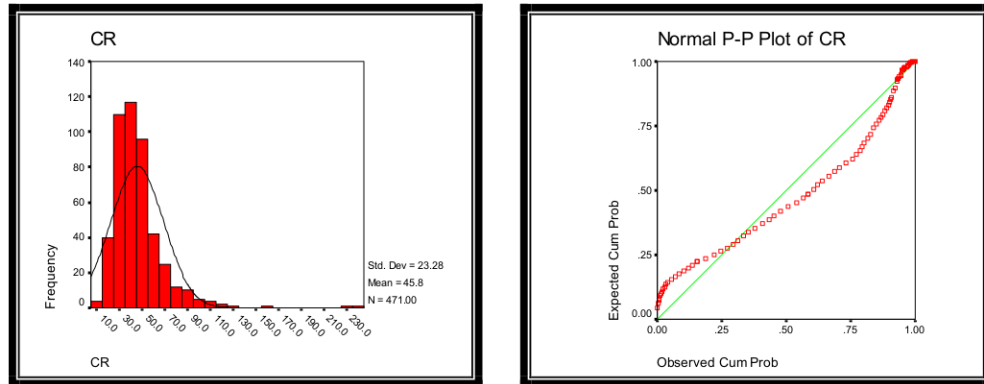
چولگی و کشیدگی ۳/۲۲ و ۱۹/۹۶، انحراف استاندارد و واریانس آن به ترتیب ۲۳/۲۸ و ۵۴۲ می‌باشد که نشان

دهنده توزیع غیر نرمال داده‌های این عنصر با چولگی مثبت است (جدول ۳۳-۲) (نمودار ۱۴-۲)، خطای

محاسبه شده برای این عنصر برابر با ۷/۷۷ می‌باشد که تا حدودی قابل قبول می‌باشد.

جدول ۳۳-۲- پارامترهای آماری داده‌های خام عنصر کروم در محدوده مطالعاتی کلیر

| C _i | N | | Mean | Median | Mode | Std. Dev. | Variance | Skewness | Kurtosis | Minimum | Maximum |
|----------------|-------|---------|-------|--------|------|-----------|----------|----------|----------|---------|---------|
| | Valid | Missing | | | | | | | | | |
| | 471 | 0 | 45.75 | 42 | 29 | 23.28 | 542.16 | 3.215 | 19.96 | 6 | 243 |



نمودار ۱۴-۲- هیستوگرام و منحنی تابع توزیع احتمالی داده‌های خام عنصر کروم

ضریب همبستگی کروم با سایر عناصر به طلا، سرب، جیوه، نقره، بیسموت، مس، مولیبدن،

آنتموان، تنگستن و روبيديوم با ديگر عناصر و در سطح اعتماد قابل قبول ۹۹ درصد دارای همبستگی

مناسب میباشد به طوری که ضریب همبستگی این عنصر با بریلیوم، لantanیم و باریم منفی و با بقیه عناصر

ثبت میباشد و بیشترین ضریب این عنصر با نیکل (۰/۸۰۵) دیده میشود (جدول ۳۴-۲).

جدول ۳۴-۲- ضرایب همبستگی داده‌های خام عنصر کروم در محدوده مطالعاتی کلیر

| | <i>Au</i> | <i>Co</i> | <i>Ni</i> | <i>Pb</i> | <i>Be</i> | <i>La</i> | <i>Sc</i> | <i>Li</i> | <i>Zr</i> | <i>Hg</i> | <i>Ag</i> |
|-----------|-----------|-----------|-----------|-----------|-----------|-----------|-----------|-----------|-----------|-----------|-----------|
| <i>Cr</i> | 0.032 | .274(**) | .805(**) | 0.043 | - | .286(**) | .368(**) | .271(**) | .392(**) | .141(**) | -.111(*) |
| | <i>AS</i> | <i>Bi</i> | <i>Ba</i> | <i>Cu</i> | <i>Mo</i> | <i>Sb</i> | <i>Zn</i> | <i>Sn</i> | <i>W</i> | <i>Cd</i> | <i>Rb</i> |
| | .290(**) | 0.063 | - | - | 0.025 | 0.057 | .147(**) | .147(**) | -.113(*) | .221(**) | 0.007 |



جدول ۲-۳۵- توصیف ناهنجارهای عنصر کروم در محدوده مورد مطالعه کلیر

| عنصر نمودنگر | واحد سنجش | (ppm) عیار | ایستگاه نمونه برداری | | شماره نمونه | شدت ناهنجاری |
|-----------------|--|---------------|----------------------|---------|-------------|--------------|
| | | | Y | X | | |
| | O _{mg} | 243 | 685048 | 4275380 | K.86.376 | ۱ |
| | K ^{ll} _u | 230 | 688534 | 4266739 | K.86.161 | ۱ |
| | E _{an} | 156 | 684892 | 4268910 | K.86.228 | ۱ |
| | E _{an} | 133 | 685232 | 4269230 | K.86.230 | ۲ |
| | O _{mg} ·K _u ^{ml} | 122 | 691206 | 4272780 | K.86.28 | ۲ |
| | K _u ^{ll} | 115 | 685209 | 4279210 | K.86.409 | ۲ |
| As,Sb | K _u ^{ll} | 113 | 686963 | 4280630 | K.86.416 | ۲ |
| | K _u ^{ll} | 112 | 684643 | 4280030 | K.86.411 | ۲ |
| | K _u ^{ll} | 108 | 684288 | 4279156 | K.86.410 | ۲ |
| | E _{an} | 108 | 686273 | 4271910 | K.86.252 | ۲ |
| | E _{an} · O _{mg} · K ^{ll} _u | 103 | 686673 | 4269830 | K.86.202 | ۲ |
| | E _{an} | 97 | 685269 | 4268090 | K.86.222 | ۲ |
| | E _{an} | 96 | 686294 | 4270710 | K.86.245 | ۲ |
| Au | E _{an} | 96 | 685337 | 4268730 | K.86.227 | ۲ |
| | E _{an} | 95 | 686166 | 4271297 | K.86.250 | ۲ |

ناهنجاری‌های با اهمیت (جدول ۲-۳۵) و نقشه پراکندگی عنصر کروم از اهمیت نسبی

نمونه‌های K.86.376، K.86.161 و K.86.228 حکایت می‌کند (نقشه ۸) و به طور ضعیفی با عناصر طلا،

آرسنیک و آنتیموان همراهی می‌شوند.

۱۴-۹- توصیف ناهنجارهای عنصر مس

این عنصر دارای مقدار میانگین ۷۷/۱۹۲، بیشترین و کمترین مقدار آن به ترتیب ۸۵۱ و ۱۷/۳ ppm می‌باشد

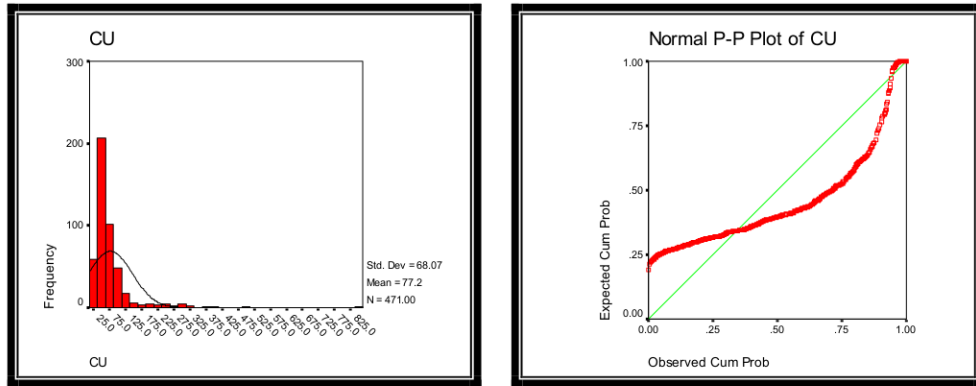
چولگی و کشیدگی ۵/۱۱ و ۴/۱۵۲۹، انحراف استاندارد و واریانس آن به ترتیب ۶۸/۰۸ و ۴۶۳۴/۱۹ می‌باشد

که غیر نرمال بودن توزيع داده‌های این عنصر با چولگی مثبت را نشان میدهد (جدول ۲-۳۶) (نمودار-۲-

۱۵)، خطای محاسبه شده برای این عنصر برابر با ۱۲/۸۱ است که تقریباً قابل قبول می‌باشد.

جدول ۲-۳۶-۲- پارامترهای آماری داده‌های خام عنصر مس در محدوده مطالعاتی کلیر

| Cu | <i>N</i> | | <i>Mean</i> | <i>Median</i> | <i>Mode</i> | <i>Std. Dev.</i> | <i>Variance</i> | <i>Skewness</i> | <i>Kurtosis</i> | <i>Minimum</i> | <i>Maximum</i> |
|----|--------------|----------------|-------------|---------------|-------------|------------------|-----------------|-----------------|-----------------|----------------|----------------|
| | <i>Valid</i> | <i>Missing</i> | 77.192 | 59.3 | 45.1(a) | 68.075 | 4634.186 | 5.11 | 41.529 | 17.3 | 851 |



نمودار-۲-۱۵- هیستوگرام و منحنی تابع توزيع احتمالي داده‌های خام عنصر مس

ضریب همبستگی مس با سایر عناصر نشان میدهد که مس به استثناء طلا، کبالت، بریلیوم، لیتیوم، جیوه، مولیبدن، روی، قلع، کادمیم و روپیدیم با دیگر عناصر و در سطح اعتماد قابل قبول ۹۹ درصد دارای همبستگی و تا حدودی مناسب و معنی‌داری می‌باشد به طوری که ضریب همبستگی این عنصر با نیکل، سرب، نقره، زیرکونیم، و آنتیموان منفی و با بقیه عناصر مثبت می‌باشد و بیشترین ضریب این عنصر با اسکاندیوم(۰/۴۳۶) دیده می‌شود (جدول ۲-۳۷).



جدول ۲-۳۷- ضرایب همبستگی داده‌های خام عنصر مس در محدوده مطالعاتی کلیر

| | <i>Au</i> | <i>Co</i> | <i>Ni</i> | <i>Pb</i> | <i>Be</i> | <i>La</i> | <i>Sc</i> | <i>Li</i> | <i>Zr</i> | <i>Hg</i> | <i>Ag</i> |
|----|-----------|-----------|-----------|-----------|-----------|-----------|-----------|-----------|-----------|-----------|-----------|
| Cu | 0.011 | -.118(*) | - | .143(**) | .187(**) | 0.024 | .239(**) | .436(**) | 0.048 | .340(**) | 0.085 |
| | | | | | | | | | | | |
| | AS | <i>Bi</i> | <i>Cr</i> | <i>Ba</i> | <i>Mo</i> | <i>Sb</i> | <i>Zn</i> | <i>Sn</i> | <i>W</i> | <i>Cd</i> | <i>Rb</i> |
| | - | .230(**) | .283(**) | .381(**) | .263(**) | 0.027 | - | .162(**) | -0.049 | 0.064 | .142(**) |
| | | | | | | | | | | | 0.06 |
| | | | | | | | | | | | -0.03 |

مس یکی از با ارزش‌ترین عناصر در زمینه اکتشاف می‌باشد و در تمام موارد تغییرات آن با دقت

مورد توجه قرار می‌گیرد، همانگونه که در جدول ناهنجاری‌ها (جدول ۲-۳۸) و همچنین نقشه پراکندگی ارائه

شده برای عنصر مس ملاحظه می‌شود ۱۳ نمونه ناهنجار درجه یک را می‌توان در منطقه مشاهده نمود (نقشه ۹)

که تعدادی از آنها با عنصر مولیبدن همراهی می‌شود.

جدول ۲-۳۸- توصیف ناهنجارهای عنصر مس در محدوده مورد مطالعه کلیر

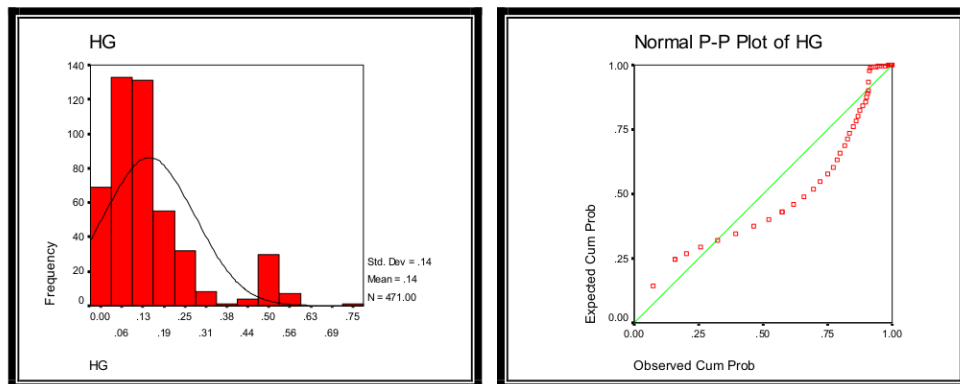
| ردیف | نام | ردیف | ردیف | ایستگاه نمونه برداری | | ردیف | ردیف |
|------|-----------|----------------------|------|----------------------|---------|----------|------|
| | | | | Y | X | | |
| 1 | <i>Mo</i> | $O_{mg} \cdot K^H_u$ | 851 | 688890 | 4275400 | K.86.302 | ۱ |
| 2 | <i>Mo</i> | $O_{mg} \cdot K^H_u$ | 506 | 688897 | 4274707 | K.86.305 | ۱ |
| 3 | | $O_{mg} \cdot K^H_u$ | 396 | 688324 | 4275080 | K.86.300 | ۱ |
| 4 | <i>Mo</i> | $O_{mg} \cdot K^H_u$ | 377 | 689791 | 4275630 | K.86.308 | ۱ |
| 5 | | $O_{mg} \cdot K^H_u$ | 332 | 686324 | 4278380 | K.86.398 | ۱ |
| 6 | | $O_{mg} \cdot K^H_u$ | 332 | 685509 | 4273269 | K.86.281 | ۱ |
| 7 | | $O_{mg} \cdot K^H_u$ | 311 | 688992 | 4275235 | K.86.303 | ۱ |
| 8 | | $O_{mg} \cdot K^H_u$ | 305 | 689324 | 4275490 | K.86.304 | ۱ |
| 9 | | $O_{mg} \cdot K^H_u$ | 297 | 686911 | 4274640 | K.86.286 | ۱ |
| 10 | | $O_{mg} \cdot K^H_u$ | 294 | 687260 | 4276710 | K.86.360 | ۱ |
| 11 | | $O_{mg} \cdot K^H_u$ | 290 | 687453 | 4276450 | K.86.355 | ۱ |
| 12 | | $O_{mg} \cdot K^H_u$ | 287 | 686563 | 4276800 | K.86.365 | ۱ |
| 13 | | $O_{mg} \cdot K^H_u$ | 286 | 685165 | 4273077 | K.86.278 | ۱ |

۱۴-۱۰- توصیف ناهنجارهای عنصر جیوه

این عنصر دارای مقدار میانگین ۰/۱۴، بیشترین و کمترین مقدار آن به ترتیب ۰/۷۶ و صفر ppm، چولگی و کشیدگی ۱/۷۳ و ۲/۷۸ انحراف استاندارد و واریانس آن به ترتیب ۰/۰۲ و ۰/۰۲ میباشد که موید غیر نرمال بودن توزیع داده های این عنصر است (جدول ۲-۳۹) (نمودار ۲-۱۶)، خطای محاسبه شده برای این عنصر برابر با ۱۵۸/۶۳ است که غیرقابل قبول میباشد.

جدول ۲-۳۹- پارامترهای آماری داده های خام عنصر جیوه در محدوده مطالعاتی کلیر

| HG | N | | Mean | Median | Mode | Std. Dev. | Variance | Skewness | Kurtosis | Minimum | Maximum |
|----|-------|---------|--------|--------|------|-----------|----------|----------|----------|---------|---------|
| | Valid | Missing | | | | | | | | | |
| | 471 | 0 | 0.1439 | 0.11 | 0 | 0.1361 | 0.02 | 1.734 | 2.783 | 0 | 0.76 |



نمودار ۲-۱۶- هیستوگرام و منحنی تابع توزیع احتمالی داده های خام عنصر جیوه



ضریب همبستگی جیوه با بیشتر عناصر و در سطح اعتماد قابل قبول ۹۹ درصد دارای همبستگی

مناسب و معنی داری نمی‌باشد و تنها با عناصر زیرکونیم و نقره ضریب همبستگی منفی نشان میدهد (جدول ۴۰-۲).

جدول ۴۰-۲- ضرایب همبستگی داده‌های خام عنصر جیوه در محدوده مطالعاتی کلیر

| | <i>Au</i> | <i>Cr</i> | <i>Ni</i> | <i>Pb</i> | <i>Be</i> | <i>La</i> | <i>Sc</i> | <i>Li</i> | <i>Zr</i> | <i>Ba</i> | <i>Ag</i> |
|-----------|------------|--------------|------------|-----------|-----------|-----------|-----------|-----------|---------------|-----------|------------|
| <i>Hg</i> | 0.077 | - .111(*) | - 0.044 | -0.014 | 0.074 | .098(*) | -0.083 | -0.058 | - .155(**) | 0.004 | -0.123(**) |
| | AS | <i>Bi</i> | <i>Co</i> | <i>Cu</i> | <i>Mo</i> | <i>Sb</i> | <i>Zn</i> | <i>Sn</i> | <i>W</i> | <i>Cd</i> | <i>Rb</i> |
| | - 0.041 | 0 | - 0.061 | 0.085 | 0.05 | -0.02 | 0.019 | 0.012 | 0.012 | 0.057 | 0.051 |

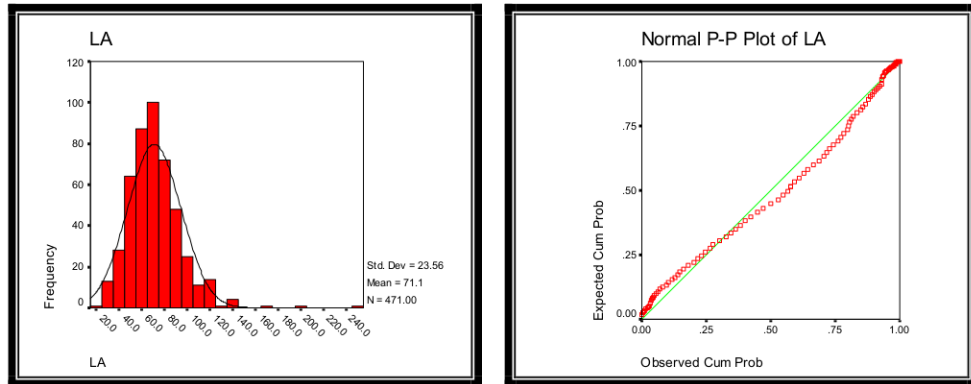
جیوه یکی از ارزشمندترین عناصری است که مورد توجه بسیار زیاد قرار می‌گیرد، همانگونه که در نقشه ناهنجاری‌های این عنصر ملاحظه می‌شود، هیچگونه نمونه ناهنجاری با اهمیت دیده نمی‌شود(نقشه ۱۰).

۱۴-۲- توصیف ناهنجارهای عنصر لانتانیوم

این عنصر دارای مقدار میانگین ۷۱/۱۳، بیشترین و کمترین مقدار آن به ترتیب ۲۴۶ و ۲۲ ppm، چولگی و کشیدگی ۱/۶۷ و ۸/۱۴، انحراف استاندارد و واریانس آن به ترتیب ۲۳/۵۶ و ۵۵۵/۰۲ می‌باشد که موید غیرنرمال بودن توزیع داده‌های این عنصر است(جدول ۴۱-۲) (نمودار ۲-۱۷)، خطای محاسبه شده برای این عنصر برابر با ۶/۹۷ می‌باشد که قابل قبول می‌باشد.

جدول ۴۱-۲- پارامترهای آماری داده‌های خام عنصر لانتانیوم در محدوده مطالعاتی کلیر

| <i>La</i> | <i>N</i> | | <i>Mean</i> | <i>Median</i> | <i>Mode</i> | <i>Std. Dev.</i> | <i>Variance</i> | <i>Skewness</i> | <i>Kurtosis</i> | <i>Minimum</i> | <i>Maximum</i> |
|-----------|--------------|----------------|-------------|---------------|-------------|------------------|-----------------|-----------------|-----------------|----------------|----------------|
| | <i>Valid</i> | <i>Missing</i> | | | | | | | | | |
| | 471 | 0 | 71.13 | 68 | 59 | 23.56 | 555.02 | 1.673 | 8.144 | 22 | 246 |



نمودار ۱۷-۲- هیستوگرام و منحنی تابع توزیع احتمالی داده‌های خام عنصر لانتانیوم

ضریب همبستگی لانتانیوم با عناصر طلا، سرب، جیوه، اسکاندیوم، زیرکونیم، لیتیوم، آنتیموان و کادمیم در سطح اعتماد قابل قبول ۹۹ درصد دارای همبستگی مناسب و معنی‌داری می‌باشد، ضمناً با بیشتر این عناصر دارای ضریب همبستگی مثبت است (جدول ۴۲-۲).

جدول ۴۲-۲- ضرایب همبستگی داده‌های خام عنصر لانتانیوم در محدوده مطالعاتی کلیر

| | <i>Au</i> | <i>Cr</i> | <i>Ni</i> | <i>Pb</i> | <i>Be</i> | <i>Hg</i> | <i>Sc</i> | <i>Li</i> | <i>Zr</i> | <i>Ba</i> | <i>Ag</i> |
|----------------------|-----------|-----------|-----------|-----------|-----------|-----------|-----------|-----------|-----------|-----------|-----------|
| | -0.061 | .368(**) | .457(**) | .107(*) | .455(**) | .098(*) | .096(*) | -0.074 | 0.054 | .177(**) | .125(**) |
| <i>L_a</i> | | | | | | | | | | | |
| | <i>AS</i> | <i>Bi</i> | <i>Co</i> | <i>Cu</i> | <i>Mo</i> | <i>Sb</i> | <i>Zn</i> | <i>Sn</i> | <i>W</i> | <i>Cd</i> | <i>Rb</i> |
| | -.190(**) | .230(**) | .137(**) | .239(**) | .156(**) | -0.089 | .214(**) | .577(**) | .323(**) | -.115(*) | .136(**) |

لانتانیوم یکی از ارزشمندترین عناصر نادر خاکی محسوب شده که لازم است تغییرات آن با دقت مورد توجه قرار گیرد، همانگونه که در جدول ناهنجاری (جدول ۴۳-۲) و همچنین نقشه پراکندگی ارائه شده برای عنصر لانتانیوم ملاحظه می‌شود دو نمونه ناهنجار با اهمیت در منطقه دیده می‌شود (نقشه ۱۱) که با عناصر آرسنیک، قلع و تنگستن همراهی می‌شوند.

جدول ۴۳-۲- توصیف ناهنجارهای عنصر لانتانیم در محدوده مورد مطالعه کلیر

| ردیف ردیف ردیف | نام نام نام | ردیف ردیف ردیف | ردیف ردیف ردیف | ایستگاه نمونه برداری | | ردیف ردیف ردیف | ردیف ردیف ردیف |
|----------------------|----------------------------------|----------------------|----------------------|----------------------|----------|----------------------|----------------------|
| | | | | Y | X | | |
| Sn,W | O_{mg} | 246 | 689372 | 4271740 | K.86.61 | ۱ | |
| Sn,W | K'_u | 201 | 690402 | 4280570 | K.86.450 | ۱ | |
| - | K'_u | 165 | 688784 | 4280500 | K.86.444 | ۲ | |
| - | $E_p^I \cdot O_{mg} \cdot K''_u$ | 142 | 691492 | 4269740 | K.86.52 | ۲ | |
| - | K'_u | 138 | 688439 | 4280330 | K.86.443 | ۲ | |
| As | K'_u | 137 | 688938 | 4280430 | K.86.446 | ۲ | |
| - | K'_u | 135 | 687719 | 4280000 | K.86.441 | ۲ | |
| - | K'_u | 126 | 688238 | 4277740 | K.86.427 | ۲ | |

۱۴-۲- توصیف ناهنجارهای عنصر مولیدن

این عنصر دارای مقدار میانگین ۱/۳۵، بیشترین و کمترین مقدار آن به ترتیب ۳/۸ و ۰/۴ ppm.

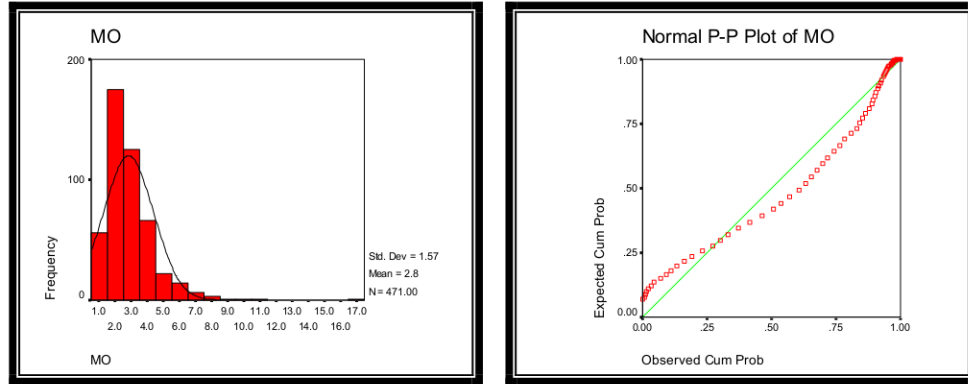
چولگی و کشیدگی ۱/۲۷ و ۳/۵۷، انحراف استاندارد و واریانس آن به ترتیب ۰/۴۴ و ۰/۱۹ میباشد که

غیرنرمال بودن توزیع دادهها این عنصر را نشان میدهد(جدول ۴۴-۲) (نمودار ۲-۱۸)، خطای محاسبه شده

برای این عنصر برابر با ۶/۷۳ میباشد که تا غیر قابل قبول میباشد.

جدول ۴۴-۲- پارامترهای آماری دادههای خام عنصر مولیدن در محدوده مطالعاتی کلیر

| M | N | | Mean | Median | Mode | Std. Dev. | Variance | Skewness | Kurtosis | Minimum | Maximum |
|---|-------|---------|-------|--------|--------|--------------|----------|----------|----------|---------|---------|
| | Valid | Missing | | | | | | | | | |
| | 471 | 0 | 2.825 | 2.5 | 2,3(a) | 1.566 | 2.452 | 2.797 | 16.237 | 0.5 | 16.8 |



نمودار ۲-۱۸- هیستوگرام و منحنی تابع توزیع احتمالی داده‌های خام عنصر مولیبدن

ضریب همبستگی مولیبدن با بیشتر عناصر و در سطح اعتماد قابل قبول ۹۹ درصد دارای همبستگی مناسب، مثبت و معنی‌دار می‌باشد به طوری که ضریب همبستگی این عنصر با نیکل، اسکاندیوم، لیتیوم، زیرکونیم، آرسنیک و کادمیم منفی و با بقیه عناصر مثبت می‌باشد و بیشترین ضریب همبستگی این عنصر با تنگستن (۴۱۶٪) دیده می‌شود (جدول ۲-۴۵).

جدول ۲-۴۵- ضرایب همبستگی داده‌های خام عنصر مولیبدن در محدوده مطالعاتی کلیر

| Mo | Au | Cr | Ni | Pb | Be | La | Sc | Li | Zr | Ba | Ag | |
|----|----------|----------|--------|----------|---------|---------|----------|--------|----------|----------|----------|---------|
| | -.113(*) | 0.025 | - | .129(**) | .106(*) | .114(*) | .156(**) | - | - | .206(**) | -.096(*) | |
| | AS | Bi | Co | Cu | Hg | Sb | Zn | Sn | W | Cd | Rb | |
| | - | .135(**) | -0.033 | -.097(*) | 0.027 | 0.05 | -.103(*) | -0.048 | .255(**) | .414(**) | .312(**) | .102(*) |

همانگونه که در جدول ناهنجاری با اهمیت مولیبدن (جدول ۲-۴۶) و نقشه پراکندگی ارائه شده

برای عنصر مولیبدن ملاحظه می‌شود نمونه **K.86.158** با توجه به عیار، نسبتاً با اهمیت تلقی می‌شود (نقشه ۱۲).

جدول ۴-۶-۲- توصیف ناهنجارهای عنصر مولیبدن در محدوده مورد مطالعه کلیر

| عنصر ناهنجار | نام ناهنجار | نمودار (ppm) | ایستگاه نمونه برداری | | شماره نمونه | تاریخ برداشت |
|-----------------|--------------------------------------|-----------------|----------------------|---------|----------------|-----------------|
| | | | Y | X | | |
| | $E_{an} \cdot O_{mg} \cdot K_u^{ll}$ | 16.8 | 688930 | 4268170 | K.86.158 | ۱ |
| | O_{mg} | 11.2 | 687719 | 4274620 | K.86.467 | ۱ |
| Cu | O_{mg} | 10.2 | 688890 | 4275400 | K.86.302 | ۲ |
| | O_{mg} | 9.2 | 687292 | 4274970 | K.86.292 | ۲ |
| | $E_{an} \cdot O_{mg} \cdot K_u^{ll}$ | 7.7 | 688668 | 4268150 | K.86.173 | ۲ |
| Cu | O_{mg} | 7.6 | 688897 | 4274707 | K.86.305 | ۲ |
| | O_{mg} | 7.5 | 688319 | 4265614 | K.86.144 | ۲ |
| | $E_{an} \cdot O_{mg} \cdot K_u^{ll}$ | 7.4 | 688534 | 4266739 | K.86.161 | ۲ |
| | O_{mg} | 7.2 | 687829 | 4275170 | K.86.298 | ۲ |
| | O_{mg} | 7.1 | 685044 | 4276480 | K.86.372 | ۲ |
| Cu | O_{mg} | 7 | 689791 | 4275630 | K.86.308 | ۲ |
| | $E_{an} \cdot O_{mg} \cdot K_u^{ll}$ | 6.9 | 688707 | 4265123 | K.86.141 | ۲ |

۱۴-۲- توصیف ناهنجارهای عنصر نیکل

این عنصر دارای مقدار میانگین ۹/۹۷، بیشترین و کمترین مقدار آن به ترتیب ۸۱ و ۹ ppm.

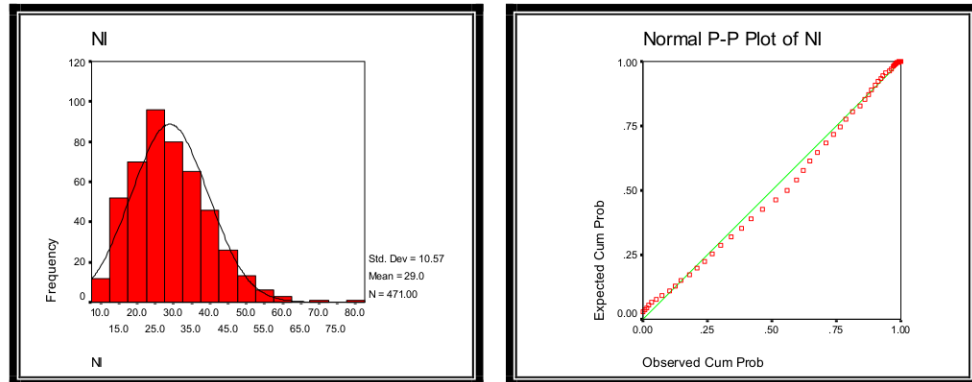
چولگی و کشیدگی ۷۷/۰ و ۰/۲۵، انحراف استاندارد و واریانس آن به ترتیب ۱۰/۵۷ و ۱۱۱/۷۷ میباشد که

توزیع تقریباً نرمال داده‌های این عنصر را نشان میدهد(جدول ۴-۷-۲) (نمودار ۲-۱۹)، خطای محاسبه شده

برای این عنصر برابر با ۶/۳۳ میباشد که تا کاملاً قابل قبول میباشد.

جدول ۴-۷-۲- پارامترهای آماری داده‌های خام عنصر نیکل در محدوده مطالعاتی کلیر

| Ni | N | | Mean | Median | Mode | Std. Dev. | Variance | Skewness | Kurtosis | Minimum | Maximum |
|----|-------|---------|-------|--------|------|-----------|----------|----------|----------|---------|---------|
| | Valid | Missing | | | | | | | | | |
| | 471 | 0 | 28.97 | 28 | 27 | 10.57 | 111.77 | 0.778 | 1.251 | 9 | 81 |



نمودار ۱۹-۲- هیستوگرام و منحنی تابع توزیع احتمالی داده‌های خام عنصر نیکل

ضریب همبستگی نیکل با بیشتر عناصر و در سطح اعتماد قابل قبول ۹۹ درصد دارای همبستگی

مناسب و معنی دار میباشد به طوری که ضریب همبستگی این عنصر با مولیبدن، لانتانیوم، باریم، مس و

تنگستن منفی و با بقیه عناصر مثبت میباشد و بیشترین ضریب همبستگی این عنصر با کروم(۰/۸۰۵) دیده

میشود(جدول ۴۸-۲).

جدول ۴۸-۲- ضرایب همبستگی داده‌های خام عنصر نیکل در محدوده مطالعاتی کلیر

| | <i>Au</i> | <i>Cr</i> | <i>Mo</i> | <i>Pb</i> | <i>Be</i> | <i>La</i> | <i>Sc</i> | <i>Li</i> | <i>Zr</i> | <i>Ba</i> | <i>Ag</i> |
|-----------|-----------|-----------|-----------|-----------|-----------|-----------|-----------|-----------|-----------|-----------|-----------|
| <i>Ni</i> | -0.037 | .805(**) | - | .206(**) | 0.067 | - | .249(**) | .610(**) | .304(**) | - | .157(**) |
| | <i>AS</i> | <i>Bi</i> | <i>Co</i> | <i>Cu</i> | <i>Hg</i> | <i>Sb</i> | <i>Zn</i> | <i>Sn</i> | <i>W</i> | <i>Cd</i> | <i>Rb</i> |
| | .436(**) | 0.01 | .157(**) | - | - | .190(**) | .298(**) | -0.002 | - | .215(**) | .409(**) |
| | | | | .143(**) | 0.044 | | | | | | .158(**) |

نیکل یکی از عناصری است که وابستگی بسیار زیادی به سنگ‌های منطقه از خود نشان میدهد

بنابراین واحدهای سنگ‌شناسی منطقه بر اهمیت یا بی‌اهمیت بودن ناهنجاری‌های این عنصر دلالت دارد.

همانگونه که در جدول ناهنجاری های با اهمیت (جدول ۴۹-۲) و همچنین نقشه ارائه شده برای عنصر نیکل

مالحظه میشود نمونه های ذکر شده تماماً ناهنجاری درجه دو از خود نشان میدهند و به علت بی اهمیت

بودن این ناهنجاری ها، لزومی به تشریح چنین ناهنجاری هایی وجود ندارد (نقشه ۱۳).

جدول ۴۹-۲- توصیف ناهنجارهای عنصر نیکل در محدوده مورد مطالعه کلیر

| ردیف | نام ناهنجاری | تعداد (عدد) | ایستگاه نمونه برداری | | میانگین | میانگین استاندارد |
|------|--------------------------------------|---------------|----------------------|---------|----------|-------------------|
| | | | Y | X | | |
| - | $K_u^{\parallel}, K_u^{\perp}$ | 81 | 685209 | 4279210 | K.86.409 | ۲ |
| - | $K_u^{\parallel}, K_u^{\perp}$ | 71 | 686963 | 4280630 | K.86.416 | ۲ |
| - | $O_{mg} \cdot K_u^{\parallel} / E_p$ | 62 | 689055 | 4266256 | K.86.163 | ۲ |
| - | $K_u^{\parallel}, K_u^{\perp}$ | 59 | 684636 | 4278950 | K.86.408 | ۲ |
| - | $O_{mg} \cdot K_u^{\parallel}$ | 58 | 688545 | 4270680 | K.86.102 | ۲ |

۱۴-۲- توصیف ناهنجارهای عنصر سرب

این عنصر دارای مقدار میانگین ۵۵/۰۰۵، بیشترین و کمترین مقدار آن به ترتیب ۱۷۳ و ۴/۱۰ ppm

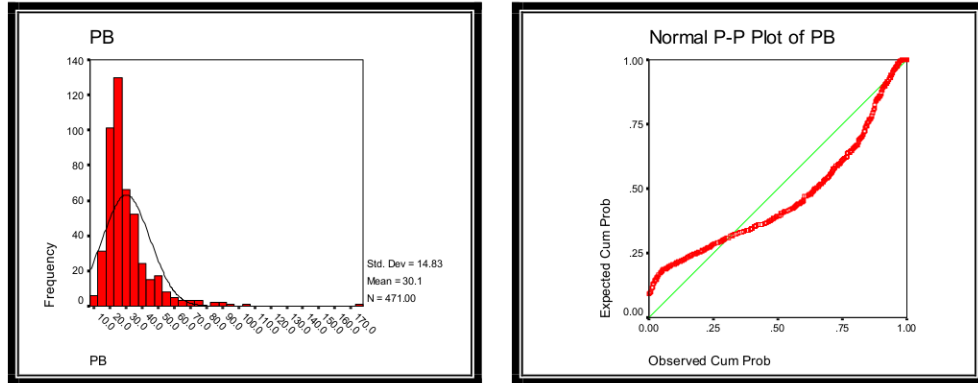
چولگی و کشیدگی ۳/۳۷ و ۱۲/۳۶، انحراف استاندارد و واریانس آن به ترتیب ۸/۱۴ و ۹/۲۱ میباشد که موید

غیر نرمال بودن توزیع داده های این عنصر است (جدول ۵۰-۲) (نمودار ۲۰-۲)، خطای محاسبه شده برای این

عنصر برابر با ۶۶/۱۲ میباشد که تا حدودی قابل قبول میباشد.

جدول ۵۰-۲- پارامترهای آماری داده های خام عنصر سرب در محدوده مطالعاتی کلیر

| Pb | N | | Mean | Median | Mode | Std. Dev. | Variance | Skewness | Kurtosis | Minimum | Maximum |
|----|-------|---------|--------|--------|------|-----------|----------|----------|----------|---------|---------|
| | Valid | Missing | | | | | | | | | |
| | 471 | 0 | 30.055 | 26 | 24.8 | 14.829 | 219.905 | 3.369 | 21.355 | 10.4 | 173 |



نمودار ۲۰-۲- هیستوگرام و منحنی تابع توزیع احتمالی داده‌های خام عنصر سرب

ضریب همبستگی سرب با سایر عناصر نشان میدهد که سرب به استثناء طلا، کروم، مولیبدن، بیسموت، جیوه و لانتانیوم با دیگر عناصر و در سطح اعتماد قابل قبول ۹۹ درصد دارای همبستگی مناسب و معنی دار میباشد به طوری که ضریب همبستگی این عنصر با مس و تنگستن منفی و با بقیه عناصر مثبت میباشد، بیشترین ضریب همبستگی این عنصر با زیرکونیم (۰/۴۹۰) دیده میشود (جدول ۲-۵۱).

جدول ۲-۵۱- ضرایب همبستگی داده‌های خام عنصر سرب در محدوده مطالعاتی کلیر

| | <i>Au</i> | <i>Cr</i> | <i>Mo</i> | <i>Ni</i> | <i>Be</i> | <i>La</i> | <i>Sc</i> | <i>Li</i> | <i>Zr</i> | <i>Ba</i> | <i>Ag</i> | |
|-----------|-----------|-----------|-----------|-----------|-----------|-----------|-----------|-----------|-----------|-----------|-----------|----------|
| <i>Pb</i> | -.091(*) | 0.043 | -.106(*) | .206(**) | .466(**) | .107(*) | - | .163(**) | .490(**) | .122(**) | .457(**) | |
| | <i>AS</i> | <i>Bi</i> | <i>Co</i> | <i>Cu</i> | <i>Hg</i> | <i>Sb</i> | <i>Zn</i> | <i>Sn</i> | <i>W</i> | <i>Cd</i> | <i>Rb</i> | |
| | .436(**) | 0.01 | .157(**) | - | .143(**) | -0.044 | .190(**) | .298(**) | -0.002 | - | .409(**) | .158(**) |



نمونه‌های ناهنجار این عنصر با شدت درجه یک به تعداد ۵ نمونه در بخش‌های مختلف منطقه

پراکنده می‌باشد و تنها دو نمونه با شماره‌های K.86.38، K.86.36 با عناصر آنتیموان و روی همبود نشان

میدهد (جدول ۵۲-۲) (نقشه ۱۴).

جدول ۵۲-۲- توصیف ناهنجارهای عنصر سرب در محدوده مورد مطالعه کلیر

| نموده کلیر | نمک | (ppm) | ایستگاه نمونه برداری | | شماره نمونه | نامهای ناهنجاری |
|------------|-------------------------------------|-------|----------------------|---------|-------------|-----------------|
| | | | Y | X | | |
| Zn, Sb | $E_p^l \cdot O_{mg} \cdot K_u^{ml}$ | 173 | 691423 | 4271098 | K.86.38 | ۱ |
| Zn, Sb | $E_p^l \cdot O_{mg} \cdot K_u^{ml}$ | 105 | 692049 | 4272560 | K.86.36 | ۱ |
| | $E_p^l \cdot O_{mg} \cdot K_u^{ml}$ | 93 | 691369 | 4272260 | K.86.24 | ۱ |
| | $E_p^l \cdot O_{mg} \cdot K_u^{ml}$ | 91.7 | 691241 | 4270970 | K.86.39 | ۱ |
| | $E_p^l \cdot O_{mg} \cdot K_u^{ml}$ | 90.3 | 690915 | 4272190 | K.86.22 | ۱ |
| | $E_p^l \cdot K_u^{ml}$ | 85.8 | 691788 | 4274270 | K.86.5 | ۲ |
| | $E_p^l \cdot K_u^{ml}$ | 82.6 | 691485 | 4273910 | K.86.8 | ۲ |
| | $E_p^l \cdot K_u^{ml}$ | 74.5 | 691256 | 4273640 | K.86.9 | ۲ |
| Zn | $E_p^l \cdot O_{mg} \cdot K_u^{ml}$ | 74.1 | 692049 | 4272780 | K.86.35 | ۲ |
| | $E_p^l \cdot O_{mg} \cdot K_u^{ml}$ | 72.5 | 691206 | 4272780 | K.86.28 | ۲ |
| | $E_p^l \cdot O_{mg} \cdot K_u^{ml}$ | 72.3 | 691406 | 4271173 | K.86.37 | ۲ |
| Zn, Sb | $E_p^l \cdot O_{mg} \cdot K_u^{ml}$ | 71.7 | 691893 | 4272580 | K.86.34 | ۲ |
| | O_{mg} | 67.8 | 690576 | 4275011 | K.86.328 | ۲ |
| | $E_p^l \cdot O_{mg} \cdot K_u^{ml}$ | 65.1 | 691885 | 4272770 | K.86.33 | ۲ |
| Zn, Sb | $E_p^l \cdot O_{mg} \cdot K_u^{ml}$ | 63.4 | 690830 | 4273330 | K.86.17 | ۲ |
| | $E_p^l \cdot O_{mg} \cdot K_u^{ml}$ | 63.1 | 689372 | 4271740 | K.86.61 | ۲ |
| | $E_p^l \cdot K_u^{ml}$ | 62.2 | 692205 | 4273810 | K.86.2 | ۲ |
| | $E_p^l \cdot O_{mg} \cdot K_u^{ml}$ | 59.2 | 691795 | 4271770 | K.86.32 | ۲ |
| | $E_p^l \cdot O_{mg} \cdot K_u^{ml}$ | 59.1 | 691787 | 4271480 | K.86.40 | ۲ |

۱۴-۲- توصیف ناهنجارهای عنصر آنتیموان

این عنصر دارای مقدار میانگین $1/87$ ، بیشترین و کمترین مقدار آن به ترتیب 11 و $0/3$ ppm

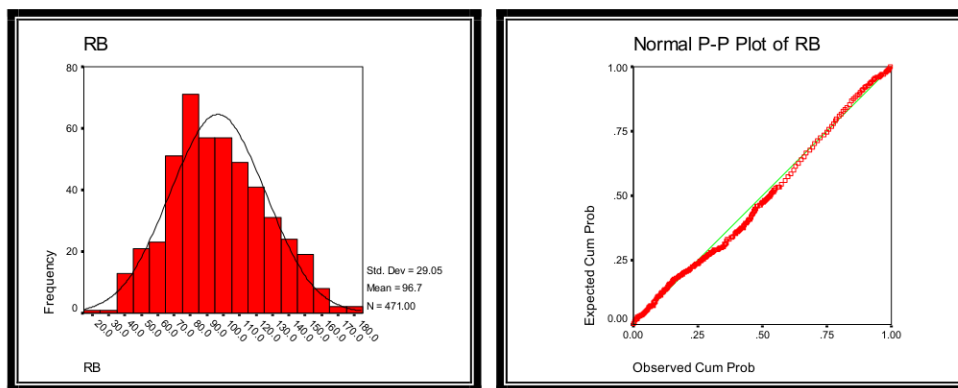
چولگی و کشیدگی $2/51$ و $9/92$ ، انحراف استاندارد و واریانس آن به ترتیب $1/36$ و $1/85$ میباشد که

غیرنرمال بودن توزیع داده های این عنصر را نشان میدهد (جدول ۲۱-۲) (نمودار ۵۳-۲) است، خطای محاسبه

شده برای این عنصر برابر با $10/66$ میباشد که تا حدودی قابل قبول میباشد.

جدول ۲۱-۲- پارامترهای آماری داده های خام عنصر آنتیموان در محدوده مطالعاتی کلیر

| نام | N | | Mean | Median | Mode | Std. Dev. | Variance | Skewness | Kurtosis | Minimum | Maximum |
|-----|-------|---------|-------|--------|------|-----------|----------|----------|----------|---------|---------|
| | Valid | Missing | | | | | | | | | |
| | 471 | 0 | 1.872 | 1.5 | 0.7 | 1.36 | 1.849 | 2.512 | 9.924 | 0.3 | 11 |



نمودار ۲۱-۲- هیستوگرام و منحنی تابع توزیع احتمالی داده های خام عنصر آنتیموان

ضریب همبستگی آنتیموان با سایر عناصر نشان میدهد که این عنصر با بیشتر عناصر و در سطح

اعتماد قابل قبول ۹۹ درصد دارای همبستگی مناسب میباشد به طوری که ضریب همبستگی این عنصر با



کبالت، مس و اسکاندیوم منفی و با بقیه عناصر مثبت میباشد، بیشترین ضریب همبستگی این عنصر با

آرسنیک(۰/۵۱۸) سرب (۰/۶۳۵) دیده میشود(جدول ۲-۵۴).

جدول ۲-۵۴- ضرایب همبستگی داده‌های خام عنصر آنتیموان در محدوده مطالعاتی کلیر

| | <i>Au</i> | <i>Cr</i> | <i>Mo</i> | <i>Ni</i> | <i>Be</i> | <i>La</i> | <i>Sc</i> | <i>Li</i> | <i>Zr</i> | <i>Ba</i> | <i>Ag</i> | |
|-----------|-----------|-----------|-----------|-----------|-----------|-----------|-----------|-----------|-----------|-----------|-----------|----------|
| <i>qS</i> | -0.082 | 0.057 | -103(*) | .190(**) | .320(**) | -0.089 | - | .137(**) | .294(**) | .215(**) | .347(**) | |
| | <i>AS</i> | <i>Bi</i> | <i>Co</i> | <i>Cu</i> | <i>Hg</i> | <i>pb</i> | <i>Zn</i> | <i>Sn</i> | <i>W</i> | <i>Cd</i> | <i>Rb</i> | |
| | .518(**) | .258(**) | - | .149(**) | .162(**) | -0.02 | .635(**) | .375(**) | -0.048 | 0.086 | .321(**) | .397(**) |

این عنصر به همراه عناصری مانند کادمیم، جیوه و آرسنیک در بیشتر کانسارها به عنوان

یک ردیاب بسیار مهم مورد توجه ژئوشیمیست‌ها است و کوچکترین تغییرات آن مورد توجه قرار

می‌گیرد، (جدول ۲-۵۵) (نقشه ۱۵) و با عنصر آرسنیک همراهی میشود.

جدول ۲-۵۵- توصیف ناهنجارهای عنصر آنتیموان در محدوده مورد مطالعه کلیر

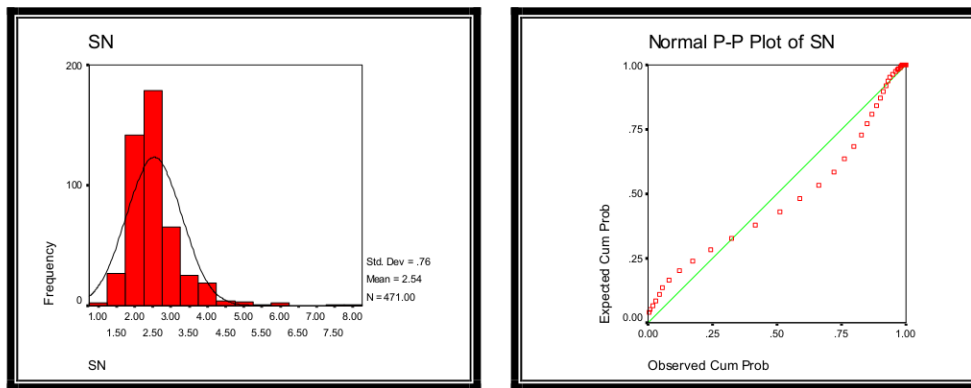
| ردیاب | نمودار | نام | ایستگاه نمونه برداری | | ردیاب | نام |
|-----------|-------------------------------------|-----|----------------------|---------|-----------------|-----|
| | | | Y | X | | |
| <i>As</i> | $K_u^{ll} \cdot K_u^t$ | 11 | 685678 | 4280540 | <i>K.86.414</i> | ۱ |
| <i>As</i> | $K_u^{ll} \cdot K_u^t$ | 9.2 | 686963 | 4280630 | <i>K.86.416</i> | ۲ |
| <i>As</i> | $K_u^{ll} \cdot K_u^t$ | 9.1 | 686912 | 4279510 | <i>K.86.417</i> | ۲ |
| | $E_p^l \cdot O_{mg} \cdot K_u^{ml}$ | 8.9 | 692425 | 4270830 | <i>K.86.44</i> | ۲ |
| | $E_p^l \cdot O_{mg} \cdot K_u^{ml}$ | 8.6 | 691413 | 4269795 | <i>K.86.46</i> | ۲ |
| | $E_p^l \cdot O_{mg} \cdot K_u^{ml}$ | 6.5 | 692466 | 4270390 | <i>K.86.47</i> | ۲ |
| <i>As</i> | $K_u^{ll} \cdot K_u^t$ | 6.2 | 686640 | 4280600 | <i>K.86.415</i> | ۲ |
| <i>As</i> | $E_p^l \cdot O_{mg} \cdot K_u^{ml}$ | 6 | 686251 | 4280620 | <i>K.86.413</i> | ۲ |
| | $E_p^l \cdot O_{mg} \cdot K_u^{ml}$ | 6 | 692434 | 4273510 | <i>K.86.4</i> | ۲ |
| | $K_u^{ll} \cdot K_u^t$ | 5.8 | 684739 | 4279980 | <i>K.86.412</i> | ۲ |
| | $K_u^{ll} \cdot K_u^t$ | 5.6 | 687991 | 4279690 | <i>K.86.440</i> | ۲ |
| | $E_p^l \cdot O_{mg} \cdot K_u^{ml}$ | 5.5 | 688545 | 4270680 | <i>K.86.102</i> | ۲ |

۱۴-۲-توصیف ناهنجارهای عنصر قلع

این عنصر دارای مقدار میانگین $2/45$ ppm، بیشترین و کمترین مقدار آن به ترتیب $8/2$ و $1/2$ ppm چولگی و کشیدگی $2/5$ و $11/9$ ، انحراف استاندارد و واریانس آن به ترتیب $0/76$ و $0/58$ میباشد که موید غیرنرمال بودن توزیع داده های عنصر قلع است (جدول ۲-۵۶) (نمودار ۲-۲۳)، خطای محاسبه شده برای این عنصر برابر با $6/49$ میباشد که غیر قابل قبول میباشد.

جدول ۲-۵۶- پارامترهای آماری داده های خام عنصر قلع در محدوده مطالعاتی کلیر

| S | N | | Mean | Median | Mode | Std. Dev. | Variance | Skewness | Kurtosis | Minimum | Maximum |
|---|-------|---------|-------|--------|------|-----------|----------|----------|----------|---------|---------|
| | Valid | Missing | | | | | | | | | |
| | 471 | 0 | 2.537 | 2.4 | 2.3 | 0.76 | 0.577 | 2.497 | 11.943 | 1.2 | 8.2 |



نمودار ۲-۲۲- هیستوگرام و منحنی تابع توزیع احتمالی داده های خام عنصر قلع

ضریب همبستگی قلع با سایر عناصر نشان میدهد که قلع به استثناء نیکل، لیتیوم، جیوه، آنتیموان و

تنگستن با بقیه عناصر و در سطح اعتماد ۹۹ درصد دارای همبستگی مناسب و معنی دار میباشد به طوری که

ضریب همبستگی این عنصر با طلا، باریوم، کبات و مس منفی و با بقیه عناصر مثبت میباشد در ضمن

بیشترین ضریب همبستگی این عنصر با سرب (۰/۶۳۵) و لانتانیوم (۰/۵۷۷) دیده میشود (جدول ۵۷-۲).

جدول ۵۷-۲- ضرایب همبستگی داده‌های خام عنصر قلع در محدوده مطالعاتی کلیر

| | <i>Au</i> | <i>Cr</i> | <i>Mo</i> | <i>Ni</i> | <i>Be</i> | <i>La</i> | <i>Sc</i> | <i>Li</i> | <i>Zr</i> | <i>Ba</i> | <i>Ag</i> |
|----------------------|---------------|-----------|---------------|---------------|-----------|-----------|-----------|-----------|-----------|---------------|-----------|
| | - .119(**) | .147(**) | .255(**) | -0.002 | .223(**) | .577(**) | .122(**) | .112(*) | .196(**) | - .301(**) | .196(**) |
| <i>S_n</i> | | | | | | | | | | | |
| | <i>AS</i> | <i>Bi</i> | <i>Co</i> | <i>Cu</i> | <i>Hg</i> | <i>pb</i> | <i>Zn</i> | <i>Sb</i> | <i>W</i> | <i>Cd</i> | <i>Rb</i> |
| | .518(**) | .258(**) | - .149(**) | - .162(**) | -0.02 | .635(**) | .375(**) | -0.048 | 0.086 | .321(**) | .397(**) |

در جدول ناهنجاری‌های عنصر قلع و با توجه به شدت ناهنجاری ۸ نمونه تقریباً با

ارزش در منطقه دیده میشود (جدول ۵۸-۲) (نقشه ۱۶) که مجموعاً با عناصر آرسنیک، لانتانیوم و

تنگستن همراهی میشوند.

جدول ۵۸-۲- توصیف ناهنجارهای عنصر قلع در محدوده مورد مطالعه کلیر

| ردیف ردیف ردیف | نام نام نام | (mm) ^۲ | ایستگاه نمونه برداری | | شماره شماره شماره | شدت نهنجاری نهنجاری نهنجاری |
|----------------------|-----------------------------------|-------------------|----------------------|---------|-------------------------|--------------------------------------|
| | | | Y | X | | |
| | $E_{an} \cdot O_{mg} \cdot K_u^H$ | 8.2 | 687315 | 4270230 | K.86.107 | ۱ |
| | $E_{an} \cdot O_{mg} \cdot K_u^H$ | 7.5 | 689945 | 4271830 | K.86.66 | ۱ |
| | O_{mg} | 5.9 | 687829 | 4274330 | K.86.296 | ۱ |
| <i>W, La</i> | $E_{an} \cdot O_{mg} \cdot K_u^H$ | 5.8 | 689372 | 4271740 | K.86.61 | ۱ |
| <i>W</i> | $E_{an} \cdot O_{mg} \cdot K_u^H$ | 5.7 | 685576 | 4272170 | K.86.270 | ۱ |
| <i>W, La, As</i> | $\cdot K_u^H$ | 5.1 | 690402 | 4280570 | K.86.450 | ۱ |
| | $E_{an} \cdot O_{mg} \cdot K_u^H$ | 5 | 686512 | 4270210 | K.86.243 | ۱ |
| | $E_{an} \cdot K_u^H$ | 5 | 690076 | 4267690 | K.86.151 | ۱ |

۱۴-۱۷-۲- توصیف ناهنجارهای عنصر تنگستن

این عنصر دارای مقدار میانگین $4/35$ ppm، بیشترین و کمترین مقدار آن به ترتیب $52/6$ و $1/1$ ppm است.

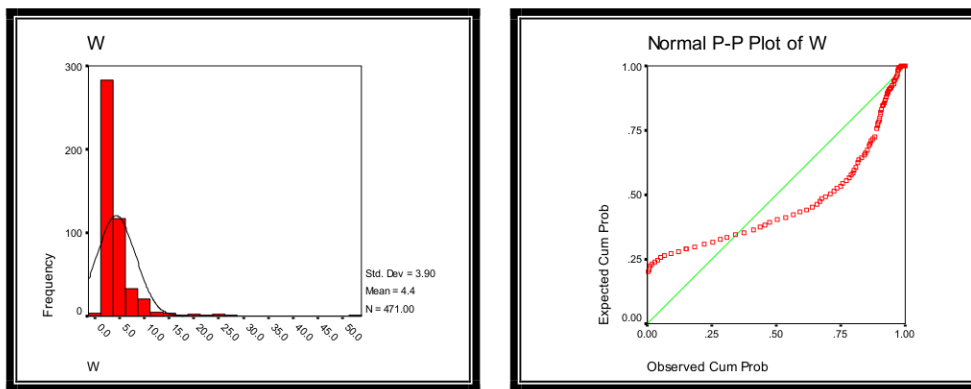
چولگی و کشیدگی $5/9$ و $56/2$ ، انحراف استاندارد و واریانس آن به ترتیب $3/9$ و $15/17$ میباشد که موید

غیر نرمال بودن توزیع داده‌های این عنصر است(جدول ۲-۵۹) (نمودار ۲-۲۲)، خطای محاسبه شده برای این

عنصر برابر با $21/54$ میباشد که تا حدودی غیر قابل قبول میباشد.

جدول ۲-۵۹-۲- پارامترهای آماری داده‌های خام عنصر تنگستن در محدوده مطالعاتی کلیر

| W | N | | Mean | Median | Mode | Std. Dev. | Variance | Skewness | Kurtosis | Minimum | Maximum |
|-----|-------|---------|-------|--------|------|-----------|----------|----------|----------|---------|---------|
| | Valid | Missing | | | | | | | | | |
| 471 | 0 | | 4.359 | 3.4 | 2.9 | 3.896 | 15.175 | 5.924 | 56.264 | 1.1 | 52.6 |



نمودار ۲-۲۳-۲- هیستوگرام و منحنی تابع توزیع احتمالی داده‌های خام عنصر تنگستن

ضریب همبستگی تنگستن با سایر عناصر نشان میدهد که قلع به استثناء طلا، کروم، نقره، جیوه،

آنیومان و قلع با بقیه عناصر و در سطح اعتماد ۹۹ درصد دارای همبستگی مناسب و معنی دار میباشد به

طوری که ضریب همبستگی این عنصر با نیکل، اسکاندیوم، لیتیوم، زیرکونیم، باریم، کبات و مس منفی و با



بقیه عناصر مثبت میباشد در ضمن بیشترین ضریب همبستگی این عنصر با سرب (۰/۶۳۵) دیده میشود

(جدول ۶۰-۲).

جدول ۶۰-۲- ضرایب همبستگی داده‌های خام عنصر تنگستن در محدوده مطالعاتی کلیر

| | <i>Au</i> | <i>Cr</i> | <i>Mo</i> | <i>Ni</i> | <i>Be</i> | <i>La</i> | <i>Sc</i> | <i>Li</i> | <i>Zr</i> | <i>Ba</i> | <i>Ag</i> | | |
|----------|-----------|-----------|-----------|-----------|-----------|-----------|-----------|-----------|-----------|-----------|-----------|----------|----------|
| <i>M</i> | -.107(*) | -.113(*) | .414(**) | - | .215(**) | .240(**) | .323(**) | - | .261(**) | .171(**) | .127(**) | .165(**) | 0.022 |
| | <i>AS</i> | <i>Bi</i> | <i>Co</i> | <i>Cu</i> | <i>Hg</i> | <i>pb</i> | <i>Zn</i> | <i>Sb</i> | <i>Sn</i> | <i>Cd</i> | <i>Rb</i> | | |
| | .518(**) | .258(**) | - | - | .149(**) | .162(**) | -0.02 | .635(**) | .375(**) | -0.048 | 0.086 | .321(**) | .397(**) |

در جدول زیر که ناهنجاری‌های با اهمیت برای عنصر تنگستن ارائه شده است، ملاحظه میشود که تمام نمونه‌های ناهنجار دارای شدت درجه یک بوده و تقریباً دارای ارزش زیادی میباشند (جدول ۶۱-۲) (نقشه ۱۷) که با عناصر قلع و لانتانیوم همراهی میشوند.

جدول ۶۱-۲- توصیف ناهنجاری‌های عنصر تنگستن در محدوده مورد مطالعه کلیر

| نام عکس | نام اسکن | (mm) ² | ایستگاه نمونه برداری | | نوع نمونه | نحوه تهییت نمونه |
|--------------|--|-------------------|----------------------|---------|-----------------|------------------|
| | | | Y | X | | |
| <i>Sn</i> | <i>O_{mg}</i> | 52.6 | 685576 | 4272170 | <i>K.86.270</i> | ۱ |
| <i>Sn,La</i> | <i>O_{mg}·K^{ll}_u</i> | 26.7 | 689372 | 4271740 | <i>K.86.61</i> | ۱ |
| - | <i>O_{mg}·K^{ll}_u</i> | 24 | 689560 | 4271420 | <i>K.86.60</i> | ۱ |
| - | <i>O_{mg}</i> | 24 | 685568 | 4278780 | <i>K.86.405</i> | ۱ |
| - | <i>O_{mg}</i> | 23.6 | 685245 | 4278040 | <i>K.86.395</i> | ۱ |
| - | <i>O_{mg}</i> | 20.6 | 687260 | 4276710 | <i>K.86.360</i> | ۱ |
| - | <i>O_{mg}</i> | 20.3 | 687292 | 4274970 | <i>K.86.292</i> | ۱ |
| - | <i>O_{mg}</i> | 17.1 | 688238 | 4277740 | <i>K.86.427</i> | ۱ |

۱۴-۲-توصیف ناهنجارهای عنصر روی

این عنصر دارای مقدار میانگین ۸۹/۳۱، بیشترین و کمترین مقدار آن به ترتیب ۲۳۴ و ۲۹

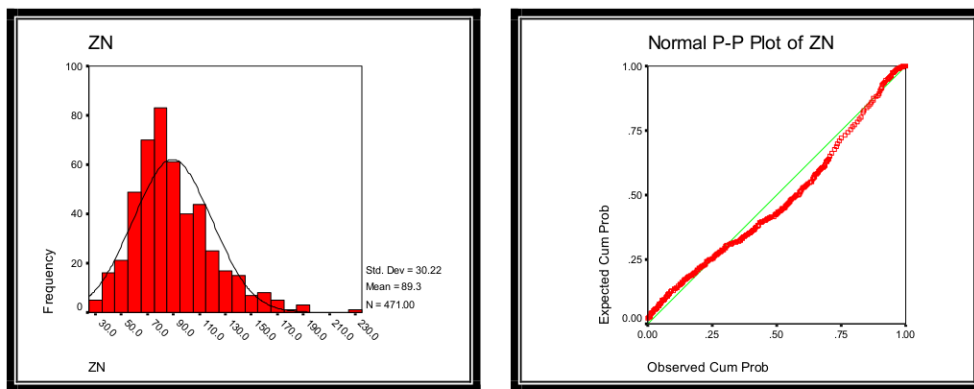
ppm چولگی و کشیدگی ۹/۰۴۵ و ۱/۶۴، انحراف استاندارد و واریانس آن به ترتیب ۳۰/۲۲ و ۹۶/۹۱۲

- میباشد که موید نرمال بودن تقریبی توزیع داده‌های این عنصر است (جدول ۶۲-۲) (نمودار ۲)

)، خطای محاسبه شده برای این عنصر برابر با ۱۵/۱۷ میباشد که تا حدودی قابل قبول میباشد.

جدول ۶۲-۲-پارامترهای آماری داده‌های خام عنصر روی در محدوده مطالعاتی کلیر

| ZN | N | | Mean | Median | Mode | Std. Dev. | Variance | Skewness | Kurtosis | Minimum | Maximum |
|----|-------|---------|-------|--------|--------|-----------|----------|----------|----------|---------|---------|
| | Valid | Missing | | | | | | | | | |
| | 471 | 0 | 89.31 | 83.8 | 108(a) | 30.22 | 912.96 | 0.923 | 1.459 | 29 | 234 |



نمودار ۶۴-۲-هیستوگرام و منحنی تابع توزیع احتمالی داده‌های خام عنصر روی

ضریب همبستگی تنگستن با سایر عناصر نشان میدهد که قلع به استثناء مولیبدن، باریم، مس، جیوه و روی با بقیه عناصر و در سطح اعتماد ۹۹ درصد دارای همبستگی مناسب و معنی‌دار میباشد به طوری که

ضریب همبستگی این عنصر با طلا منفی و با بقیه عناصر مثبت میباشد در ضمن بیشترین ضریب همبستگی

این عنصر با زیرکونیم (۰/۶۲۳) دیده میشود (جدول ۲-۶۳).

جدول ۲-۶۳- ضرایب همبستگی داده‌های خام عنصر روی در محدوده مطالعه کلیر

| <i>Z</i> | <i>Au</i> | <i>Cr</i> | <i>Mo</i> | <i>Ni</i> | <i>Be</i> | <i>La</i> | <i>Sc</i> | <i>Li</i> | <i>Zr</i> | <i>Ba</i> | <i>Ag</i> |
|----------|------------|-----------|-----------|-----------|-----------|-----------|-----------|-----------|-----------|-----------|-----------|
| | - .145(**) | .147(**) | -0.048 | .298(**) | .291(**) | .214(**) | .170(**) | .357(**) | .623(**) | 0.019 | .508(**) |
| | AS | <i>Bi</i> | <i>Co</i> | <i>Cu</i> | <i>Hg</i> | <i>pb</i> | <i>Zn</i> | <i>Sb</i> | <i>Sn</i> | <i>Cd</i> | <i>Rb</i> |
| | .518(**) | .157(**) | .245(**) | -0.049 | 0.019 | .641(**) | -0.031 | .375(**) | .337(**) | .498(**) | .199(**) |

این عنصر همانند سرب، آنتیموان و کادمیم یکی از با ارزش‌ترین عناصر منطقه محسوب

میشود که از بین نمونه‌های ذکر شده در جدول فوق، همگی نمونه‌ها با توجه به همراهی عناصر،

دارای ارزش بالایی میباشند (جدول ۲-۶۴) (نقشه ۱۸) که با عناصر سرب، آنتیموان و طلا همراهی

میشوند.

جدول ۲-۶۴- توصیف ناهنجارهای عنصر روی در محدوده مورد مطالعه کلیر

| نمودار ناهنجاری | شماره نمونه | Y | X | ایستگاه نمونه برداشی | | نام عکس |
|-----------------|-------------|---------|--------|--------------------------------------|------|---------|
| | | | | واحد | (μm) | |
| ۱ | K.86.36 | 4272560 | 692049 | $E_p^l \cdot K_u^{ll}$ | 234 | pb, Sb |
| ۲ | K.86.38 | 4271098 | 691423 | $E_p^l \cdot K_u^{ll}$ | 193 | pb, Sb |
| ۲ | K.86.183 | 4267816 | 687880 | $E_{an} \cdot O_{mg} \cdot K_u^{ll}$ | 190 | - |
| ۲ | K.86.35 | 4272780 | 692049 | $E_p^l \cdot K_u^{ll}$ | 187 | pb |
| ۲ | K.86.17 | 4273330 | 690830 | $E_p^l \cdot K_u^{ll}$ | 182 | Au |
| ۲ | K.86.133 | 4266786 | 690739 | $E_p^l \cdot O_{mg} \cdot K_u^{ml}$ | 174 | - |
| ۲ | K.86.34 | 4272580 | 691893 | $E_p^l \cdot K_u^{ll}$ | 173 | pb, Sb |
| ۲ | K.86.37 | 4271173 | 691406 | $E_p^l \cdot K_u^{ll}$ | 169 | pb, Sb |
| ۲ | K.86.220 | 4267670 | 685048 | E_{an} | 167 | - |



۱۴-۲- توصیف ناهنجارهای فاکتوری

همانگونه که در بخش پردازش‌های چند متغیره ذکر شده است هفت عامل زیر در منطقه

معرفی شده است:

عامل شماره یک: این عامل شامل متغیرهایی Zn,Sb,Zr,Ag,As,Sn,Pb می‌باشد که با

توجه به متغیرهای بدست آمده ارتباط این عناصر کاملاً معنی دار می‌باشند که با ناهنجاری

های درجه دو بیشتر در جنوب خاوری روستای چوپانلار و شمال خاور روستای قلعه ملک

گسترش دارد(نقشه ۱۹).

عامل شماره دو: این عامل شامل روابط مثبت بین عناصر V,Cu,SC,Co می‌باشد

که با ناهنجاری درجه یک در شمال روستای قلعه‌داغ و ناهنجاری درجه دو بیشتر در اطراف

روستای چوپانلار و شمال روستای قشلاق گسترش دارد(نقشه ۲۰).

عامل شماره سه: این عامل شامل روابطی مثبت از عناصر Cr,Ni می‌باشد که با

ناهنجاری درجه یک در جنوب روستای قلعه‌داغ، شمال باختری روستای قشلاق و باختر

روستای قلعه ملک گسترش دارد(نقشه ۲۱).

عامل شماره چهار: این عامل شامل عناصر Mo,La,W می‌باشد که با ناهنجاری

درجه یک بین روستاهای قلعه ملک و روستای چوپانلار گسترش دارد(نقشه ۲۲).

عامل شماره پنجم: این عامل شامل عنصر Sb,Ba,Au,Rb است که با ناهنجاری درجه

یک اطراف روستای چوپانلار گسترش دارد(نقشه ۲۳).



عامل شماره شش: این عامل شامل عناصر As, Sb, Cd است که با ناهنجاری درجه یک در جنوب روستای قلعه داغ و شمال باختری روستای قشلاق گسترش دارد (نقشه ۲۴).

عامل شماره هفت: این عامل شامل عناصر Hg است که با ناهنجاری درجه یک در جنوب روستای قلعه داغ گسترش دارد (نقشه ۲۵).

۱۵-۲- مناطق امیدبخش

مطالعات ژئوشیمیایی انجام شده منجر به شناسایی مناطقی امیدبخش برای تعدادی از عناصر به شرح ذیل شده است (نقشه ۲۶) :

۱۵-۱- منطقه امیدبخش شماره ۱ (target 1)

این منطقه ناهنجار که بزرگترین محدوده محسوب میشود در اطراف روستای چوپانلار واقع شده است. با توجه به نقشه زمین‌شناسی ۱:۱۰۰,۰۰۰ کلیر، کوارتزدیوریت تا گرانیت و گرانودیوریت، ایگنمبریت، گدازه‌های داسیتی، آندزیت پورفیری و تراکیت، توف و توف برش سبز خاکستری با ترکیب آندزیتی، شیل‌های سیلیتی و ماسه‌ای و مارن و سنگ آهک مارنی نازک لایه کرم متمایل به زرد است که برای عناصر Ba, Au,Pb,Zn,Cu,As ناهنجاری‌های نسبتاً با اهمیتی نشان میدهد.

۱۵-۲- منطقه امیدبخش شماره ۲ (target2)

منطقه امید بخش شماره ۲ در گوشه شمال خاوری منطقه مورد مطالعه قرار گرفته است و سنگ‌های این محدوده عمدها شامل ترادف ضخیمی از توف و توف برش سبز خاکستری با ترکیب آندزیتی است و برای عنصر Au دارای ناهنجاری می‌باشد.



۱۵-۳- منطقه امیدبخش شماره ۳ (target3)

این محدوده در گوشه جنوب باختری منطقه مورد مطالعه واقع شده است و سنگهای این منطقه شامل کوارتزدیوریت تا گرانیت و گرانودیوریت، ایگنمبریت، گدازه‌های داسیتی، آندزیت پورفیری و تراکیت، توف و توف برش سبز خاکستری با ترکیب آندزیتی، شیل‌های سیلیتی و ماسه‌ای و مارن و سنگ آهک مارنی نازک لایه کرم متمایل به زرد است که برای عناصر Au ناهنجاری نشان میدهد.

۱۵-۴- منطقه امیدبخش شماره ۴ (target3)

این محدوده در جنوب روستای چوپانلار و شمال روستای قلعه ملک واقع شده است و سنگهای این منطقه شامل کوارتزدیوریت تا گرانیت و گرانودیوریت است که برای عناصر La, W, Sn ناهنجاری نشان میدهد.



پی جویی به روش اکتشاف ژئوشیمیایی ۱:۲۵۰۰ در محدوده اکتشافی کلیر ۲



فصل سوم

اکتشاف کانی‌های سنگین



۱-۳- مقدمه

نمونه برداری از رسوبات و نهشته‌های آبرفتی به روش مطالعاتی کانی سنگین یکی از روشهای تعیین کننده و شاخص در معوفی نواحی کانسارساز و مناطق امیدبخش معدنی بشمار می‌رود. تجربیات چند ساله اخیر نشان داده است که روشهای آنالیز دستگاهی بر روی نمونه‌های ژئوشیمیایی به تنها یی نمی‌تواند راهنمای مناسبی در جهت دستیابی به مناطق امیدبخش معدنی گردد. مزایای زیادی در روش مطالعاتی کانی سنگین موجود بوده که بصورت چکیده به برخی از آنها اشاره می‌نماییم.

۱- بررسی مستقیم کانی و مشاهده گروه عمده کانی‌های اقتصادی.

۲- قرارگرفتن قریب به اتفاق کانی‌های ارزشمند اقتصادی در گروه کانی‌های سنگین

۳- شناخت فاز شکل گیری کانی‌ها و بکارگیری این اطلاعات از زمینه مطالعات فنی و اقتصادی و برآورد چگونگی بازیابی مواد معدنی، بطور مثال می‌توان با مطالعه کانی‌های سنگین به شناخت فازهای سولفیدی کانی‌ها (گالن، پیریت، اسفالریت) فازهای اکسیدی (هماتیت، منیتیت، کرومیت و ...) و فازهای عنصری (طلاء، نقره، مس طبیعی، سرب طبیعی، پلاتین و ...) دست یافت، در صورتی که در آنالیز عنصری با توجه به نوع حلال بکار برده شده، عناصر موجود در فازهای سیلیکاته که بطور معمول در صنعت قابل بازیابی نباشند نیز محاسبه می‌شوند، که این امر در بسیاری موارد تفسیر داده‌های ژئوشیمیایی را مورد تردید قرار می‌دهد.

۴- شناخت انحصاری برخی از کانی‌ها که تنها به روش مطالعاتی کانی سنگین قابل شناسایی و شناخت بوده است. بطور مثال در پژوهه اکتشافات ژئوشیمیایی در محور یزد- سبزواران نوعی از مونازیت به نام رابدوفان مورد شناسایی و مطالعه قرار گرفته که تنها به وسیله این روش مطالعاتی قابل شناسایی بوده



است. برخی از کانی‌های جواهری که آنالیز شیمیایی قادر به اندازه‌گیری آنها نمی‌باشد همانند آمیتیست، سافیر، کرندوم، روی و ... تنها به این روش مطالعاتی قابل شناخت و اندازه‌گیری می‌باشند. تجمعی از کانی‌های صنعتی همانند گارنت‌ها و زیرکن که در صنایع ساینده و الکتریکی و زیستی مصارف عمده‌ای دارند می‌توانند در ذخایر پلاسرب انباشتگی‌های قابل توجهی را تشکیل دهند.

۵- کسب اطلاعات ارزشمند از شکل و اندازه دانه و نحوه فرم هر کانی که معرف دوری و نزدیکی از منشأ کانی‌سازی و میزان فرسایش می‌باشد.

۶- پاراژنرهای ساخته شده کانی‌های سنگین حتی در صورت فقدان کانی‌های ارزشمند تا حدود زیادی معرف پتانسیل حوضه‌های آبریز می‌باشند، بطور مثال در پاره‌ای از نمونه‌ها شناسایی و مطالعه کانی‌های باریت، پیریت، اکسیدی، گارنت و ... منجر به دستیابی نواحی ارزشمندی از کانسارهای سرب، روی و طلا شده است.

۷- کوتاه کردن زمان یک پروژه اکتشافی و در پی آن صرفه‌جویی در هزینه و وقت.

۸- یافتن الگوی پراکندگی رسوبات و تعیین وضعیت رخساره‌های سنگی گسترش یافته در ناحیه و خاستگاه بالقوه کانی‌های ارزشمند اقتصادی.

در ناحیه مورد مطالعه و در وسعتی به تقریب ۴۰ کیلومترمربع ۹۲ نمونه کانی سنگین از رسوبات آبرفتی گسترش یافته برداشت شده که تراکم نمونه‌برداری به ازای هر کیلومترمربع برابر با $\frac{2}{3}$ نمونه است. نمونه‌های برداشت شده به حجم ۱۰ لیتر و بدون دانه‌بندی و از رسوبات غیرهمگن برداشت شده است. در محدوده اکتشافی کلیر مهمترین کانی‌های کانسار ساز به شرح زیر درجه‌بندی و توصیف شده‌اند.



۲-۳-پردازش داده‌های کانی سنگین

۲-۳-۱-فایل بندی داده‌ها

اطلاعات دریافتی به صورت فایل محاسبات گرم برتن گزارش می‌شود، این فایل برای محاسبات

آماری آمده و مورد استفاده قرار می‌گیرد.

۲-۳-۲-مطالعات آماری

در محدوده کلیبر به تعداد ۱۴۰ موقعیت برای نمونه‌برداری کانی سنگین انتخاب و مورد برداشت

قرار گرفت، نمونه‌های کانی سنگین بعد از آماده‌سازی مورد مطالعه میکروسکوپی قرار گرفت (نتایج خام به

طور کامل در پیوست ۴ ارائه شده است)، نتایج حاصله مورد پردازش واقع و با استفاده از برنامه‌های آماری

اس‌پی‌اس‌اس، مورد تحلیل قرار گرفت، در جدول ۳-۱ پارامترهای آماری مربوط به کانی‌های سنگین منطقه

کلیبر ارائه شده است. لازم به ذکر است که معمولاً اعتبار آنها مشکوک تلقی می‌شود مگر اینکه داده‌های با

تعداد کافی و توزیع مناسب بکار گرفته می‌شود.

جدول ۱-۳- پارامترهای آماری نمونه‌های کانی سنگین در محدوده کلیبر

| | <i>N</i> | <i>Mean</i> | <i>Median</i> | <i>Mode</i> | <i>Std. Deviation</i> | <i>Variance</i> | <i>Skewness</i> | <i>Kurtosis</i> | <i>Minimum</i> | <i>Maximum</i> | |
|---------------|--------------|----------------|---------------|-------------|-----------------------|-----------------|-----------------|-----------------|----------------|----------------|--------|
| | <i>Valid</i> | <i>Missing</i> | | | | | | | | | |
| ANATASE | 140 | 0 | 0.56 | 0.06 | 0 | 2.94 | 8.67 | 7.824 | 64.263 | 0 | 27.5 |
| APATITE | 140 | 0 | 12.78 | 0.44 | 0.1 | 31.04 | 963.62 | 4.735 | 30.821 | 0 | 262.1 |
| BARITE | 140 | 0 | 2.72 | 0.07 | 0 | 7.75 | 60.06 | 3.61 | 14.004 | 0 | 48.8 |
| CERUSSITE | 140 | 0 | 0.00 | 0.00 | 0 | 0.03 | 0.00 | 7.207 | 54.974 | 0 | 0.3 |
| GALENA | 140 | 0 | 0.01 | 0.00 | 0 | 0.06 | 0.00 | 6.366 | 43.462 | 0 | 0.4 |
| NATIVE COPPER | 140 | 0 | 0.00 | 0.00 | 0 | 0.06 | 0.00 | 11.632 | 140 | 0 | 0.7 |
| PYRITE | 140 | 0 | 0.18 | 0.00 | 0 | 0.64 | 0.41 | 8.911 | 92.418 | 0 | 7 |
| PYRITE(OXIDE) | 140 | 0 | 111.02 | 3.54 | 0 | 290.44 | 84356.34 | 3.98 | 17.547 | 0 | 1905.4 |
| RUTILE | 140 | 0 | 0.12 | 0.00 | 0 | 0.24 | 0.06 | 2.922 | 10.373 | 0 | 1.4 |
| SPHENE | 140 | 0 | 71.03 | 4.46 | 0 | 123.82 | 15330.84 | 2.503 | 7.638 | 0 | 689.9 |
| ZIRCON | 140 | 0 | 79.76 | 0.71 | 0.1 | 163.78 | 26824.76 | 3.043 | 10.17 | 0 | 907.2 |
| MASSICOTE | 140 | 0 | 0.01 | 0.00 | 0 | 0.06 | 0.00 | 7.695 | 61.002 | 0 | 0.5 |
| SCHEELITE | 140 | 0 | 0.13 | 0.00 | 0 | 0.36 | 0.13 | 3.732 | 16.41 | 0 | 2.4 |
| THORITE | 140 | 0 | 0.63 | 0.00 | 0 | 5.19 | 26.90 | 11.279 | 130.315 | 0 | 60.5 |
| SPINELL | 140 | 0 | 0.96 | 0.00 | 0 | 11.02 | 121.54 | 11.631 | 139.976 | 0 | 130.5 |
| MOLYBDENITE | 140 | 0 | 0.00 | 0.00 | 0 | 0.04 | 0.00 | 9.779 | 101.635 | 0 | 0.4 |
| PYROLUSITE | 140 | 0 | 0.01 | 0.00 | 0 | 0.06 | 0.00 | 6.935 | 48.814 | 0 | 0.5 |
| PYROMORPHITE | 140 | 0 | 0.00 | 0.00 | 0 | 0.04 | 0.00 | 9.867 | 102.104 | 0 | 0.4 |
| FLUORITE | 140 | 0 | 0.29 | 0.00 | 0 | 3.38 | 11.43 | 11.832 | 139.998 | 0 | 40 |
| WULFENITE | 140 | 0 | 0.00 | 0.00 | 0 | 0.01 | 0.00 | 11.832 | 140 | 0 | 0.1 |
| GOLD | 140 | 0 | 0.01 | 0.00 | 0 | 0.05 | 0.00 | 7.167 | 51.681 | 0 | 0.4 |
| CELESTINE | 140 | 0 | 0.01 | 0.00 | 0 | 0.07 | 0.00 | 6.053 | 40.58 | 0 | 0.6 |
| MALACON | 140 | 0 | 4.86 | 0.00 | 0 | 38.57 | 1487.58 | 10.388 | 114.28 | 0 | 435.6 |
| MALACHITE | 140 | 0 | 0.03 | 0.00 | 0 | 0.19 | 0.03 | 7.719 | 64.398 | 0 | 1.8 |
| BORNITE | 140 | 0 | 0.01 | 0.00 | 0 | 0.08 | 0.01 | 6.128 | 38.514 | 0 | 0.6 |
| CHALCOPYRITE | 140 | 0 | 0.00 | 0.00 | 0 | 0.04 | 0.00 | 9.663 | 99.474 | 0 | 0.4 |
| CHROMITE | 140 | 0 | 0.00 | 0.00 | 0 | 0.01 | 0.00 | 11.832 | 140 | 0 | 0.1 |
| LITHARGE | 140 | 0 | 0.00 | 0.00 | 0 | 0.02 | 0.00 | 11.832 | 140 | 0 | 0.3 |
| MARCASITE | 140 | 0 | 0.00 | 0.00 | 0 | 0.06 | 0.00 | 11.832 | 140 | 0 | 0.5 |
| SPHALERITE | 140 | 0 | 0.01 | 0.00 | 0 | 0.03 | 0.00 | 6.201 | 39.242 | 0 | 0.2 |
| CINNABAR | 140 | 0 | 0.00 | 0.00 | 0 | 0.03 | 0.00 | 9.124 | 86.252 | 0 | 0.3 |

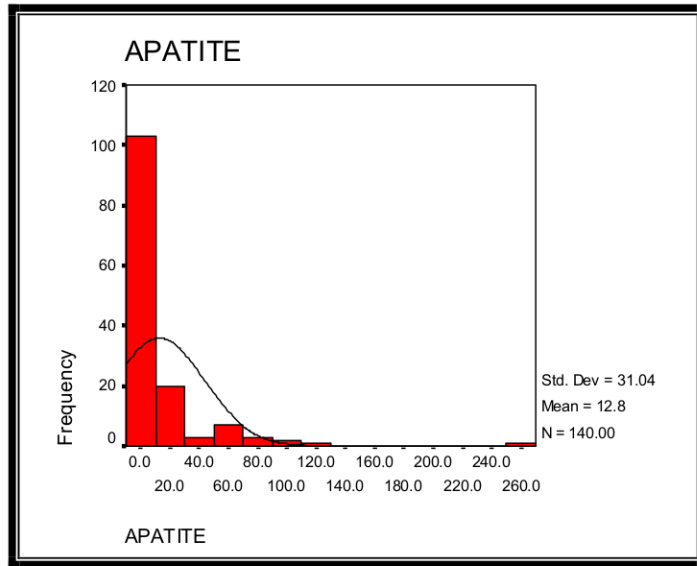
۳-۲-۳- نمودارهای هیستوگرام

نمودارهای هیستوگرام بسادگی وضعیت توزیع عیاری مربوط به کانی‌های سنگین در منطقه کلیبر را

نمایش می‌دهند (نمودار ۳-۱) (پیوست ۵) اما ظاهر آن شکل نیست، در واقع چنین نموداری گویای خوبی

برای پراکندگی کانی‌های سنگین نیست چرا که نمونه‌های کانی سنگین میتوانند نوعی نمونه انتخابی مد نظر

قرار گیرد زیرا یک نمونه توسط افراد مختلف میتوانند منجر به نتایج کاملاً متفاوت شود.



نمودار ۳-۱- هیستوگرام کانی آپاتیت در منطقه کلیر

۳-۴- ضرایب همبستگی ژاکارد

از آنجائیکه داده‌های کانی سنگین بر حسب ذرات کاملاً گسیخته گزارش می‌شوند عملاً نمیتوان تحلیل‌های آماری شناخته شده از جمله، نمودارهای هیستوگرام، ضرایب همبستگی و .. در مورد آنها کاملاً بی معنی خواهد بود، راه حل مناسب در این مورد استفاده از کد صفر و یک برای حالاتی است که در نمونه‌ها، کانی سنگین حضور نداشته باشد و یا موجود باشد بنابراین می‌توان ضرایب همبستگی را با استفاده از این روش که روش ژاکارد نامیده می‌شود محاسبه کرد . جدول ۳-۲ نتایج حاصل از محاسبه ضرایب همبستگی بین مهمترین کانیهای مشاهده شده در نمونه‌های کانی‌های سنگین را به روش ژاکارد نمایش می‌دهد.



بی جویی به روش اکتشاف ژئوشیمیایی ۱:۲۵۰۰ در محدوده اکتشافی کلیر ۲





۴-۲-۳- پردازش چند متغیره

در تحلیل‌های مختلف به منظور تفسیر نهایی رفتار و رخدادهای متعدد زمین‌شناختی و

ژئوشیمیایی موجود در پهنه مورد بررسی، همواره تشخیص ارتباط بین متغیرها مورد توجه بوده و

با ارزش تلقی می‌شود.

۴-۲-۴- آنالیز کلاستر

آنالیز کلاستر روشی بسیار قدرتمندی برای تحلیل چند متغیره شناخته شده است. در تحلیل

خوشه‌بندی (آنالیز کلاستر) داده‌های کانی‌سنگین از دو سری داده میتوان استفاده نمود :

الف- داده‌های خام اصلی متجه از مطالعات کانی‌سنگین

ب- داده‌های پردازش شده به صورت کد شده صفر و یک

در حالت (ب) به واقع داده‌ها به صورت کیفی خوشه‌بندی می‌شوند زیرا که تغییرات عیار در مورد

آنها بی‌معنی است . نمودارهای دندروگرام بیشتر به منظور استخراج همبودهای کانی‌های سنگین و تحلیل و

تفسیر آنها استفاده می‌شود .

۶-۲-۳- شرح نمودار دندروگرام

با دقت در روابط بدست آمده برای کانی‌های سنگین و توجه به نمودار درختی (دندروگرام)، میتوان

به این نتیجه رسید که در مطالعات کانی‌سنگین همواره روش‌های کیفی یا نیمه کیفی بر روش‌های کمی



ارجحیت دارند. براساس نمودار درختی (نمودار ۲-۳) کانی‌های سنگین مطالعه شده در محدوده کلیر

گروه‌های زیر تفکیک شده‌اند (گروه‌های تک کانی به علت پائین بودن اهمیت تشریح نشده است):

۱- اسپینل، توریت و طلا با ارتباط قوی از یکسو و زیرکن، گالن و مس طبیعی از سوی دیگر با ارتباط ضعیف‌تر با آنها در این گروه قرار دارند.

۲- آناتاز، سروزیت، باریت و اسفن با ارتباط نسبتاً خوبی در گروهی قرار دارند که معرف کانی‌هایی است که میتواند با واحدهای نفوذی و نیمه عمیق اسیدی مرتبط باشد.

۳- پیریت و سینابر با ارتباط بسیار قوی و مولیبدنیت با ارتباط ضعیف نسبت به آن در این گروه قرار دارد که جزء گروه‌های مهمی است و تا حدودی میتواند با کانی‌زایی‌های این کانیها مرتبط باشد.

۴- آپاتیت، شیلیت، مالاکیت و روتیل در گروهی دیگر میتواند معرف محیطی مشابه کانسارهای اسکارنهای مس و تنگستن است.

۵- بورنیت، مارکاسیت، کالکوپیریت و پیرولوسیت با ارتباط خوب در مهمترین گروه قرار دارند که میتواند معرف کانی‌زایی مس در منطقه در نظر گرفته شود.

۶- پیرومورفیت، سلسیتین و اسفالریت با ارتباط نسبتاً خوب در گروهی قرار دارند که میتواند معرف کانی‌زایی روی در منطقه باشد.

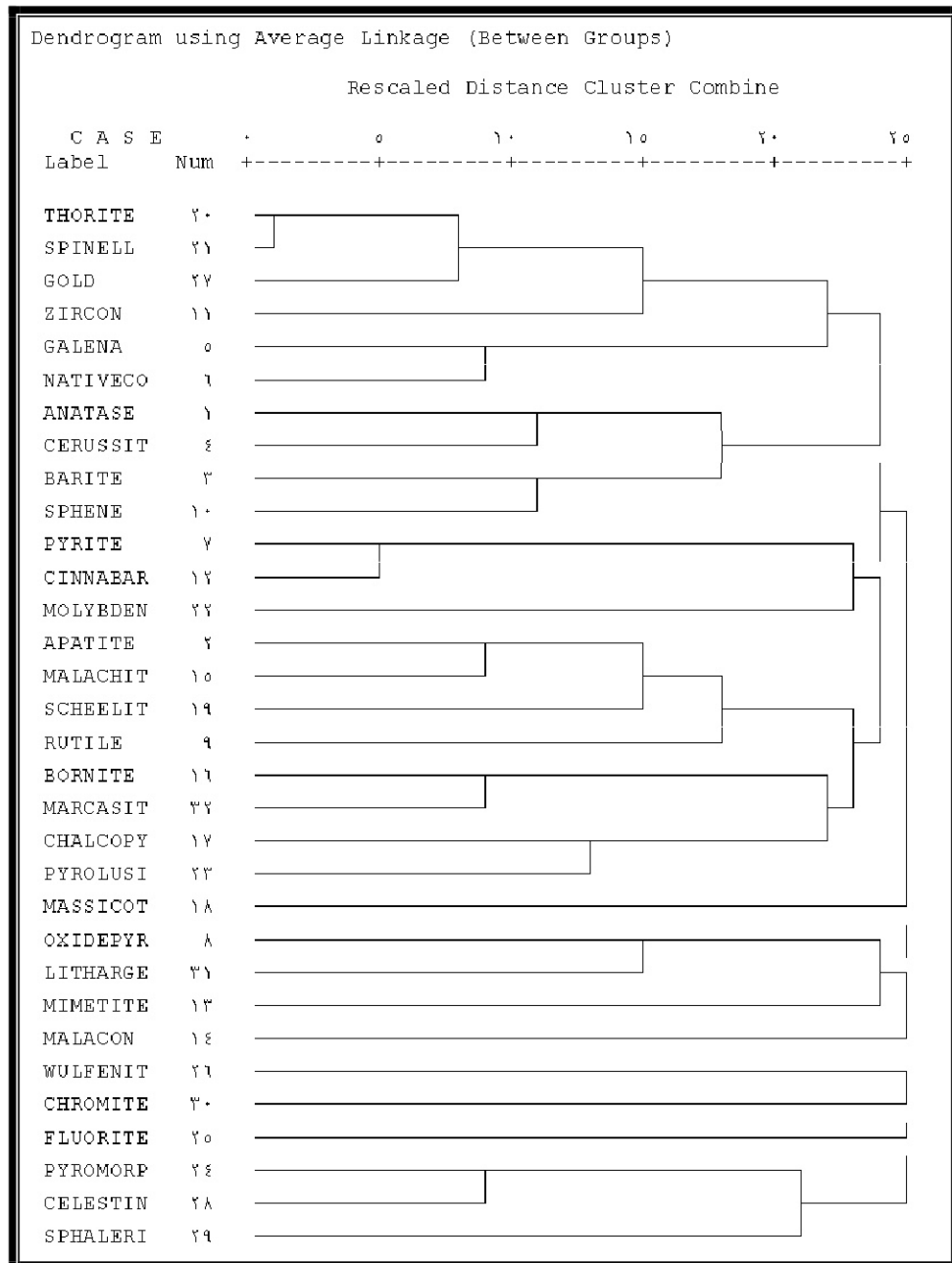
نکته قابل ذکر در مورد دیاگرام فوق عدم ارتباط منطقی بین کانی‌های دیده شده در نمونه‌های کانی سنگین است که این موضوع در مورد مطالعات کیفی (مطالعه نمونه‌های کانی سنگین) کاملاً قابل انتظار میباشد چرا که سلیقه فرد مطالعه کننده، جزء جدا شده از نمونه اصلی جهت مطالعه و دلایل دیگر در این مورد دخیل میباشد.



پی جویی به روش اکتشاف ژئوشیمیایی ۱:۲۵۰۰۰ در محدوده اکتشافی کلیر ۲



براساس پردازش‌های انجام شده بر روی داده‌های حاصل از مطالعات کانی‌سنگین نقشه‌های متنوعی می‌توان ترسیم نمود، از آنجاییکه معمولاً توزیع کانی‌های سنگین در تکنیک برداشت آبراهه‌ای بسیار پراکنده و گستره است، لذا معمولاً از ترسیم نمادین برای نمایش توزیع داده‌های کانی‌سنگین بهره برده می‌شود که در این پروژه از نمایش تک کانی استفاده شده است.



نمودار ۲-۳- نمودار درختی کانی های سنگین در محدوده کلیر



۳-۳-۳ نتایج حاصل از مطالعه کانی سنگین

۱-۳-۳ طلا

از ۱۴۰ نمونه برداشت شده از حوضه های آبریز محدوده اکتشافی کلیبر، ۲ نمونه با شماره های K.86.210 ، K.86.132 ، K.86.114 دارای اثراتی جزئی از طلا میباشد، سنگ های بالادست نمونه شماره K.86.210 شامل ترادف ضخیمی از سنگ های آتشفسانی با روند عمومی شمال باختر - جنوب خاور و ترکیب سنگ شناسی ایگنمبریت، گدازه های داسیتی، آندزیت پورفیری و تراکیت است که به طور گسترده تحت تاثیر فرایندهای گرمابی حاصل از مراحل پایانی فعالیت توده گرانیتی شیورdag قرار گرفته است و نتیجه آن ایجاد رگه هایی از آهن به همراه کانی های کالکوپیریت، مالاکیت و آزوریت میباشد، از طرف دیگر سنگ های بالادست نمونه های شماره K.86.114 و K.86.132 شامل ترادف ضخیمی از سنگ های آتشفسانی با ترکیب سنگ شناسی ایگنمبریت، گدازه های داسیتی، آندزیت پورفیری و تراکیت، کوارتزدیوریت تا گرانیت و گرانودیوریت و سنگ آهک نازک لایه خاکستری رنگ است که به احتمال قوی مجاورت واحدهای آهکی و رخساره توده گرانیتی موجود در منطقه برای کانی سازی نوع اسکارن همانند کانسارمزره شده است. محدوده های ناهنجار بدست آمده بروش کانی سنگین طلا، هیچگونه همپوشانی با نتایج بدست آمده از ناهنجاری ژئوشیمی طلا را نشان نمی دهد (نقشه ۲۷).

۲-۳-۳ کانی های خانواده مس

بارزترین کانی عنصر مس در محدوده اکتشافی کلیبر کانی مالاکیت میباشد اما میتوان اثراتی از کالکوپیریت، بورنیت و مس طبیعی را نیز مشاهده نمود، از ۱۴۰ نمونه کانی سنگین برداشت شده از محدوده

اکتشافی ۱۳ نمونه (جدول ۳-۳) حاوی اثراتی جزیی و پراکنده از کانی‌های خانواده این عنصر بوده

است (جدول ۳-۳) (نقشه ۲۸).

جدول ۳-۳- ناهنجاری‌های کانی‌های خانواده مس در محدوده مطالعاتی کلیر

| ردیف نامه نمونه | ایستگاه نمونه برداری | | (ppm) عیار | عنصر سنگی و یا معادن |
|-----------------------|----------------------|--------|---------------|-------------------------------|
| | X | Y | | |
| K.86.384 | 4275030 | 685167 | 1.79 | K_u^H |
| K.86.399 | 4278130 | 686853 | 1.43 | K_u^H |
| K.86.341 | 4278420 | 689767 | 0.91 | $K_u^H \cdot O_{mg}$ |
| K.86.343 | 4277660 | 689254 | 0.78 | $K_u^H \cdot O_{mg}$ |
| K.86.210 | 4265460 | 685054 | 0.69 | $K_u^H \cdot O_{mg}$ |
| K.86.429 | 4277990 | 689202 | 0.62 | $K_u^H \cdot O_{mg}$ |
| K.86.342 | 4278110 | 689900 | 0.3 | $K_u^H \cdot O_{mg}$ |
| K.86.86 | 4273280 | 689267 | 0.28 | $K_u^H \cdot O_{mg}$ |
| K.86.11 | 4273710 | 690961 | 0.16 | $K_u^H \cdot O_{mg}$ |
| K.86.10 | 4273830 | 691125 | 0.13 | $K_u^H \cdot O_{mg}$ |
| K.86.286 | 4274640 | 686911 | 0.1 | $K_u^H \cdot O_{mg}$ |
| K.86.303 | 4275235 | 688992 | 0.06 | $K_u^H \cdot O_{mg}$ |
| K.86.22 | 4272190 | 690915 | 0.04 | $K_u^H \cdot O_{mg}$ |

ناهنجاری‌های بدست آمده از مطالعات کانی سنگین، پوشش کانی‌های خانواده مس را بطور نسبی با

ناهنجاری‌های بدست آمده از کانی سازی سرب، روی و با پوششی کمتر با سینابر نشان میدهد. در نقشه شماره

۳۰ انتشار کانی‌های این عنصر به صورت منفرد ثبت شده است.

۳-۳-۳- کانیهای خانواده سرب

شاخص ترین کانیهای خانواده این عنصر در محدوده اکتشافی به ترتیب کانیهای گالن، سروزیت، سرب طبیعی و میمتیت، ماسیکوت، ولفینیت می باشند، ۱۴ نمونه حاوی اثراتی پراکنده و جزیی از کانیهای این عنصر می باشد(جدول گرم در تن کانیها؛ پیوست شماره ۵) با توجه به نتایج بدست آمده حدود ۹٪ از نمونه‌ها حاوی آثاری از زایش سرب در محدوده اکتشافی کلیر میباشند. مطالعات کانی‌های سنگین در چند سال گذشته به اهمیت زایش سرب بیش از پیش پس برده است. کانیهای این عنصر افزون بر معرفی کانسارهای تیپ پلی‌متال، ردیاب‌های بسیار شاخصی در جهت دستیابی به کانسارهای با ارزش طلا نیز میباشد. اثرات بر جای کانی‌سازی سرب در منطقه مشاهده نشده است اما اثراتی از دگرسانی در واحدهای مختلف موجود در منطقه مشاهده شده است(جدول ۳-۴)(نقشه ۲۹).

جدول ۳-۴- ناهنجاری‌های کانی‌های خانواده سرب در محدوده مطالعاتی کلیر

| ردیاب | ایستگاه نمونه برداری | | (mm) | نام |
|----------|----------------------|--------|------|---------------------------------------|
| | X | Y | | |
| K.86.210 | 4265460 | 685054 | 0.45 | $E_{an} \cdot K_u^H$ |
| K.86.341 | 4278420 | 689767 | 0.44 | K'_u |
| K.86.185 | 4267380 | 687571 | 0.26 | $E_{an} \cdot K_u^H$ |
| K.86.315 | 4275170 | 692508 | 0.19 | $\frac{K_u^H}{K_u^{ml} \cdot O_{mg}}$ |
| K.86.458 | 4280630 | 692214 | 0.17 | K'_u |
| K.86.11 | 4273710 | 690961 | 0.14 | $\frac{K_u^H}{K_u^{ml} \cdot O_{mg}}$ |
| K.86.451 | 4280816 | 690549 | 0.14 | K'_u |
| K.86.76 | 4274170 | 690323 | 0.14 | $\frac{K_u^H}{K_u^{ml} \cdot O_{mg}}$ |
| K.86.212 | 4266171 | 685353 | 0.12 | $E_{an} \cdot K_u^H$ |
| K.86.19 | 4273020 | 690698 | 0.11 | $\frac{K_u^H}{K_u^{ml} \cdot O_{mg}}$ |



ناهنجری‌های بدست آمده از مطالعات کانی سنگین، پوشش کانیهای خانواده سرب را بطور نسبی با ناهنجاری‌های بدست آمده از کانی‌سازی روی و با پوششی کمتر با سینابر و فلوریت و مس نشان میدهد. در نقشه شماره ۳۱ انتشار کانیهای این عنصر به صورت منفرد ثبت شده است.

۳-۴- کانیهای خانواده روی

شاخص‌ترین کانیهای خانواده این عنصر در محدوده اکتشافی به ترتیب کانیهای اسمیت زونیت و اسفالریت میباشند که ۶ نمونه حاوی اثراتی پراکنده و جزئی تا مقادیر گرم در تن از کانیهای این عنصر میباشد(جدول گرم در تن کانیها؛ پیوست شماره ۵) با توجه به نتایج بدست آمده حدود ۴٪ از نمونه‌ها حاوی آثاری از زایش روی در محدوده اکتشافی میباشند(جدول ۳-۵)(نقشه ۳۰).

جدول ۳-۵- ناهنجاری‌های کانی‌های خانواده روی در محدوده مطالعاتی کلیر

| ردیف شماره نمونه | ایستگاه نمونه برداری | | جهت (azimuth) | دistanse (کیلومتر) |
|------------------------|----------------------|--------|------------------|-------------------------|
| | X | Y | | |
| K.86.320 | 4277500 | 691477 | 0.43 | $O_{mg} \cdot K_u^{ll}$ |
| K.86.458 | 4280630 | 692214 | 0.22 | $O_{mg} \cdot K_u^{ll}$ |
| K.86.461 | 4279460 | 691895 | 0.22 | $K_u^{ll} \cdot O_{mg}$ |
| K.86.410 | 4279694 | 684637 | 0.18 | K_u^{ll} |
| K.86.462 | 4279290 | 692108 | 0.14 | $K_u^{ll} \cdot O_{mg}$ |
| K.86.319 | 4278120 | 691698 | 0.11 | $K_u^{ll} \cdot O_{mg}$ |



۳-۳-۵- سینابر

سينابر يکي از با ارزش‌ترین کانی‌های جیوه میباشد که در محدوده مورد مطالعه اين کانی داراي گسترش عياری بالا و با اهمیتی نیست به طوری که فقط دو نمونه به شماره **K.86.357** (0/28) با سنگ‌های بالادست میکروگرانیت، آپلیت و گرانودیوریت و **K.86.10** (0/16) با سنگ بالادستی شامل شیل‌های سیلیتی و ماسه‌ای و مارن و سنگ آهک مارنی نازک لایه کرم متمایل به زرد است (اين واحد بطرف شمال توسط توده گرانیتی شیورداغ قطع و بطور محدود اسکارنی شده است) حاوي اين کانی میباشند، ناهنجاريهاي اين کانی در بخش‌های مرکزي گسترش نشان می‌دهد(نقشه ۳۱).

۳-۳-۶- مولیبدنیت

مولیبدنیت يکي از با ارزش‌ترین کانی‌های مولیبدن میباشد که در محدوده مورد مطالعه اين کانی داراي گسترش عياری بالا نیست به طوری که فقط دو نمونه به شماره **K.86.300** (0/42) با سنگ‌های بالادست میکروگرانیت، آپلیت و گرانودیوریت و **K.86.10** (0/17) با سنگ بالادستی شامل شیل‌های سیلیتی و ماسه‌ای و مارن و سنگ آهک مارنی نازک لایه کرم متمایل به زرد است حاوي اين کانی میباشند، ناهنجاريهاي اين کانی در بخش‌های مرکزي گسترش نشان می‌دهد(نقشه ۳۲).

۳-۳-۷- شیلیت

شیلیت به عنوان با ارزش‌ترین کانی تنگستان در محدوده مورد مطالعه داراي گسترش عياری متنوع است به طوری که از حداقل ۰/۱ پبي‌ام در نمونه شماره **K.86.267** و حداقل ۰/۴ پبي‌ام در نمونه



شماره **K.86.72** تغییر میکند، با توجه به نتایج بدست آمده حدود ۲۰٪ از نمونه‌ها حاوی آثاری از زایش

تنگستن در محدوده اکتشافی کلیر میباشدند که مهمترین نمونه‌ها در جدول ذیل ارائه شده است (جدول

نقشه ۶-۳).

جدول ۶-۳- ناهنجاری‌های کانی‌های خانواده تنگستن در محدوده مطالعاتی کلیر

| شماره نمونه | ایستگاه نمونه برداشت | | دما (°C) | دما (°C) |
|-----------------|----------------------|---------------|-------------|--|
| | X | Y | | |
| K.86.267 | 4273010 | 686872 | 2.4 | O_{mg} E_{an} |
| K.86.384 | 4275030 | 685167 | 2.02 | $O_{mg} \cdot K_u^H$ |
| K.86.258 | 4272800 | 687512 | 1.28 | O_{mg} E_{an} |
| K.86.429 | 4277990 | 689202 | 1.2 | $K_u^H \cdot O_{mg}$ |
| K.86.339 | 4278510 | 690593 | 1.02 | $K_u^H \cdot O_{mg}$ |
| K.86.399 | 4278130 | 686853 | 1.02 | O_{mg} E_{an} |
| K.86.251 | 4271494 | 686262 | 0.96 | O_{mg} E_{an} |
| K.86.51 | 4268850 | 692237 | 0.96 | O_{mg} E_{an} |

۳-۳- باریت

کانی باریت در محدوده مورد مطالعه دارای گسترش عیاری متغیر بالاست ، به طوری از

حداکثر ۴۸/۷۵ پی‌پی‌ام در نمونه شماره **K.86.212** و حداقل ۰/۰۱ پی‌پی‌ام در نمونه شماره **K.86.374** تغییر

میکند که فقط دو نمونه به شماره **K.86.212** و سنگ‌های بالادست میکروگرانیت، آپلیت و گرانودیوریت

و ۰/۱۶ (K.86.10) با سنگ بالادستی شامل شیل‌های سیلیتی و ماسه‌ای و مارن و سنگ آهک مارنی نازک

لایه کرم متمایل به زرد است که بطرف شمال توسط توده گرانیتی شیورdag قطع و بطور محدود اسکارنی



شده است حاوی این کانی میباشدند، ناهنجاری‌های این کانی در بخش‌های مرکزی گسترش نشان

می‌دهد (جدول ۷-۳) (نقشه ۳۴).

جدول ۷-۳- ناهنجاری‌های کانی باریت در محدوده مطالعاتی کلیر

| شماره نمونه | ایستگاه نمونه برداری | | (mm) | ج |
|-------------|----------------------|--------|-------|----------------------|
| | X | Y | | |
| K.86.217 | 4267440 | 685888 | 48.75 | $E_{an} \cdot K_u^H$ |
| K.86.186 | 4267094 | 687539 | 37.44 | $E_{an} \cdot K_u^H$ |
| K.86.243 | 4270210 | 686512 | 32.76 | $E_{an} \cdot K_u^H$ |
| K.86.400 | 4278750 | 686824 | 28.08 | $K_u^H \cdot O_{mg}$ |
| K.86.210 | 4265460 | 685054 | 25.74 | $E_{an} \cdot K_u^H$ |
| K.86.222 | 4268136 | 685317 | 23.4 | $E_{an} \cdot K_u^H$ |
| K.86.185 | 4267380 | 687571 | 17.16 | $E_{an} \cdot K_u^H$ |
| K.86.205 | 4268560 | 686549 | 15.6 | $E_{an} \cdot K_u^H$ |
| K.86.211 | 4266010 | 685178 | 14.04 | $E_{an} \cdot K_u^H$ |
| K.86.242 | 4270540 | 686567 | 12.48 | $E_{an} \cdot K_u^H$ |
| K.86.339 | 4278510 | 690593 | 12.48 | $K_u^H \cdot O_{mg}$ |
| K.86.219 | 4267177 | 684984 | 11.7 | $E_{an} \cdot K_u^H$ |
| K.86.357 | 4276590 | 687994 | 10.92 | $K_u^H \cdot O_{mg}$ |



پی جویی به روش اکتشاف ژئوشیمیایی ۱:۲۵۰۰ در محدوده اکتشافی کلیر ۲



فصل چهارم

کنترل نا亨جاري



۴-۱-کترل ناهنجاری

به منظور پی بردن به ارزش ناهنجاری‌های به دست آمده در مطالعات ژئوشیمیایی و کانی سنگین، لازم است مرحله‌ای دیگر از مطالعات بر روی مناطق ناهنجار متمرکز شده و نمونه‌های سنگی و کانی سنگین بیشتری برداشت شود، در این مرحله که به مرحله کترل ناهنجاری معروف است تعداد ۳۰ نمونه سنگی و ۳۷ نمونه کانی سنگین برداشت شد.

تمامی نمونه‌های میزالیزه به روش ICP و برای ۵۴ عنصر آنالیز گردید. نتایج حاصل از آنالیزهای یاد شده به طور کامل در پیوست ۶ آمده است.

در این مرحله از کار اکتشافی(کترل ناهنجاری) می‌توان تطبیق ناهنجاری‌های اولیه استخراج شده از مراحل مطالعات ژئوشیمیایی و کانی سنگین را با نتایج مزبور بررسی نمود، اگرچه باید در نتیجه‌گیری نهایی تمامی اطلاعات بصورت موازی بررسی شده و بر مبنای آن تصمیم‌گیری صورت گیرد. براساس مطالعات نمونه‌های سنگی یاد شده(جدول ۴-۱) نتایج زیر برای عناصر مختلف حاصل شده است که برای مهمترین این عناصر نقشه تهیه شده است:

۴-۱-آرسنیک

آرسنیک از عناصر بسیار ارزشمند در اکتشافات ژئوشیمیایی و بویژه به عنوان یکی از ردیابهای مهم طلا و به خصوص طلای تیپ اپی‌ترمال نقش بسیار ویژه و ارزنده‌ای را ایفا می‌نماید. آرسنیک به طور عمده در نهشته‌های هیدروترمال به همراه کانیهایی که در رده کانیهای با حرارت درجه پایین قرار دارند، دیده می‌شود. آرسنیک در مقادیر کم در دیواره‌های کراترها و در حفرات و در منافذ گدازه‌ها همراه با سولفور

خالص و کلریت نیز یافت شده است. عنصر آرسنیک می‌تواند منشاء در کانیهایی همچون رآلگار، اورپیمان،

آرسنوبیریت و میمتیت (آرسنات سرب) داشته باشد. مقدار فراوانی این عنصر در پوسته زمین، خاک و

واحدهای سنگی گوناگون به قرار زیر می‌باشد (جدول ۱-۴).

جدول ۱-۴- پراکندگی عنصر آرسنیک در سنگ‌های مختلف

| خاک | آmek | شیل | گرانیت | گرانودیبوریت | بازالت | فوق بازیک | پوسته زمین |
|--------|------|-----|--------|--------------|--------|-----------|------------|
| Jan-50 | 2.5 | 15 | 1.5 | 2 | 2 | 1 | 1.8 |

مقدار این عنصر در نمونه‌های سنگی منطقه مورد مطالعه از <1 تا $697/35 \text{ ppm}$ متغیر اما در

نمونه‌های شماره Au-1 (ppm697/34) و Au-2 (ppm148/43) عیار این عنصر کاملاً غیرعادی می‌باشد. این

نمونه‌ها از ریولیت، ریوداسیت‌های صورتی تا کرم با بافت میکروکریستالین و آفانیتیک که زمینه سنگ شدیداً

به کانی‌های رسی تبدیل شده‌اند برداشت شده است (اشکال ۱-۴ و ۲-۴)، همانگونه که ملاحظه می‌شود،

نمونه‌های فوق برای عناصر مس، سرب، آنتیموان، قلع، اورانیوم و تنگستن نیز از خود ناهنجاری نشان

میدهند (جدول ۲-۴) (نقشه ۳۵).

جدول ۲-۴- پراکندگی عنصر آرسنیک در نمونه‌های سنگی برداشت شده از منطقه مورد مطالعه کلیر

| Field No | Ag | As | Ba | Bi | Cd | Co | Cr | Cu | Hg | Mn |
|----------|-------|--------|--------|-------|-------|-------|--------|---------|---------|-----|
| AU-1 | 0.18 | 697.34 | 272 | 12.59 | 1.52 | 3.13 | < 0.8 | 1172.72 | < 1 | 423 |
| AU-2 | < 0.1 | 148.43 | 109 | < 0.5 | < 0.1 | 6.54 | 11.85 | 40.59 | < 1 | 71 |
| Field No | Mo | Ni | Pb | Sb | Sn | U | W | Zn | Zr | |
| AU-1 | 31.48 | 5.99 | 303.36 | 15.04 | 48.65 | 83.97 | 194.04 | 121.76 | 1745.19 | |
| AU-2 | 5.87 | 27.79 | 25.87 | 5.61 | 3.39 | 3.88 | 5.83 | 80.78 | 82.99 | |



شکل ۴-۱- نمایی از نمونه شماره Au-1 در منطقه مورد مطالعه کلیر



شکل ۴-۲- نمایی از نمونه شماره Au-2 در منطقه مورد مطالعه کلیر



۴-۱-۲-کادمیم

مقدار این عنصر در نمونه‌های سنگی از $ppm2/27$ تا $0/01$ متغیر میباشد و نمیتوان عیار غیرعادی

در نتایج نمونه‌های سنگی ملاحظه نمود.

۴-۱-۳-کبات

این عنصر با میانگین $p.p.m\ 20$ در پوسته زمین و بیشتر در سنگهای الترامافیک و سپس در شیل‌های آرژیلی دیده می‌شود. در شرایط مختلف اسیدیته و اکسیداسیون و احیاء در خاکهای سطحی نیز تمرکز می‌یابد، و معمولاً در افقی تجمع می‌یابد که مواد آلی و رس‌ها در آن افزایش یافته‌اند. این عنصر در شرایط قلیایی نامحلول است و در شرایط اسیدی کاملاً متحرک و این دلیلی است به تجمع کبات در خاک‌های قلیایی. مقدار این عنصر در نمونه‌های سنگی منطقه مورد مطالعه از $1< ppm27/89$ تا $1< ppm17/81$ متغیر است و عیار غیرعادی در این نمونه‌ها مشاهده نشده است.

۴-۱-۴-کروم

مقدار این عنصر در نمونه‌های سنگی منطقه مورد مطالعه از $0/8< ppm17/81$ تا $0/08< ppm17/81$ متغیر است و عیار غیرعادی در این نمونه‌ها مشاهده نشده است.

۴-۱-۵-مس

اغلب ذخایر معدنی مس ایران چه از نظر تعداد و چه از نظر حجم کلی، مس شناخته شده مربوط به دوران ترشیر هستند. آنها در امتداد نوار ولکانیزم ارومیه - دختر، مناطق جنوب ایران مرکزی (انارک)، شمال ایران مرکزی و کوهپایه‌های جنوب البرز (منطقه عباس‌آباد، ترود) و شرق ایران قرار می‌گیرد. در این بین

نوار ولکانیزم ارومیه - دختر با تمایز زیاد از بقیه مناطق مس دار ایران، پراهمیت‌ترین نوار مس ترشییر ایران

است. روی این نوار نیز مناطق کرمان و اهر از سایر بخش‌های نوار مذکور دارای اهمیت بیشتری هستند.

دیگر مناطق مهم قرار گرفته بر روی نوار ارومیه - دختر مناطق طارم، هشتگین، قم، کاشان و نظرن می‌باشند.

ذخایر مس دوران ترشییر را از نظر نحوه تشکیل (ژنر) می‌توان به دو نوع تقسیم کرد:

(۱) نوع اول کانی‌سازی‌های مس در سنگ‌های گدازه‌ای و آذرآواری زیردریابی قرار گرفته‌اند. سنگ‌های

ولکانیکی میزبان در این نوع کانی‌سازی، اغلب آندزیت و آندزیت - بازالت می‌باشند. شکل توده‌های ماده

معدنی بطور عمده رگه‌ای است که رگه معمولاً دارای فصل مشترک یکباره با سنگ‌های میزبان است. کانیهای

اولیه مس در این نوع کانسارها به صورت کالکوزین، کوولیت، کوپریت، مس چکشی و کانیهای ثانویه به

صورت تظاهر ملاکیت و آزوریت بر سطح سنگ‌ها و پرکننده درزهای شکافها می‌باشند. عیار مس در این

نوع کانی‌سازی بالا بوده و به چندین درصد مس می‌رسد. در این مناطق دگرسانی گرمابی وجود نداشته یا

اینکه نادر است و اگر باشد ضعیف و محدود است. با توجه به محدود بودن ذخیره مس در کانسارهای

رگه‌ای نسبت به ذخایر پرفیری مس، امروزه این نوع کانسارها برای معدنکاری به شیوه مدرن جذاب نیستند.

(۲) نوع دوم کانی‌سازی وابسته به فعالیتهای گرمابی اوخر دوران ترشییر است. دگرسانی و کانی‌سازی

در این برهه زمانی همراه و معلوم فعالیت آتش‌نشانی خشکی‌زا (Sub Aerial) و ریشه‌های توده نفوذی کم

عمق آنها (Subvolcanic intrusive Roots) می‌باشد. این نوع کانی‌سازی باعث ایجاد دو نوع کانسار مس

پرفیری و اسکارنی و همچنین در مواردی نوع رگه‌ای شده که هر سه نوع به طور معمول همراه با دگرسانی

واسیع و شدید هستند. مقدار انتشار این عنصر در پوسته زمین، خاک و سایر رخسارهای سنگی دیگر به

قرار زیر می‌باشد (جدول ۴-۳):



جدول ۴-۳- پراکندگی عنصر مس در سنگ‌های مختلف

| خاک | آmek | شیل | گرانیت | گرانودیبوریت | بازالت | اولترامافیک | پوسته زمین |
|-------|------|-----|--------|--------------|--------|-------------|------------|
| 2-100 | 15 | 50 | 10 | 30 | 100 | 10 | 55 |

مقادیر فوق بر حسب ppm می باشد.

مقدار این عنصر در نمونه‌های سنگی از 3/61 ppm تا 1172/72 ppm متغیر است اما در نمونه‌های شماره

ppm973/6 R-K-AN-1.(ppm1172/72) Au-1 عیار این عنصر کاملاً غیرعادی و بالاتر از نمونه‌های

دیگر است، نمونه‌های فوق از مجموعه‌ای شامل تنابوی از سنگ‌های آتشفشاری با ترکیب آندزیت، تراکی

آنذیت همراه با توف‌های سنگی - بلورین برداشت شده‌اند (شکل ۴-۳)، همانگونه که ملاحظه می‌شود

نمونه‌های ذکر شده برای عناصر آرسنیک، مولیبدن، سرب، آنتیموان، قلع، اورانیوم و تنگستن نیز از خود

ناهنجاری نشان میدهند(جدول ۴-۴)(نقشه ۳۶).

جدول ۴-۴- پراکندگی عنصر مس در نمونه‌های سنگی برداشت شده از منطقه مورد مطالعه کلیر

| Field No | Ag | As | Ba | Bi | Cd | Co | Cr | Cu | Hg | Mn |
|----------|--------|--------|--------|-------|-------|-------|--------|---------|---------|-----|
| AU-1 | 0.18 | 697.34 | 272 | 12.59 | 1.52 | 3.13 | < 0.8 | 1172.72 | < 1 | 423 |
| R-K-AN-1 | < 0.1 | 5.84 | 1069 | < 0.5 | < 0.1 | 6.49 | 60.49 | 973.60 | < 1 | 198 |
| Field No | Mo | Ni | Pb | Sb | Sn | U | W | Zn | Zr | |
| AU-1 | 31.48 | 5.99 | 303.36 | 15.04 | 48.65 | 83.97 | 194.04 | 121.76 | 1745.19 | |
| R-K-AN-1 | 137.42 | 2.89 | 11.89 | 3.23 | 0.87 | 1.02 | 3.57 | 29.73 | < 1 | |



شکل ۴-۳- نمایی از نمونه شماره R-K-AN-1 در منطقه مورد مطالعه کلیر

۴-۱-۶- منگنز

مقدار این عنصر در نمونه‌های سنگی از ۱۹ تا ۲۶۱۹ ppm متغیر است اما در نمونه‌های شماره

عیار این عنصر بالاتر از نمونه‌های دیگر بوده و

غیرعادی است (جدول ۴-۵) (نقشه ۳۷) (شکل ۴-۴).

جدول ۴-۵- پراکندگی عنصر منگنز در نمونه‌های سنگی برداشت شده از منطقه مورد مطالعه کلیر

| Field No | Ag | As | Ba | Bi | Cd | Co | Cr | Cu | Hg | Mn |
|-----------|-------|-------|--------|-------|-------|--------|--------|--------|---------|------|
| R-K-AN-32 | < 0.1 | 10.15 | 359 | < 0.5 | < 0.1 | 2.73 | < 0.8 | 17.14 | < 1 | 2619 |
| R-K-AN-2 | < 0.1 | 4.18 | 24 | 19.90 | 2.27 | 27.66 | 17.81 | 62.15 | < 1 | 2484 |
| Field No | Mo | Ni | Pb | Sb | Sn | U | W | Zn | Zr | |
| R-K-AN-32 | 3.49 | 10.01 | 21.85 | 7.87 | 2.11 | 2.09 | 2.35 | 96.36 | 677.85 | |
| R-K-AN-2 | < 0.5 | 13.06 | 453.98 | 3.29 | 69.65 | 133.33 | 270.05 | 588.95 | 2327.72 | |



شکل ۴-۴- نمایی از نمونه شماره R-K-AN-32 در منطقه مورد مطالعه کلیر

۴-۷- مولیبدن

مولیبدنیم از عناصری است که از دیدگاه ژئوشیمیایی بطور غالب همراه با مagmaهای اسیدی آلکالن می‌باشد. نهشته‌های مولیبدن با مagmaهای گرانیتی در ارتباط بوده و حضور آنها در یک محدوده اکتشافی می‌تواند معرف یک کانسار پرفیری مس باشد. مهمترین کانی کانستگ‌های مولیبدن‌دار، مولیبدنیت بوده که در مواردی کمتر کانی مولیدوشتئیت (Powlite) مشاهده شده است. از انواع نهشته‌های ارزشمند مولیبدن می‌توان به کانسارهای تیپ اسکارن شامل اسکارن‌های شئیلت - مولیبدنیت و اسکارن‌های کالکوپیریت - منیتیت - مولیبدنیت اشاره کرد. کانسارهای گرایزن، کانسارهای پلوتوژنیک هیدروترمال، که خود به نهشته‌های کوارتز - مولیبدنیت و نهشته‌های کوارتز - مولیبدنیت - سریسیت و کوارتز - مولیبدنیت - کالکوپیریت - سریسیت تقسیم می‌شوند و کانسارهای ولکانوژنیک هیدروترمال.



مقدار این عنصر در نمونه‌های سنگی از $0/5$ ppm تا $137/42$ ppm متغیر است اما در نمونه شماره

(ppm2484) R-K-AN-1 عیار این عنصر بالاتر از نمونه‌های دیگر بوده و غیرعادی است، این نمونه‌ها از

ریولیت، ریوداسیت‌های صورتی تا کرم با بافت میکروکریستالین و آفانیتیک که زمینه سنگ شدیداً به

کانی‌های رسی تبدیل شده‌اند برداشت شده است، همانگونه که ملاحظه می‌شود نمونه‌های ناهنجار مولیبدن

برای عنصر مس نیز از خود ناهنجاری نشان میدهد(جدول ۶-۴)(نقشه ۳۸).

جدول ۶-۴-پراکندگی عنصر مولیبден در نمونه‌های سنگی برداشت شده از منطقه مورد مطالعه کلیبر

| Field No | Ag | As | Ba | Bi | Cd | Co | Cr | Cu | Hg | Mn |
|----------|--------|------|-------|-------|-------|------|-------|--------|-----|-----|
| R-K-AN-1 | < 0.1 | 5.84 | 1069 | < 0.5 | < 0.1 | 6.49 | 60.49 | 973.60 | < 1 | 198 |
| Field No | Mo | Ni | Pb | Sb | Sn | U | W | Zn | Zr | |
| R-K-AN-1 | 137.42 | 2.89 | 11.89 | 3.23 | 0.87 | 1.02 | 3.57 | 29.73 | < 1 | |

۴-۱-۸- نیکل

این عنصر با میانگین 75 ppm در پوسته زمین و بیشتر در سنگ‌های الترامافیک و سپس در

شیل‌های سیاه دیده می‌شود ، و به چند صورت وجود دارد و تنها نیکل دو ظرفیتی پایدار است و در شرایط

مختلف اسیدیته و اکسیداسیون و احیاء در خاکهای سطحی دیده می‌شود. مقدار این عنصر در نمونه‌های

سنگی از 2 تا $28/79$ ppm متغیر است و عیار غیرعادی در این نمونه‌ها مشاهده نشده است .

۴-۱-۹- سرب

فراوانترین عنصر سنگین در پوسته زمین است که به لحاظ ژئوشیمیایی بیشترین تمرکز این عنصر در

سنگ‌های آذرین و بویژه در گرانیت‌ها است. بیشترین فراوانی سرب در سنگ‌های رسوبی و در رخساره‌های

شیلی است. سرب در محدوده پیکره‌های نیمه عمیق پرفیری بصورت انتشار شعاعی نسبت به توده پرفیری

قرار گرفته و در رگه‌های پلی متال به همراه مس، روی، طلا، نقره، باریم و آهن (پیریت) و به احتمال در

یک گانگ سیلیسی تظاهر نشان میدهد. کانسارهای سرب در طبیعت در حالت‌های زیر شناسایی شده‌اند:

۱- کانسارهای اسکارنی ۲- کانسارهای هیدروترمال پلوتونی

۳- کانسارهای ولکانوسدیمیت ۴- مسیوسولفیدها

۵- کانسارهای استراتی فرم ۶- کانسارهای دگرگونی

مقدار این عنصر در نمونه‌های سنگی از ۷/۷۷ ppm تا ۹۸/۴۵۳ ppm متغیر است اما در نمونه شماره‌های

(ppm303/36) Au-2, (ppm411/90) R-K-AN-22, (ppm453/98) R-K-AN-2 عیار این عنصر بالاتر از

نمونه‌های دیگر بوده و غیرعادی است، نمونه‌های ناهنجار فوق برای عناصر مس، منگنز، آنتیموان، اورانیوم،

قلع، روی و زیرکونیوم نیز از خود ناهنجاری نشان میدهند (جدول ۷-۴) (نقشه ۳۹) (اشکال ۴، ۵-۵).

جدول ۷-۴- پراکندگی عنصر سرب در نمونه‌های سنگی برداشت شده از منطقه مورد مطالعه کلیر

| Field No | Ag | As | Ba | Bi | Cd | Co | Cr | Cu | Hg | Mn |
|-----------|-------|--------|--------|-------|-------|--------|--------|---------|---------|------|
| R-K-AN-2 | < 0.1 | 4.18 | 24 | 19.90 | 2.27 | 27.66 | 17.81 | 62.15 | < 1 | 2484 |
| R-K-AN-22 | < 0.1 | 10.68 | 423 | < 0.5 | < 0.1 | 27.89 | < 0.8 | 13.86 | < 1 | 503 |
| AU-1 | 0.18 | 697.34 | 272 | 12.59 | 1.52 | 3.13 | < 0.8 | 1172.72 | < 1 | 423 |
| Field No | Mo | Ni | Pb | Sb | Sn | U | W | Zn | Zr | |
| R-K-AN-2 | < 0.5 | 13.06 | 453.98 | 3.29 | 69.65 | 133.33 | 270.05 | 588.95 | 2327.72 | |
| R-K-AN-22 | 1.46 | 4.60 | 411.90 | 3.67 | 1.83 | 2.20 | 7.19 | 175.79 | 649.15 | |
| AU-1 | 31.48 | 5.99 | 303.36 | 15.04 | 48.65 | 83.97 | 194.04 | 121.76 | 1745.19 | |



شکل ۴-۵- نمایی از نمونه شماره R-K-AN-22 در منطقه مورد مطالعه کلیر



شکل ۴-۶- نمایی از نمونه شماره R-K-AN-2 در منطقه مورد مطالعه کلیر

۴-۱۰-۱- روی

یکی از پر تحرک ترین عناصر در اکتشافات ژئوشیمی عنصر روی می باشد. بطوریکه در مطالعات صحرایی دو دهه اخیر و به روش ایجاد آزمایشگاههای صحرایی عنصر روی بوسیله روش T.H.M (یکی از روشهای مرسوم کالریمتری) اندازهگیری شده و مناطق پرپتانسیل از مناطق عقیم جداسازی و در نهایت در نواحی آnomالیهای روی اقدام به نمونهگیری استاندارد می نمودند. کانسارهای روی بطور عمده مشارکتی مستقیم را با انباستگی هایی از سرب نشان می دهد.

مقدار این عنصر در نمونه های سنگی از ۱۰/۵۷ تا ۵۸۸/۹۵ ppm متغیر است اما در نمونه های شماره (ppm206/02) R-K-AN-23.(ppm588/95) R-K-AN-22 عیار این عنصر بالاتر از نمونه های دیگر بوده و غیرعادی است (جدول ۴-۸) (نقشه ۴۰).

جدول ۴-۸- پراکندگی عنصر سرب در نمونه های سنگی برداشت شده از منطقه مورد مطالعه کلیر

| Field No | Ag | As | Ba | Bi | Cd | Co | Cr | Cu | Hg | Mn |
|-----------|-------|-------|--------|-------|-------|--------|--------|--------|---------|------|
| R-K-AN-2 | < 0.1 | 4.18 | 24 | 19.90 | 2.27 | 27.66 | 17.81 | 62.15 | < 1 | 2484 |
| R-K-AN-23 | < 0.1 | 6.12 | 1125 | 0.59 | 0.10 | 15.03 | 11.73 | 24.48 | < 1 | 1365 |
| Field No | Mo | Ni | Pb | Sb | Sn | U | W | Zn | Zr | |
| R-K-AN-2 | < 0.5 | 13.06 | 453.98 | 3.29 | 69.65 | 133.33 | 270.05 | 588.95 | 2327.72 | |
| R-K-AN-23 | 1.11 | 7.66 | 84.33 | 3.54 | 3.88 | 4.38 | 6.05 | 206.02 | 712.91 | |

۴-۱۱-۱- زیرکونیم

زیرکن یکی از کانی های فرعی در سنگ های آذرین و بویژه سنگ های نفوذی غنی از سدیم است (مقدار زیرکن در سنگ های اوالترمافیک در حدود ۳۰ ppm در سنگ های بازیک در حدود ۱۰۰ ppm در سنگ های اسیدی در حدود ۲۰۰ ppm و در سنگ های نفلین سینیت در حدود ۶۸۰ ppm میباشد . بنابراین



در سنگ‌های تحت اشباع دارای بیشترین مقدار و در سنگ‌های اولترامافیک کمترین مقدار را دارا می‌باشد) و

تصورت بلورهای کوچک و پراکنده در سنگ‌های نفوذی ماگماهی نظیر نفلین سینیت، گرانیت، دیوریت و

گنایس رخ میدهد ولی غالباً اوقات به صورت بلورهای درشت در پگماتیت‌های گرانیتی و سینیتی مشاهده

می‌شود.

زیرکن یکی از اولین کانی‌هایی است که در فرایندهای تفریق انتهایی از ماگما متبلور می‌شود و غالباً

با آپاتیت، فلوریت و میکا همراه است. بررسی اشکال زیرکن نشان میدهد که انواع زیرکن‌های مدور در

سنگ‌های آذرین دیده می‌شود در حالیکه در فرایندهای دگرگونی زیرکن با یک ویژگی تحلیل رفتگی در

حاشیه دیده می‌شود.

ذخایر اصلی زیرکن به صورت پلاسربی است با اینحال در رگه‌های گرانیتوئیدی و دایکهای

پگماتیتی نیز مقادیر قابل ملاحظه‌ای از این عنصر دیده می‌شود.

مقدار این عنصر در نمونه‌های سنگی از 10/57 تا 588/95 ppm متغیر است اما در نمونه‌های شماره

(ppm206/02) R-K-AN-23.(ppm588/95) R-K-AN-22 عیار این عنصر بالاتر از نمونه‌های دیگر بوده

و غیرعادی است، همانگونه که ملاحظه می‌شود نمونه‌های ناهنجار فوق برای منگنز، سرب، روی، مولیبدن و

کروم نیز از خود ناهنجاری نشان میدهند(جدول ۴-۹)(نقشه ۴۱).



جدول ۴-۹- پراکندگی عنصر سرب در نمونه های سنگی برداشت شده از منطقه مورد مطالعه کلیبر

| Field No | Ag | As | Ba | Bi | Cd | Co | Cr | Cu | Hg | Mn |
|----------|-------|-------|--------|-------|-------|--------|--------|--------|---------|------|
| R-K-AN-2 | < 0.1 | 4.18 | 24 | 19.90 | 2.27 | 27.66 | 17.81 | 62.15 | < 1 | 2484 |
| | | | | | | | | | | |
| Field No | Mo | Ni | Pb | Sb | Sn | U | W | Zn | Zr | |
| R-K-AN-2 | < 0.5 | 13.06 | 453.98 | 3.29 | 69.65 | 133.33 | 270.05 | 588.95 | 2327.72 | |

در منطقه مورد مطالعه به طور قطع و یقین زونهای کائولینیتی - سیلیسی همراه با اکسید آهن و قرمز

رنگ به خصوص در اطراف روستای کلیبر که مربوط به تاثیر فعالیتهای انتهایی توده های نفوذی گرانیتی تا

سینو گرانیتی موجود در منطقه باعث شده است که مقادیر عناصر فوق در این زونها افزایش نشان دهد.

۴-۲- نتایج مطالعات کانی سنگین

بعد از مشخص شدن مناطق ناهنجار، تعدادی نمونه کانی سنگین نیز برداشت و پس از آماده سازی

مورد مطالعه قرار گرفت. نتایج مطالعات بر روی نمونه های کانی سنگین برداشت شده از منطقه کلیبر (تعداد

۳۷ نمونه با مختصات ارائه شده در ذیل)، عقیم بودن منطقه را از نظر نمونه های با ارزش کانی سنگین نشان

میدهد (پیوست ۷)، بر پایه این مطالعات، کانی باریت شاخص ترین کانی در بخش غیر مغناطیسی نمونه کانی

سنگین میباشد، از دیگر کانی های کانسارساز می توان کانی شیلیت با انتشاری کم را نام برد.

۴-۱- کانی های سرب



کانی‌های این خانواده شامل گالن تنها در یک نمونه به شماره، R-K-AN-27 (ppm0/78) است که

دارای مقدار قابل توجهی نیست(نقشه ۴۲).

۴-۲-۲-کانی‌های مس

کانی‌های این خانواده در منطقه شامل مالاکیت، کالکوپیریت و بورنیت به مقدار بسیار ناچیز در سه

(ppm1/78) R-K-AN-21 (ppm3/2) R-K-AN-2.(ppm5/82) R-K-AN-1 نمونه به شماره‌های

میباشد(نقشه ۴۳).

۴-۲-۳-کانی باریت

کانی‌های باریت در منطقه در ۱۶ نمونه دیده میشود که مهمترین آنها در بخش جنوب باختری منطقه

دیده میشود و توسط مقدار ناچیزی از کانی‌های خانواده سرب ، روی و مس همراهی میشود(نقشه ۴۴).

۴-۲-۴-کانی طلا

کانی‌های طلا در منطقه تنها در ۱ نمونه به شماره R-K-AN-28 (ppm0/07) دیده میشود(نقشه ۴۵).

۴-۲-۵-سینابر

کانی‌های سینابر در منطقه در هیچ نمونه‌ای مشاهده نشد.



۴-۲-۶- شیلیت

کانی شیلیت به مقدار بسیار ناچیز در سه نمونه به شماره‌های 28- R-K-AN- 28 (ppm4/79) میباشد و توسط مقدار ناچیزی از کانی‌های خانواده

(ppm1/2) R-K-AN-2 (ppm1/42) R-K-AN-1

طلا و مس همراهی میشود(نقشه ۶).

۴-۳- دگرسانی

با توجه به نتایج حاصل از آزمایش XRD انجام شده بر روی تعداد ۷ نمونه برداشت شده از

مهمترین دگرسانی موجود در منطقه نشان میدهد که مهمترین کانی موجود در این دگرسانی به ترتیب

مونتموریلونیت، کوارتز، فلدسپار، ژاروسیت، کائولینیت و ندرتاً پیریت میباشد.

کانی شناسی فوق به دگرسانی حد واسط مربوط میشود که از تبدیل پلاژیوکلاز به کانی‌های رسی

در سنگهای آذرین اسیدی حاصل شده است و در طی واکنش‌های حاصل کننده آن مقدار سدیم، کلسیم و

منیزیم کاهش و سیلیکا و آب به آن اضافه میشود.



و سعت این دگرسانی در حدود ۲۰۰ متر مربع میباشد که در اطراف روستای چوپانلار قرار گرفته

است و نمونه‌های سنگی برداشت شده از آن برای بیشتر عناصر از خود ناهنجاری نشان داده است که قبلاً

تشریح شده است (اشکال ۴-۴ الی ۶-۴).



شکل ۴-۷- نمایی کلی از دگرسانی حدواسط موجود در اطراف روستای چوپانلار



شکل ۴-۸- نمایی کلی از دگرسانی حدواسط موجود در اطراف روستای چوپانلار



علاوه بر دگرسانی فوق میتوان آثاری از دگرسانی‌ها سیلیسی را در مسیر جاده خاکی سالامبر به دکل تلوزیونی با وسعتی در حدود ۱۰۰۰ متر مربع نیز مشاهده نمود که ارتباط بسیار نزدیکی با شکستگی‌های موجود در منطقه نشان میدهد و کمتر ناهنجاری در آن ملاحظه شده است.

جدول ۱۰-۴- نتایج XRD نمونه‌های برداشت شده از دگرسانی‌های موجود در منطقه مورد مطالعه کلیر

| | <i>Result</i> |
|------------------|--|
| R-K-AN-1 | Quartz+Feldspar+Clay MINERAL+pyrite |
| R-K-AN-2 | Quartz+Montmorillonite+Jarosite+pyrite+Kaolinite |
| AU1-1 | pyrite+Gypsum+Montmorillonite+ Quartz+Feldspar+Jarosite+Gypsum |
| AU1-2 | Quartz+Montmorillonite+Feldspar+Jarosite+Gypsum+Pyrite |
| AU2-1 | Quartz+Feldspar+Clay Mineral |
| AU-2-2 | Quartz+ Feldspar+Montmorillonite+Jarosite+Gypsum+Kaolinite |
| R-K-AN-22 | Quartz+ Feldspar+Montmorillonite+ Kaolinite+gypsum |

۴-۴- نتایج حاصل از مطالعات میکروسکوپی

شماره نمونه : **R-K-AN-22**

بافت: رگه - رگچه‌ای و کمتر دانه پراکنده

معمولترین کانی‌سازی در این مقطع شامل کانی‌زایی مس بوده که عمدتاً در اشکال دانه پراکنده یا

اشکال کانه‌ای ریزدانه دیده میشود به طوری که:

۱- کالکوپیریت که در اشکال نیمه خود شکل در اندازه‌های تا ۴۰ میکرون دیده میشود. دگرسانی

سبب شده است تا در زمینه کانه بصورت نامنظم و انتخابی بورنیت جانشین شود. این جانشینی

در بعضی کانه‌ها بسیار زیاد و در بعضی کانه‌ها فقط در حواشی کالکوپیریت اتفاق افتاده است،



گاه در حاشیه بعضی از بلورهای بورنیت، کالکوسیت بصورت نامنظم جانشین شده است، مقدار

کالکوسیت در مقطع حدوداً ۱۰ درصد برآورد می‌گردد.

۲- پیریت در اشکال خودشکل تا نیمه‌شکل دار به صورت کانه همراه با کالکوپیریت است. اندازه

بلورها تا ۴۰ میکرون میرسد و بطور ثانوی در حواشی اکسید آهن جانشین شده است.

۳- آلدگی‌های مالاکیت و اکسید آهن بصورت واضح در رگه - رگچه‌ها دیده می‌شود.

R-K-AN-I : شماره نمونه :

بافت : رگه - رگچه‌ای

در رگه - رگچه مагنتیت و هماتیت جانشین شده که در یک فرآیند بعدی اکسید آهن و مالاکیت

پرکردگی دارد، و کالکوپیریت که در اشکال نیمه خود شکل در اندازه‌های تا ۳۰ میکرون دیده

می‌شود. دگرسانی سبب شده است تا در زمینه کانه بصورت نامنظم و انتخابی توسط مالاکیت و

آزوریت جانشین شود. این جانشینی در بعضی کانه‌ها بسیار زیاد و در بعضی کانه‌ها فقط در

حواشی کانه اتفاق افتاده است،

دانه‌های ماغنتیت در اشکال نیمه شکل دار و در اندازه‌های تا ۲۰ میکرون دیده می‌شود. گاه

جانشینی هماتیت در حواشی ماغنتیت مشهود است کانی‌سازی اصلی مس در این مقطع بیشتر

مربوط به آلدگی مالاکیت است.



شماره نمونه : R-K-AN-32

- بافت: رگه - رگچه‌ای و کمتر دانه پراکنده

معمولترین کانی‌سازی در این مقطع بیشتر در رگه - رگچه‌ها اتفاق افتاده است و بصورت قبلی

کمتر در اشکال دانه پراکنده یا اشکال کانه‌ای ریز دانه دیده می‌شود. بیشترین کانی در مقطع مربوط

است به:

۱- کالکوپیریت که به صورت نیمه شکل‌دار دیده می‌شود که دگرسانی سبب شده است تا در زمینه

کانه بصورت نامنظم و انتخابی توسط مالاکیت، آزوریت و به مقدار کمتر بورنیت جانشین شده

است.

۲- پیریت در اشکال خودشکل تا نیمه شکل‌دار به صورت کانه همراه با کالکوپیریت که بطور

ثانوی در حواشی توسط اکسید آهن جانشین شده است.

۳- آلودگی‌های مالاکیت و اکسید آهن بصورت واضح در رگه - رگچه‌ها دیده می‌شود.



بی جویی به روش اکتشاف ژئوشیمیایی ۱:۲۵۰۰ در محدوده اکتشافی کلیر ۲



فصل پنجم

نتیجه گیری و پیشنهادات



۱-۵- نتیجه گیری

بررسی های اکتشافی انجام شده در محدوده مورد مطالعه کلیر منجر به دستیابی به نتایجی شده

که چکیده هر یک از این دستاوردها به قرار زیر است :

الف- در مرحله اول در محدوده مورد مطالعه کلیر تعداد ۷۱ نمونه ژئوشیمیایی و ۱۴۰ نمونه

کانی سنگین برداشت شد که بر پایه نتایج بدست آمده از نمونه های ژئوشیمی، تعداد ۲۳ عنصر مورد داده

پردازی قرار گرفته و نقشه های ناهنجاری برای ۱۸ عنصر با اهمیت آن بطور جداگانه ترسیم شده است.

همچنین تعداد ۷ نقشه تحت عنوان نقشه های عاملی در این گزارش ارائه شده است.

ب- نتایج بدست آمده از مطالعات ژئوشیمیایی، ناهنجاری های با اهمیتی از طلا، مس، تنگستن،

قلع و سرب قابل معرفی است.

ج- نتایج بدست آمده از روش مطالعاتی کانی سنگین همپوشانی قابل قبولی را با نتایج بدست

آمده از آنالیزهای دستگاهی نمونه های ژئوشیمی نشان نمی دهد.

د- نتایج بدست آمده از مطالعات کانی سنگین، کانی های کانسارسازی همچون کانی های خانواده

باریت و شیلیت و به مقدار کمتر کانی های خانواده مس، سرب و روی را به مقدار ناچیز شناسایی و بر

روی نقشه انتشار کانی های سنگین معرفی نموده است.

و- بر پایه ناهنجاری های بدست آمده از نمونه های ژئوشیمی و کانی سنگین ۳ محدوده تحت

عنوان مناطق امیدبخش معدنی شناسایی و معرفی شده است. لازم به ذکر است این محدوده ها دارای

اهمیت نسبی هستند و معرفی آنها با توجه به مرحله اکتشافات مقدماتی و مشاهدات صحرایی صورت

پذیرفته است.



از میان محدوده‌های ناهنجاری فوق محدوده شماره ۱ (محدوده چوپانلار) در اولویت اول

اکتشافی قرار داشته و دارای ناهنجاری طلا، مس، سرب و روی بوده که با توجه به موقعیت زمین‌شناسی و قرارگیری در تماس بین توده گرانیتی شیورداغ و نهشته‌های کربناه - آواری کرتاسه، وجود کانی‌سازی مس و طلای اسکارن و نیز کانی‌سازی پلی‌متال - طلای رگه‌ای (در سنگ‌های آتشفسانی و آواری - آتشفسانی دگرسان شده ائوسن) در این محدوده محتمل است. این محدوده به گسترش ۱۷/۵۶ کیلومتر مربع در بخش‌های میانی برگه مورد بررسی قرار دارد.

محدوده شماره ۲ در حاشیه شمال خاوری برگه به گسترش ۴/۱۹ کیلومتر مربع دارای ناهنجاری طلا، سرب و روی بوده که با توجه به موقعیت زمین‌شناسی و قرارگیری توده در محل تماس بین توده گرانیتی شیورداغ با سنگ آهک کرتاسه، وجود کانی‌سازی اسکارن سرب و روی همراه با طلا در آن محتمل است.

محدوده شماره ۳ به گسترش ۱۰/۳۵ کیلومتر مربع در گوشه جنوب باختری برگه قرار داشته و دارای ناهنجاری طلا و مس و سرب می‌باشد که با توجه به موقعیت زمین‌شناسی و قرارگیری در مجموعه سنگ‌های داسیت - ایگنمبریتی دگرسان شده ائوسن، وجود کانی‌سازی پلی‌متال - طلای رگه‌ای در این محدوده بسیار محتمل است.

ز- در مرحله کنترل ناهنجاری تعداد ۳۰ نمونه لیتوژئوشیمیایی و ۳۷ نمونه کانی سنگین برداشت شد.
ح- با توجه به نتایج حاصل از آزمایش XRD انجام شده بر روی تعداد ۷ نمونه برداشت شده از مهمترین دگرسانی موجود در منطقه موید یک دگرسانی آرژیلی حدواتسط است.



ط- با توجه به مجموعه نتایج بدست آمده بنظر می‌رسد محدوده مورد مطالعه کلیر ۲ از استعداد

قابل توجهی به منظور اکتشافات تفصیلی آتی و دسترسی به منابعی از عناصر مس، طلا، تنگستن و قلع برخوردار باشد. کانی‌سازی مس و طلا هم به صورت اسکارن در تماس توده گرانیتی شیورdag با سنگ آهک کرتاسه (مشابه معادن مس مزرعه و انجرد) و هم به صورت رگه‌ای (پلی‌متال - طلا) در سنگ‌های آتشفسانی دگرسان شده انسن قابل پی‌جویی است.

ی- احتمالاً کانی‌زایی قلع و تنگستن موجود در منطقه را می‌توان به کانی‌زایی‌های نوع اسکارن در واحدهای آهکی کرتاسه که در مجاورت واحدهای نفوذی گرانیتی شیورdag قرار گرفته‌اند، نسبت داد.

۲-۵- پیشنهادات

بطور کلی با توجه به جمع‌بندی نتایج بدست آمده از مراحل اکتشافات نیمه‌تفصیلی و کترل صحراپی ناهنجاری‌ها، مناطق امیدبخش زیر معرفی شده است، که نیاز به بررسی و کترول دقیق‌تری داشته، و لازم است پی‌جوئی‌های چکشی دقیق و سیستماتیک و نمونه‌برداری‌های ژئوشیمیایی متراکم‌تر در آن انجام شود، تا با ارزیابی این محدوده بتوان به نتایج مطلوب‌تر دست پیدا کرد به این منظور محدوده‌های مشروح در زیر به ترتیب اولویت برای انجام مطالعات اکتشافی دقیق‌تر معرفی می‌گردد:

محدوده شماره ۱ به مختصات زیر و به مساحت ۲۵ کیلومترمربع برای عناصر مس، طلا، تنگستن و قلع در کانی‌سازی نوع اسکارن و رگه‌ای معرفی شده است (نقشه ۴۷).

| | X | Y |
|---|--------|---------|
| A | 687324 | 4277000 |
| B | 689910 | 4278521 |
| C | 692494 | 4275207 |
| D | 690773 | 4270759 |
| E | 688839 | 4270626 |



پی جویی به روش اکتشاف ژئوشیمیایی ۱:۲۵۰۰۰ در محدوده اکتشافی کلیر ۲



محدوده شماره ۲ به مختصات زیر و به مساحت ۴/۱۹ کیلومترمربع برای طلای نوع اسکارن و

پلاسربی معرفی می‌گردد.

| | X | Y |
|---|--------|---------|
| F | 689741 | 4280936 |
| G | 692336 | 4280916 |
| H | 692440 | 4278761 |
| I | 689793 | 4279859 |

محدوده شماره ۳ به مساحت ۱۰/۱۳۵ کیلومترمربع و به مختصات زیر برای عناصر مس و طلا

در کانی‌سازی نوع اسکارن معرفی می‌گردد.

| | X | Y |
|---|--------|---------|
| J | 684905 | 4268197 |
| K | 686435 | 4269806 |
| L | 688703 | 4265434 |
| M | 684995 | 4265399 |

لذا پیشنهاد می‌شود در محدوده‌های فوق به ترتیب اولویت عملیات اکتشافی به شرح زیر انجام شود:

۱. تهیه نقشه زمین‌شناسی – توپوگرافی در مقیاس ۱:۵۰۰۰.

۲. حفر تراشه و چاهک همراه با برداشت‌های زمین‌شناسی و نمونه‌گیری.

۳. مطالعات ژئوشیمیایی در مقیاس ۱:۵۰۰۰ و نمونه‌گیری از رخنمون سنگی و پوشش خاک در شبکه

100×100 متری.

۴. آنالیز نمونه‌های ژئوشیمیایی و حفریات اکتشافی در رخنمون‌های کانه برای تعیین میزان مس، سرب،

روی، طلا، قلع و تنگستن و عناصر پاراژنز.



پی جویی به روش اکتشاف ژئوشیمیایی ۱:۲۵۰۰۰ در محدوده اکتشافی کلیر ۲



۵. مطالعات پتروگرافی، کانی سنگین، کانه نگاری و کانی شناسی پرتو مجھول.
۶. پردازش داده های ژئوشیمیایی و کانی سنگین و تهیه نقشه ناهنجاری ها.
۷. تلفیق داده های ژئوشیمیایی زمین شناسی اقتصادی و معرفی مناطق کانی سازی و ارزیابی ذخیره ممکن و عیار سطحی.
۸. تعبیر و تفسیر کلیه نتایج و ارائه گزارش نهایی همراه با پیشنهادات.